



Masena spektrometrija- savremeni trendovi

Doktorske studije-
Nove fizičkohemijске metode

Maj 2017

Ivanka Holclajtner-Antunović

Uvod

Jonski izvor:

- MALDI i SALDI
- SIMS-Masena spektrometrija sa sekundarnim jonima

Analizatori:

- Jonski trap-kvistor
- Orbitrap
- Jon ciklotron rezonancija - ICR i FT ICR

Tandem masena spektrometrija

Primena

Istraživač	Doprinos	Nobelova nagrada
Thomson	 1897 otkriće elektrona i 1912 prvi maseni spektar	1906 Fizika
Dempster	 1918 jinizacija elektronima i fokusiranje magnetom	
Aston	 1919 određivanje atomske mase i izotopskog sastava pomoću MS	1922 Hemija
Stephens	 1946 TOF (Time-of-flight) MS	
Hipple, Sommer, i Thomas	 1949 Jon-ciklotron rezonanca (ICR)	
Johnson i Nier	 1953 Dvostruko fokusirajući MS	
Paul and Steinwedel	 1953 Quadrupolni analizatori	1989 Fizika
Beynon	 1956 MS visoke rezolucije	

Istrživač	Doprinos	Nobelova nagrada
Munson i Field	1966 Hemijska ionizacija	
Dole	1968 Elektrosprej (ESI)	
Beckey	1969 Desorpcija poljem (FDI)	
MacFarlane i Torgerson	1974 Plazma desorpcija (PDI)	
Comisarow i Marshall	1974 FT-ICR MS	
Yost i Enke	1978 Triple quadrupole MS	
Barber	1981 Bombardovanje brzim atomima (FAB)	
Tanaka, Karas, i Hillenkamp	1983 Desorpcija laserom iz matrice (MALDI)	2002 Hemija
Fenn	1984 ESI za biomolekule	2002 Hemija

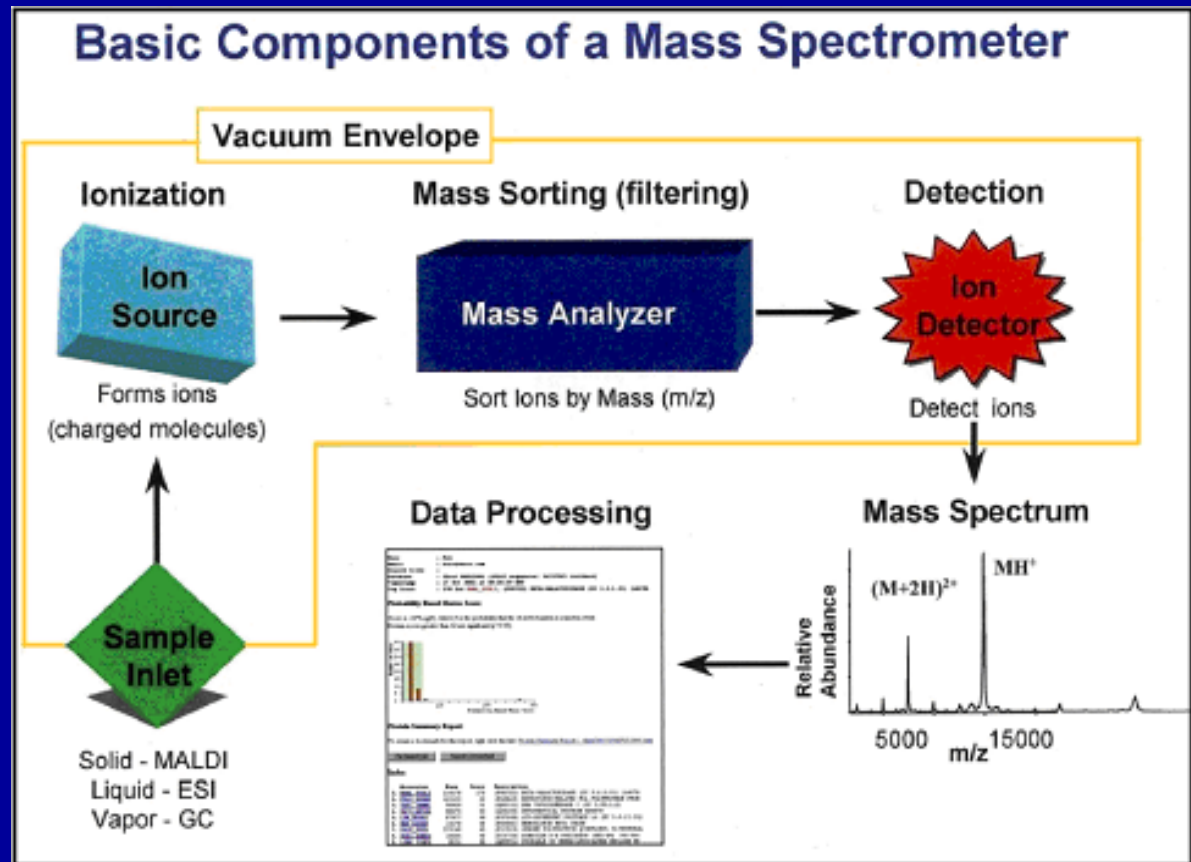


Nove “meke” tehnike jonizacije FAB, ESI i MALDI su omogućile ispitivanje:

- biomolekula (proteina, peptida, ugljenih hidrata, oligonukleida, metabolita i lekova kao i bioloških fluida)
- informacije o strukturi gigantskih molekula
- minimalna pripremom uzoraka
- granice detekcije od pikomola do femtomola
- preciznost određivanja molarne mase reda $\pm 0,01\%$

Maseni spektrometar

$$\lambda(cm) = \frac{0,66}{P(Pa)}$$



Svi instrumenti imaju:

1. Unošenje uzorka
2. Jonski izvor
3. Maseni analizator
4. Detektor
5. Sistem za obradu

Jonizacione metode

Neke od jonizacionih metoda su vrlo energične i pored jonizacije izazovaju znatnu fragmentaciju. Druge su mekše i proizvode jone molekulskih vrsta.

Izbor zavisi od vrste uzorka.

Methode u gasnoj fazi

- Electronska jonizacija (EI)
- Hemijska jonizacija (CI)

Desorpcioni izvor

- **Matrix-Assisted Laser Desorption Ionization (MALDI) i SALDI**

- Fast Atom Bombardment (FAB)

- Desorpcija plazmom, poljem

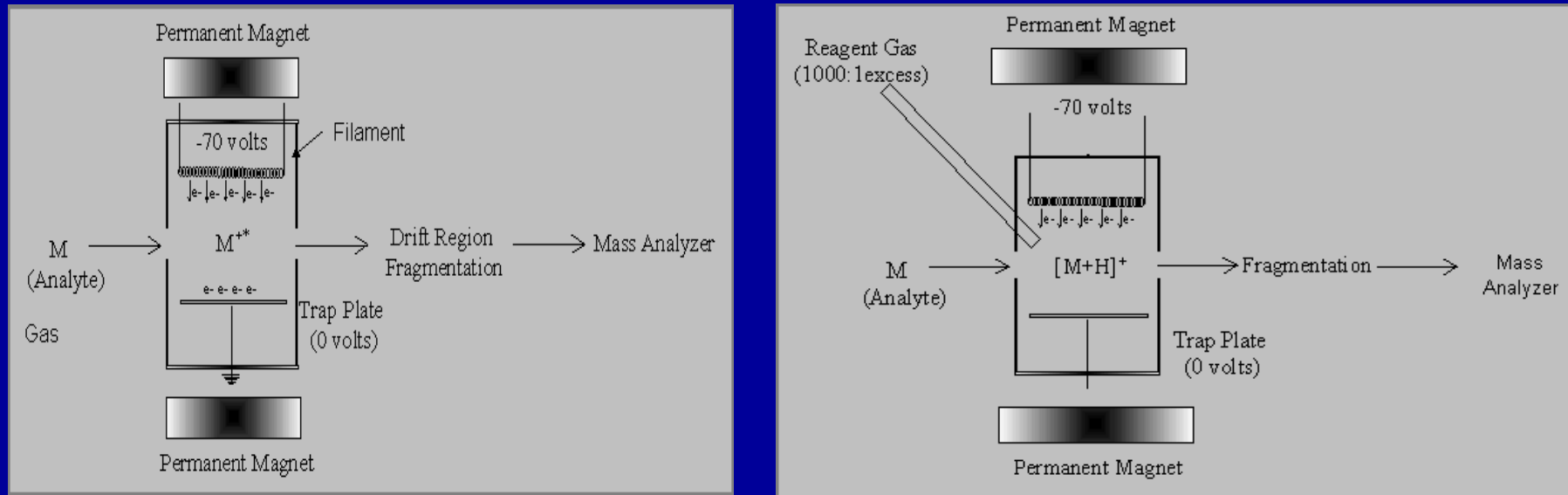
Aerosol rastvora (Spray Methods)

- **Electrosprej (ESI)**

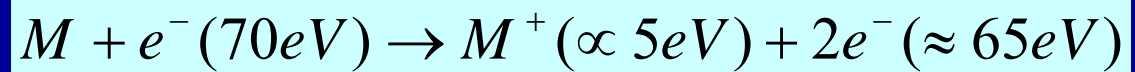
- Atmospheric Pressure Chemical Ionization (APCI)

- Termosprej jonizacija

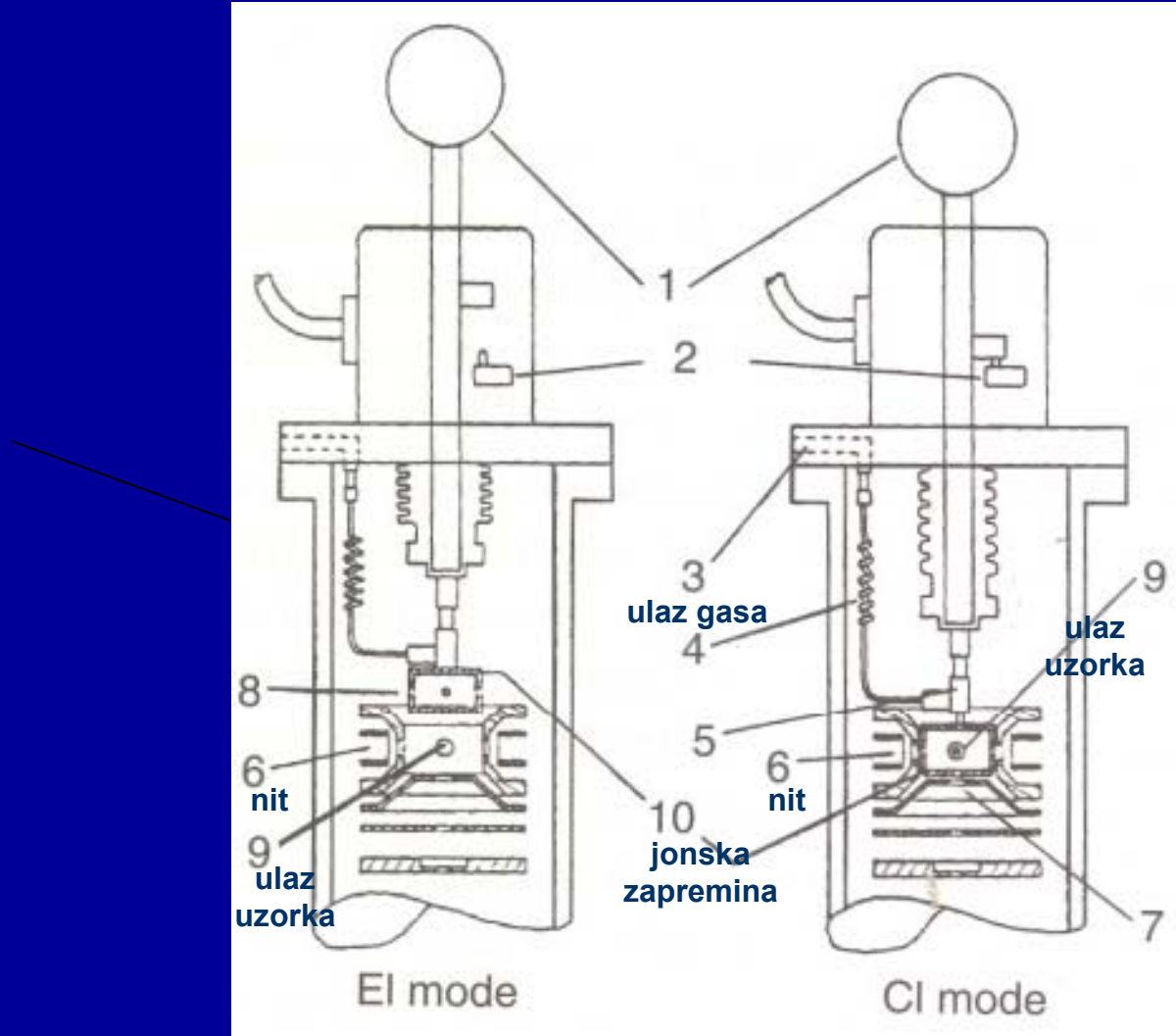
Elektronska i hemijska jonizacija



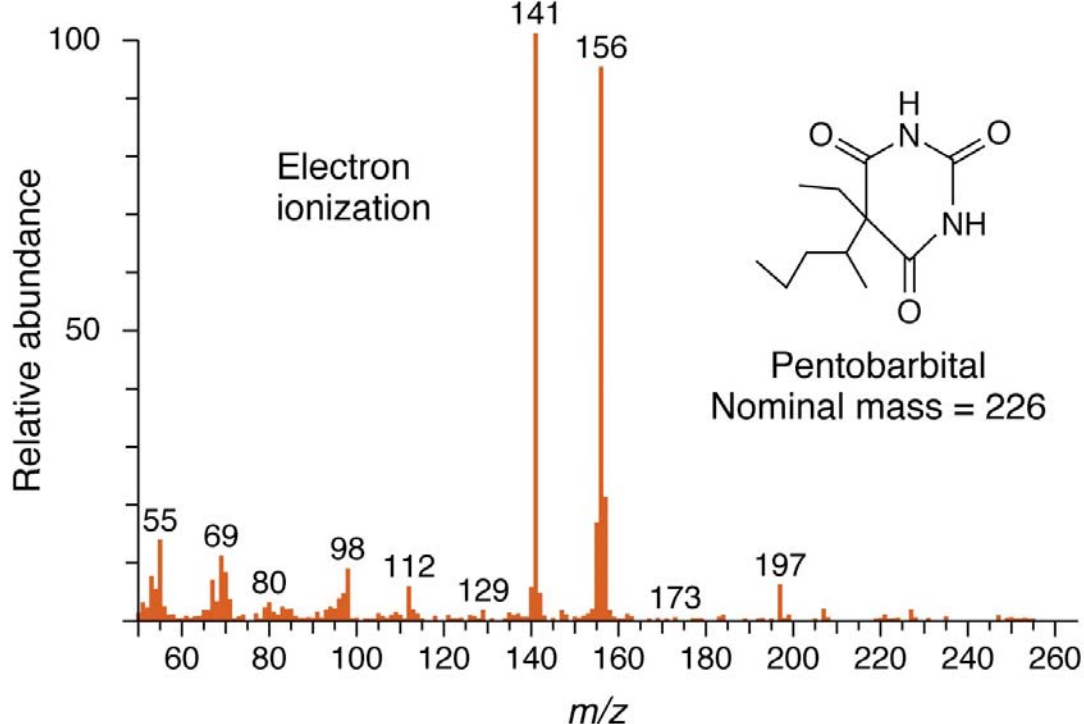
EI igra važnu ulogu u rutinskim analizama malih organskih molekula.



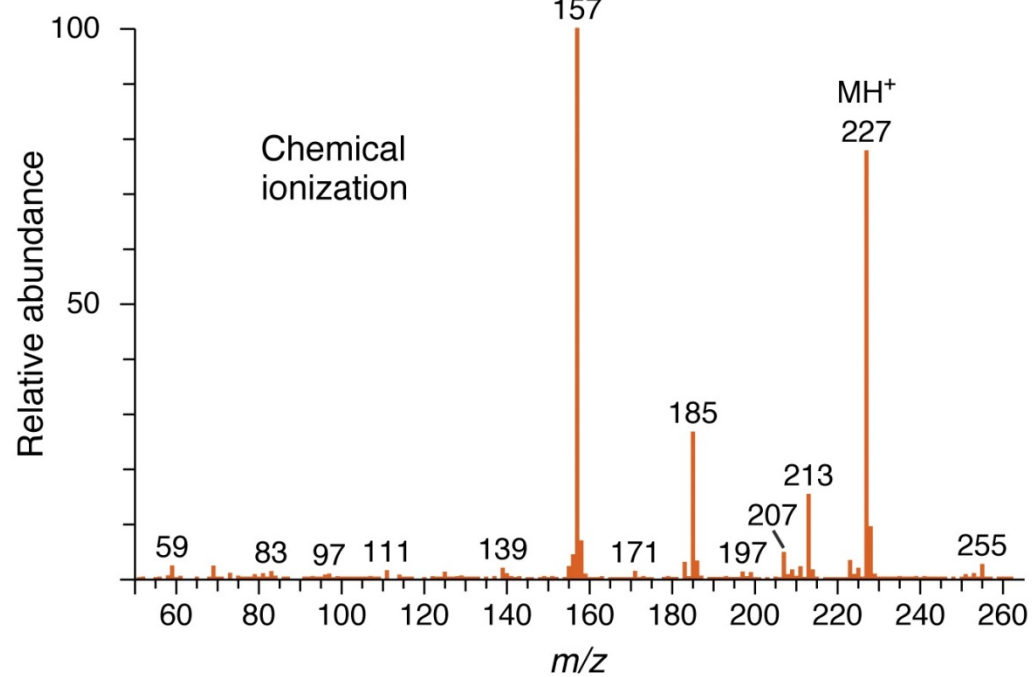
Kod polarnih molekula nastaju aduktni joni $\text{M} + \text{CH}_3^+ \rightarrow (\text{M} + \text{CH}_3)^+$



U kutiji se održava pritisak od 60 Pa,
dok je okolo pritisak u izvoru oko 10^{-3} Pa.



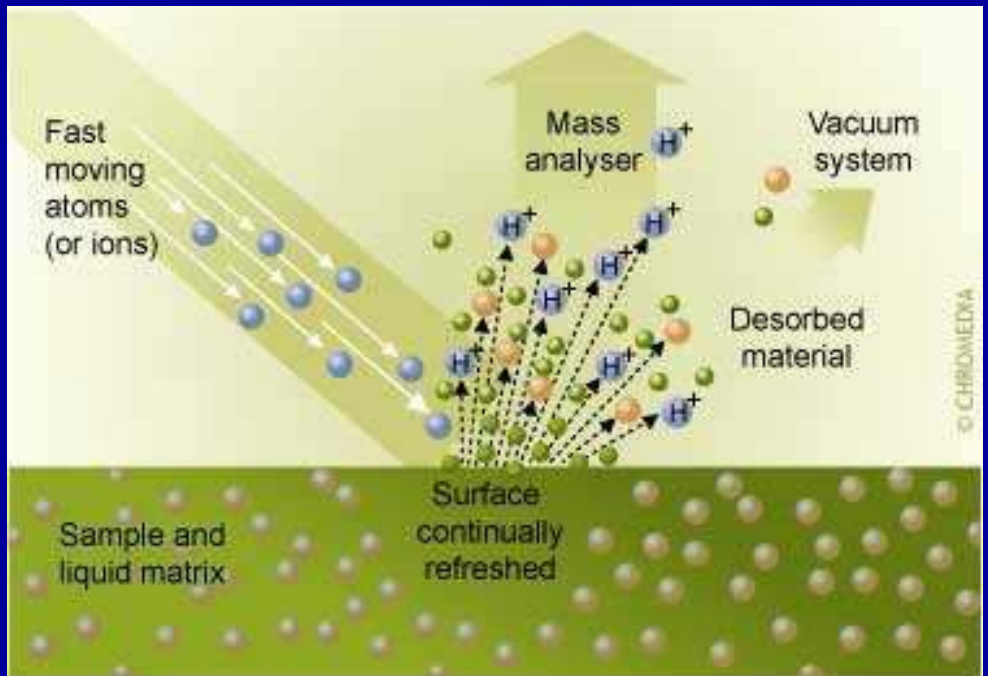
Poređenje spektra
dobijenog EI i CI



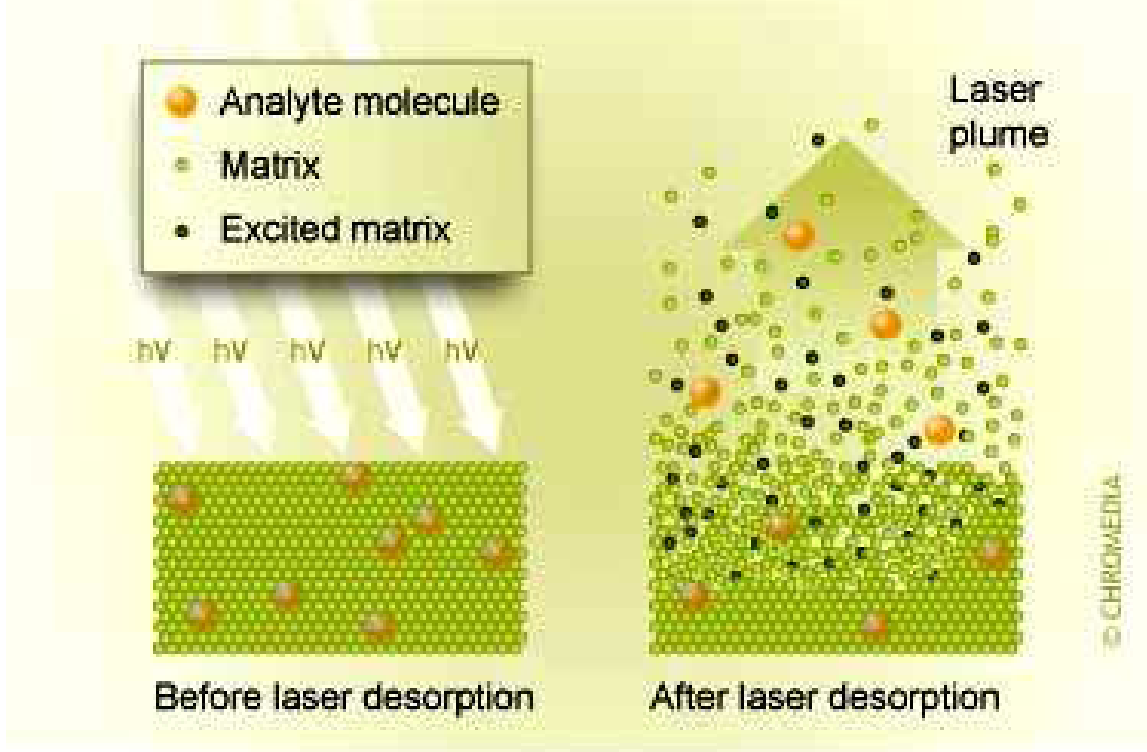
Desorpcione metode jonizacije su: termalna jonizacija-DCI, desorpcija poljem-FD, brzo atomsko/jonsko bombardovanje i MALDI

Brzo atomsko/jonsko bombardovanje- FAB i FIB

FAB zahteva direktno unošenje probe u jonski izvor i korišćenje visokoenergetskih snopova **Xe atoma**, jona Cs^+ ili masivnih glicerol- NH_4^+ klastera (MCI) da bi se raspršavali (spaterovali) uzorak i matriks sa površine probe (**m-nitrobenzil alkohol (NBA)** i glicerol).



MALDI-Laserska desorpcija/jonizacija potpomognuta matriksom



Brza osetljiva metoda za analizu makromolekula masa većih od 700Da (proteini, peptidi, nukleinske kiseline, sintetički polimeri).

$$h\nu \sim 10-50 \text{ MW/cm}^2$$

Type of laser	Wavelength (nm)	Pulse Width (nsec)	Photon Energy kcal/mol	Photon Energy eV
Nitrogen	337	>1	85	3.68
Nd:YAG (4x)	266	5	107	4.66
Excimer (ArF)	193	15	148	6.42
CO ₂	10,600	100	2.7	0.12

UV ili IR zračenje lasera u kratkim impulsima (od 1-100nsec) fokusirano na malu površinu čvrstog rastvora dovodi do desorpcije i ionizacije.

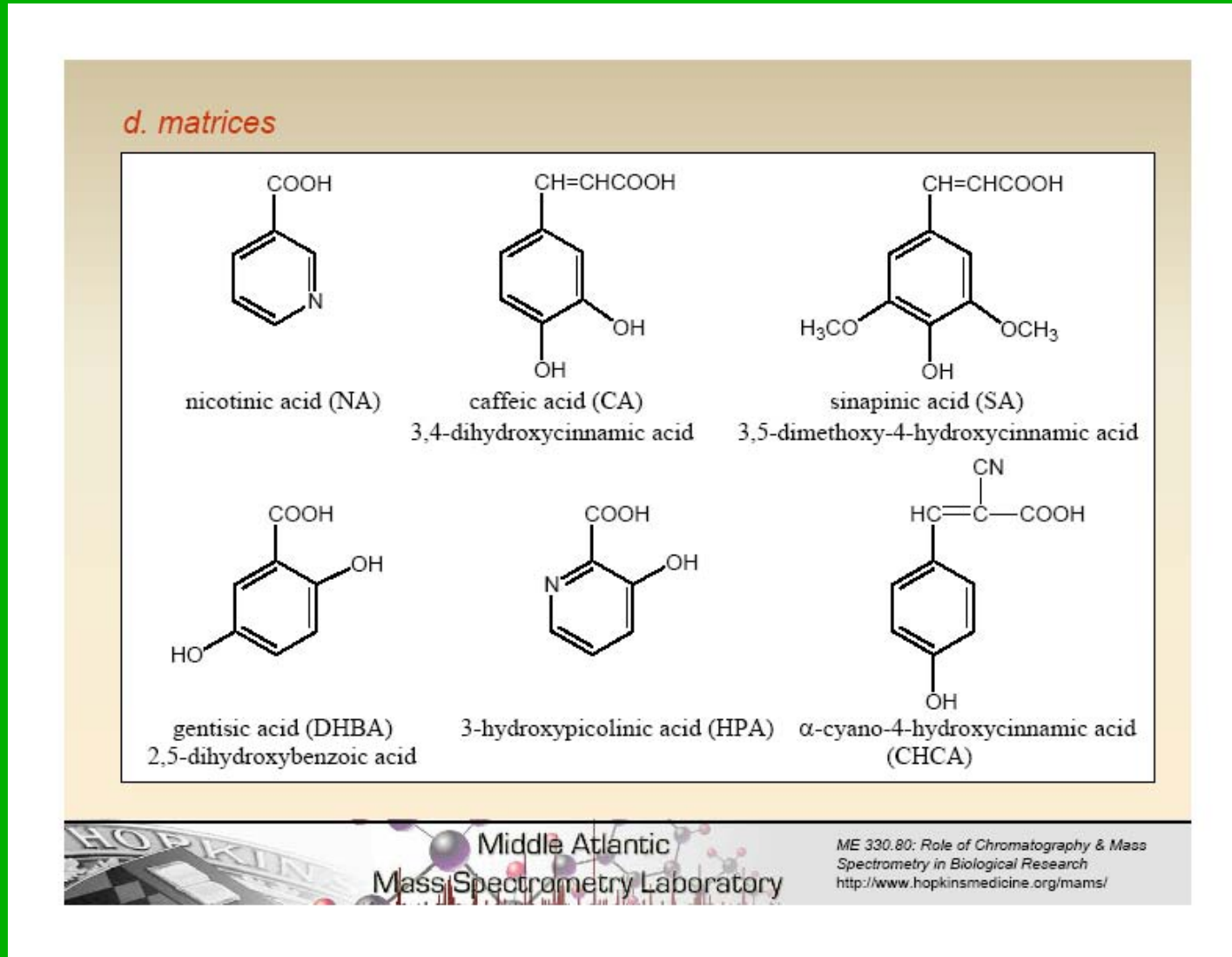
**Laserski snop proizvodi neutrale analita i matriksa
kao i jone matriksa:**



Analit (A) se jonizuje prenosom protona u gasnoj fazi:



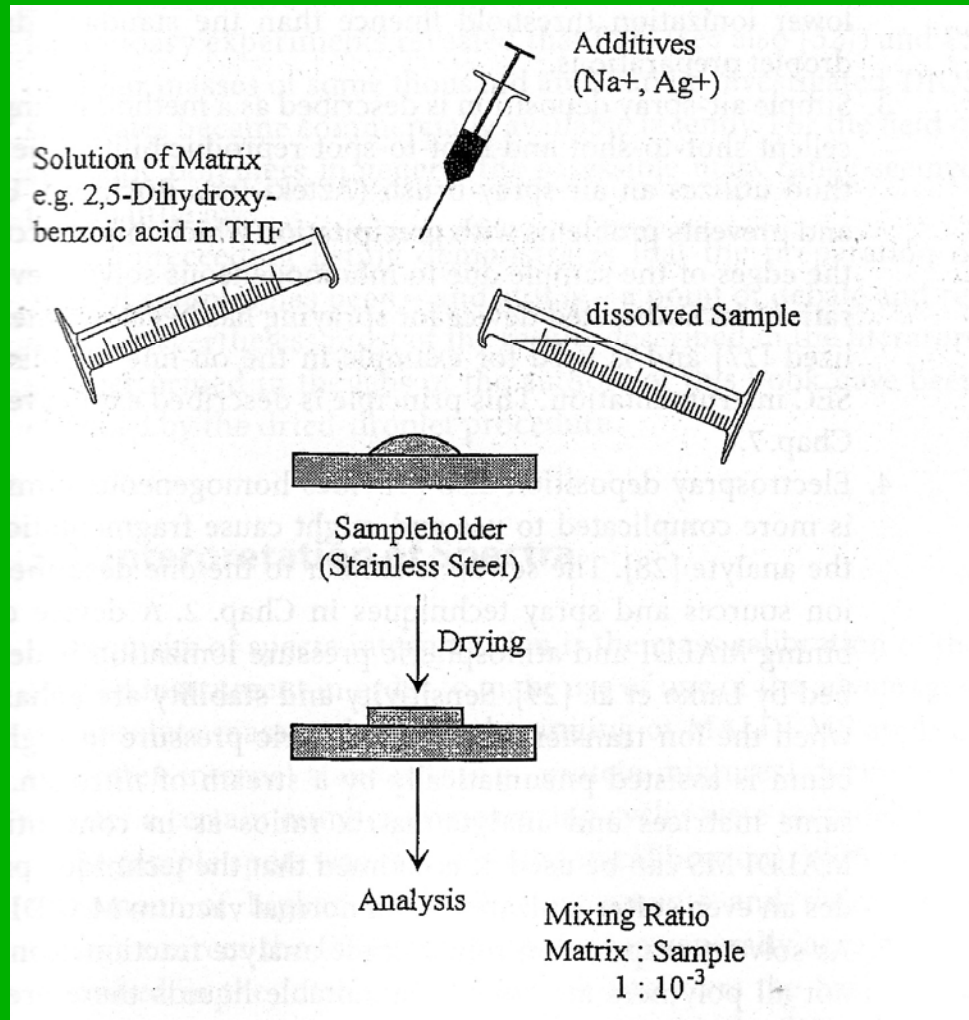
Izbor matriksa je ključni momenat za dobijanje MS



Ugljenični nanomaterijali (dijamant, grafit, C nano cevi i fulereni se koriste kao matriksi ili se dodaju matriksu kod analize manjih molekula.

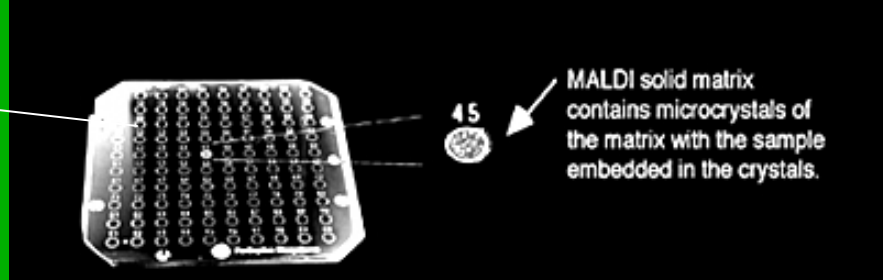
(J. Biochem. Biophys. Methods 70 (2007) 319–328)

Priprema probe



Otvori dijametra $\sim 1\mu\text{m}$ i $1 \mu\text{L}$

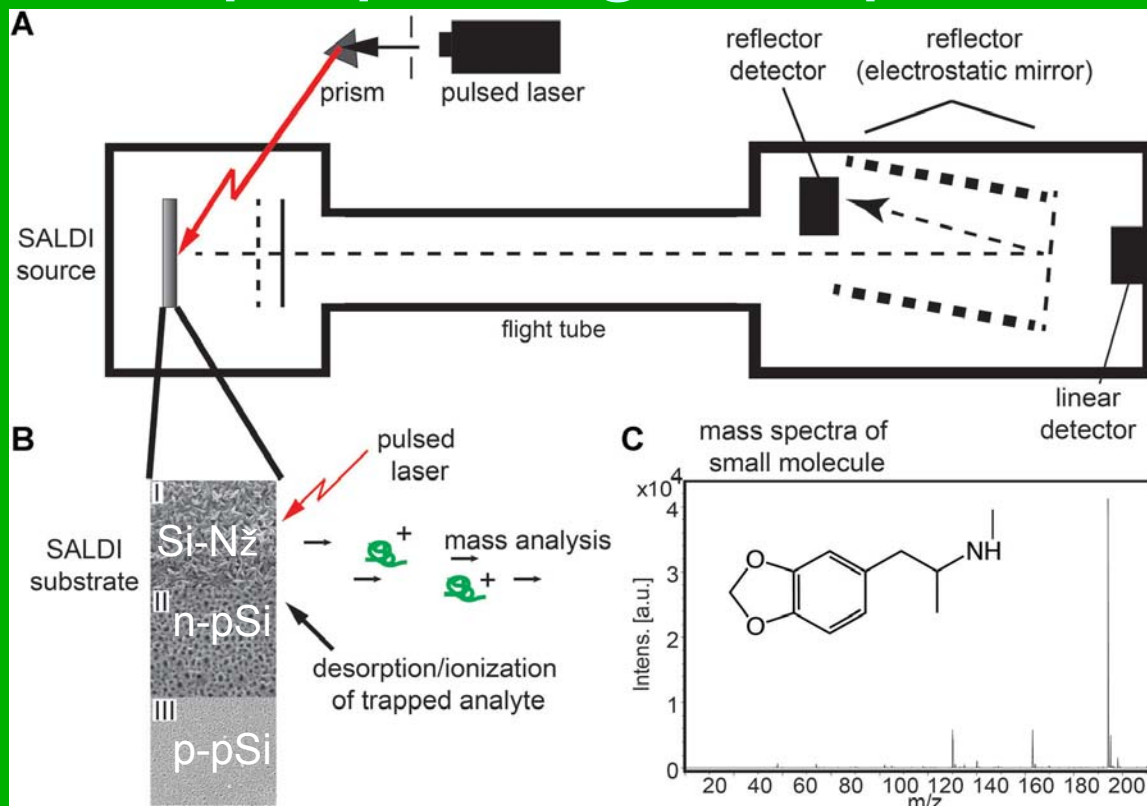
- Uzorak se prvo rastvara u pogodnom rastvaraču zajedno sa matriksom. To je jak apsorber laserskog zračenja i to su najčešće derivati cimetne ili benzoeve kiseline. Matriks se dodaje u 1000 puta većoj količini od analita. Može se prvo naneti uzorak pa matriks ili obrnuto ili kao sendvič matriks pa uzorak pa opet matriks.



Prednosti i nedostaci MALDI jonizacije

Prednosti	Nedostaci
Meka jonizacija sa neznatnom ili nikakvom fragmentacijom Praktična oblast masa do 300 000Da, čak i viših Tipična osetljivost je od femtomola do pikomola a čak postoje radovi u kojima se određivanja vrše na nivou atomola Tolerancija na prisustvo soli u mmol/L koncentracijama Pogodno za analizu kompleksnih smeša	Postoji pozadina od matriksa, kao i adukata koji mogu stvarati probleme za jedinjenja čije su mase ispod 700Da. Ove pozadinske interferencije su veoma zavisne od materijala matriksa. Mogućnost fotodegradacije laserskom desorpcijom /jonizacijom Za razliku od ESI nema višestruko nanelektrisanih jona jer se oni teže desorbuju i nestabilni su u gasnoj fazi.

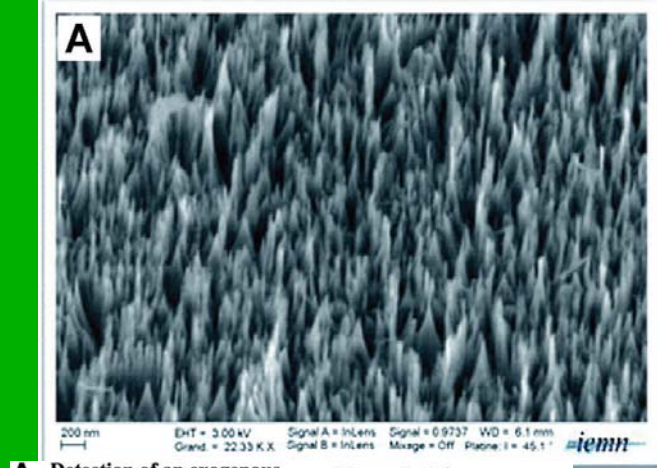
SALDI-Laserska desorpcija/jonizacija potpomognuta površinom



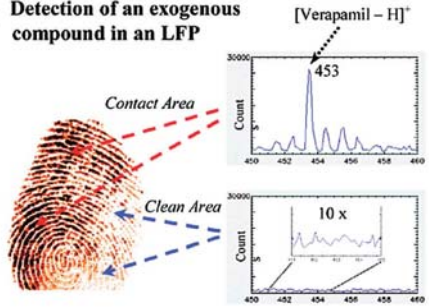
SALDI:
DIOS (porozni Si)
NIMS (nano inicirana)
NALDI (nano potpomognuta)

MDMA (3,4-methylenedioxymethamphetamine)
ekstazi

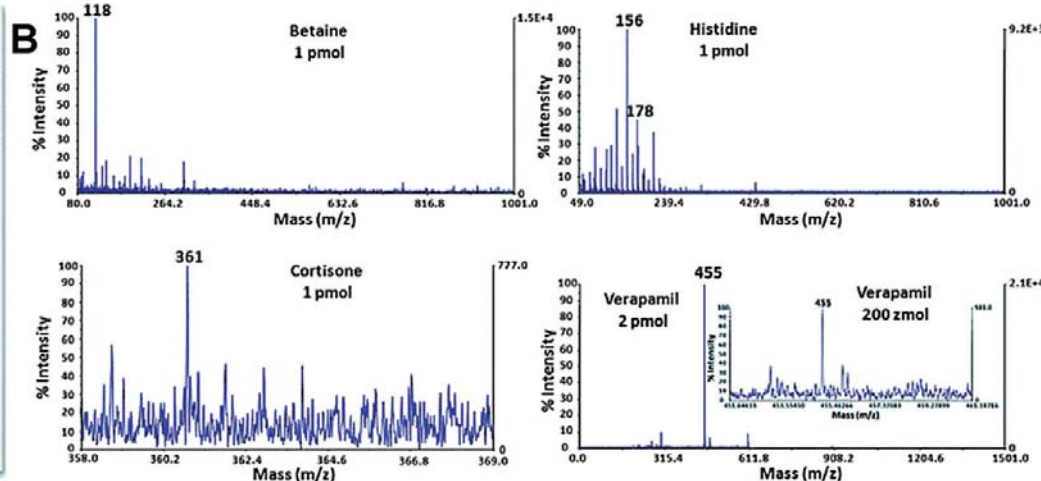
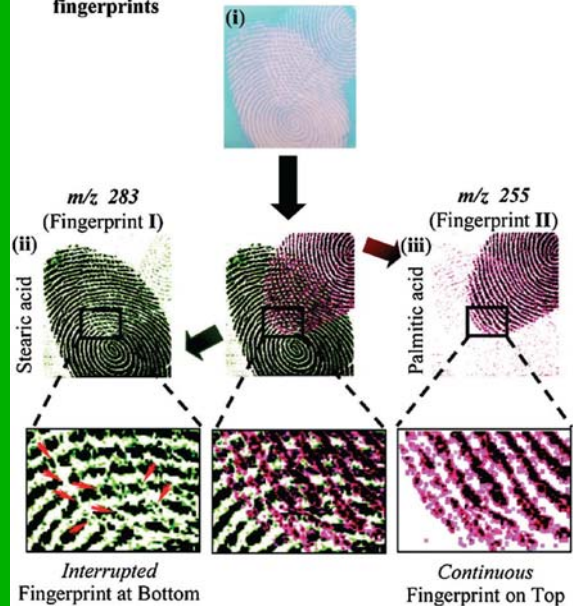
Nano-struktuirani supstrati koji olakšavaju desorpciju i ionizaciju bez matriksa.
Metoda pogodna za analizu malih organskih molekula (<700Da).
Supstrati: Au, TiO₂, F₂O₃ i Se (NČ), CdTe (KT), Pt (nanosunderi) i ugljenični nanomaterijali (MWCNT, HOPG, fuleren, nanoporzni grafit, nano dijamant)



A Detection of an exogenous compound in an LFP



B Separation of overlapped fingerprints

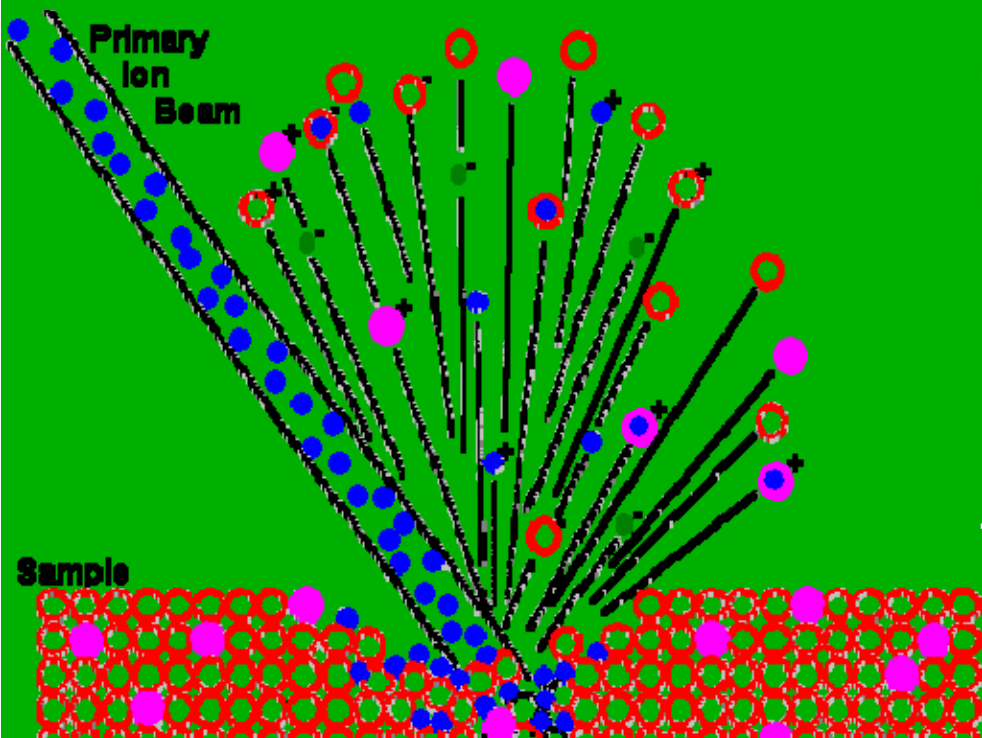
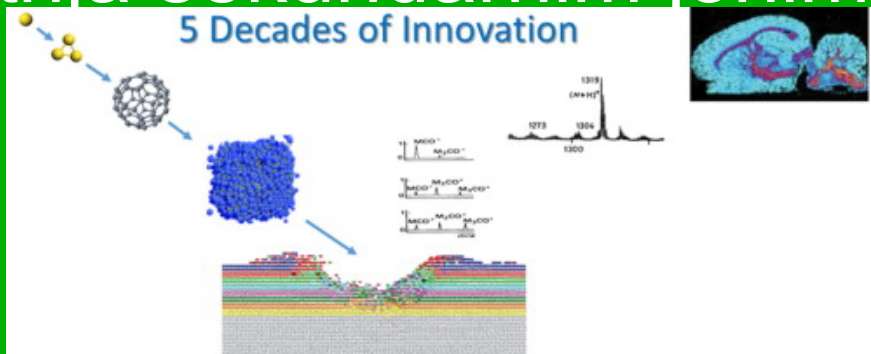


Supstrat-Au nano žice dobijene iz nano dijamanta dopiranog borom za analizu peptida (50 fmol) i malih molekula (verapamil-200 zmol, betain, histidin i kortizon-1pmol)

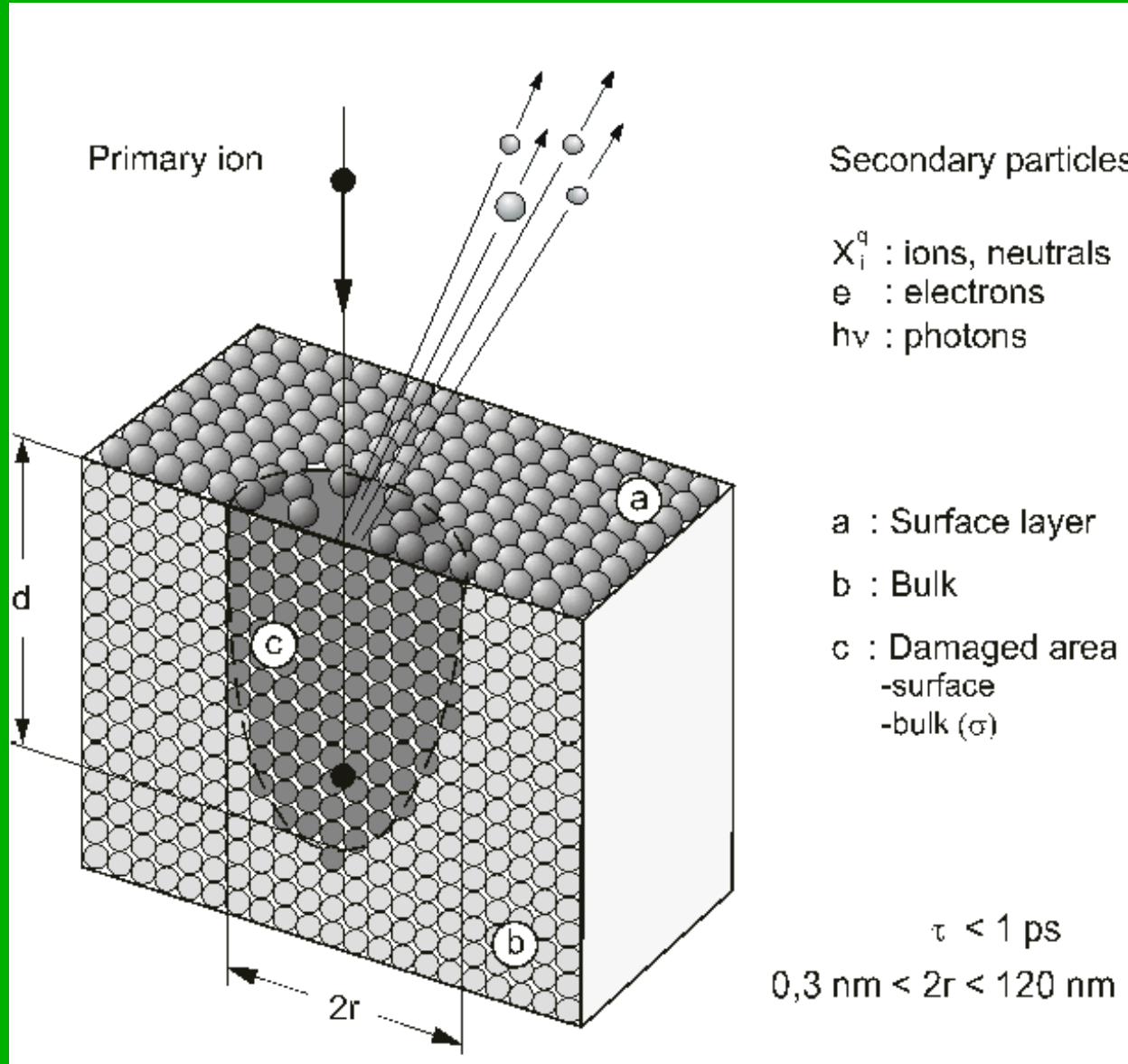
Imidžimg droga i metabolita pomoću SALDI MS koji je poslužio za identifikaciju dva otiska prsta na osnovu spektara stearinske kiseline sa m/z na 283 i palmitinske kiseline na 255. (supstrat Au NČ).

SIMS-Secundary Ion Mass Spectrometry

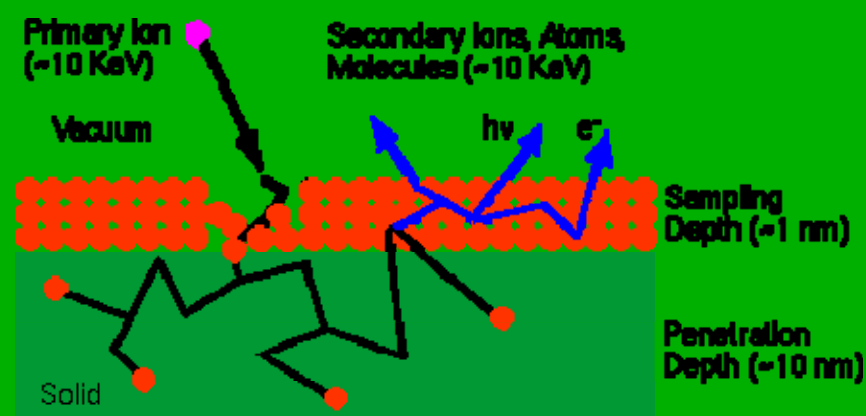
Masena spektrometrija sekundarnim ionima



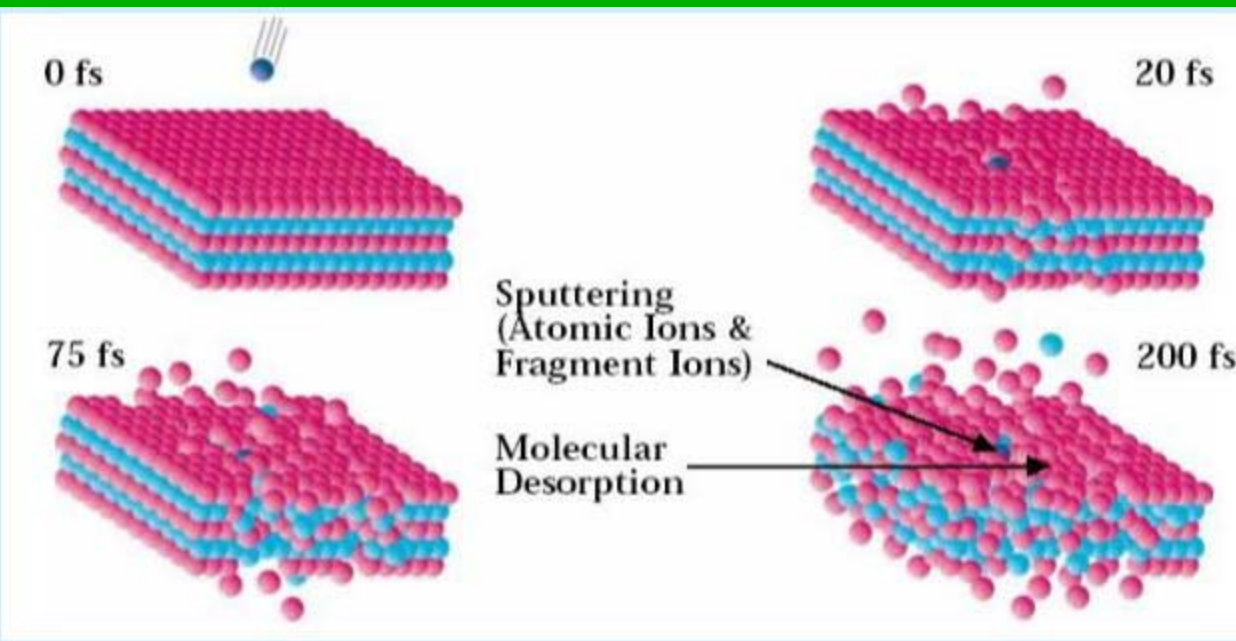
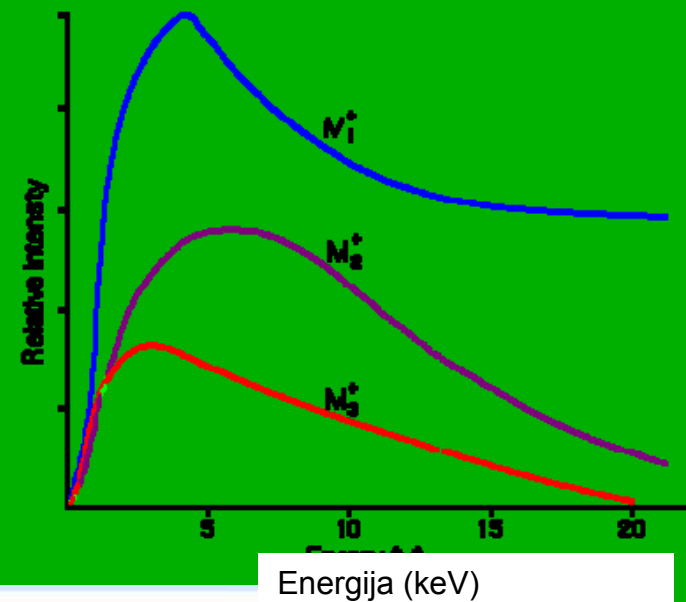
- Elementi od H to U mogu biti detektovani ali i organski molekuli.
- Većina elemenata može da se detektuje do koncentracija od 1 ppm do 1 ppb.
- Izotopski odnosi mogu da se mere sa preciznošću od 0.5 do 0.05%.
- Sastav i struktura može da se određuje u površinama do 1 nm i tankim filmovima.
- Pošto su joni emitovani vrlo blizu udara primalnih jona to se može analizirati odabrana površina (lokalna mikro analiza).
- Mogu da se dobiju 2D i 3D raspodele.



Spaterovanje-raspršivanje



Energetska raspodela sekundarnih jona



**Tipične brzine smaterovanja 0.5 do 5 nm/s
Tipični prinosi od 5 do 15
Nema posebne pripreme uzorka**

Uzorci, geometrije, način rada

► Analizirani materijali

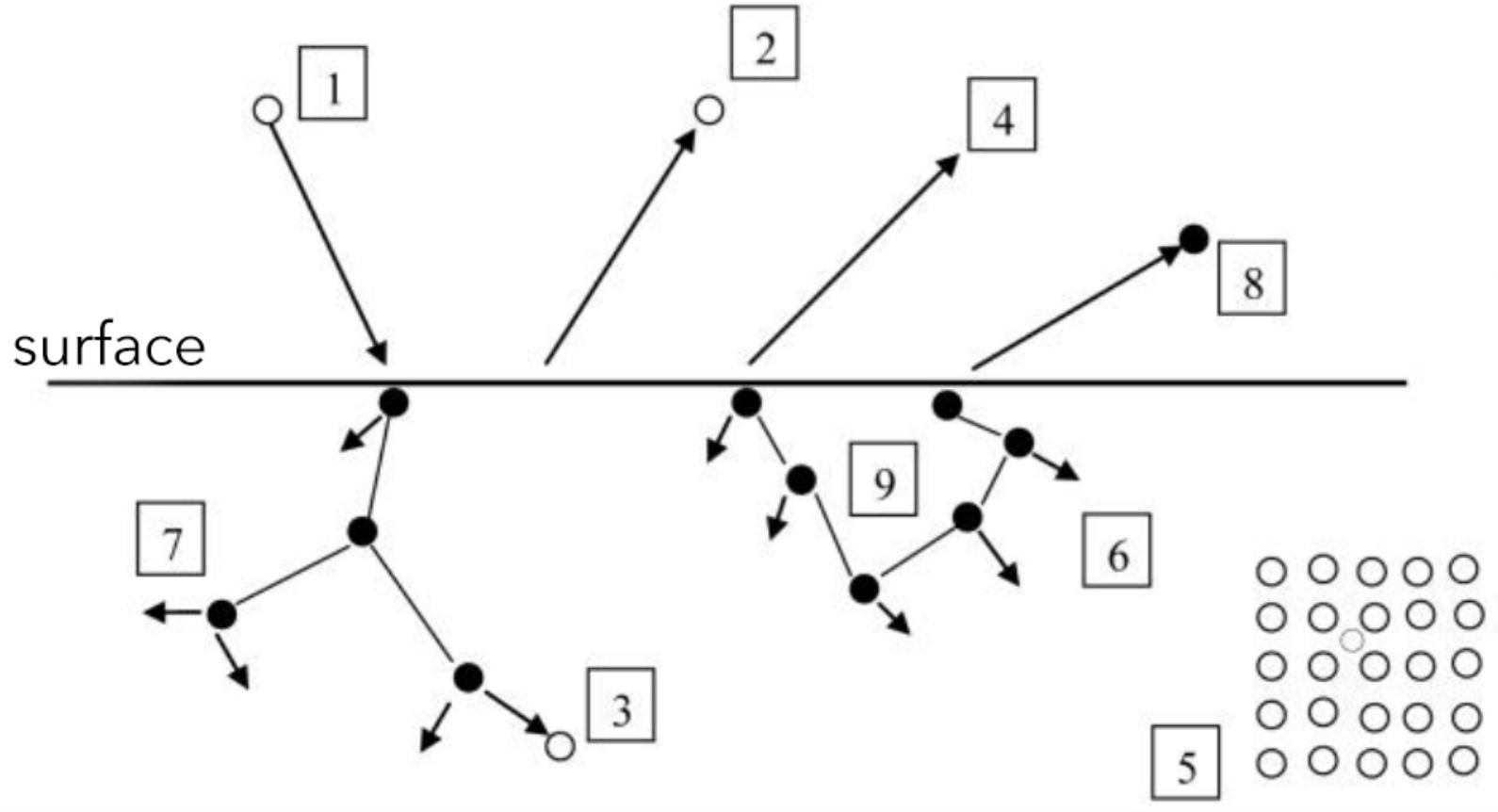
- Metali, Poluprovodnici, Oksidi
- Stakla, Keramike,
- Polimeri, Aditivi, Biopolimeri, Biomolekuli,
- Biološka tkiva

► Geometrija uzorka

- Površine, Monoslojevi, Čestice, Vlakna,

► Način rada (statički i dinamički)

- Spektroskopija
- Imidžing (mapiranje)
- Profil dubine
- 3D-analiza



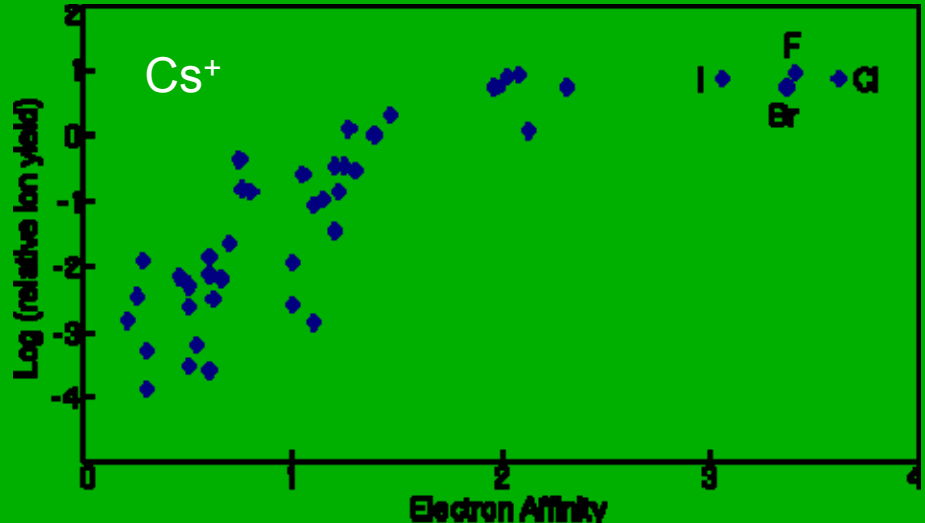
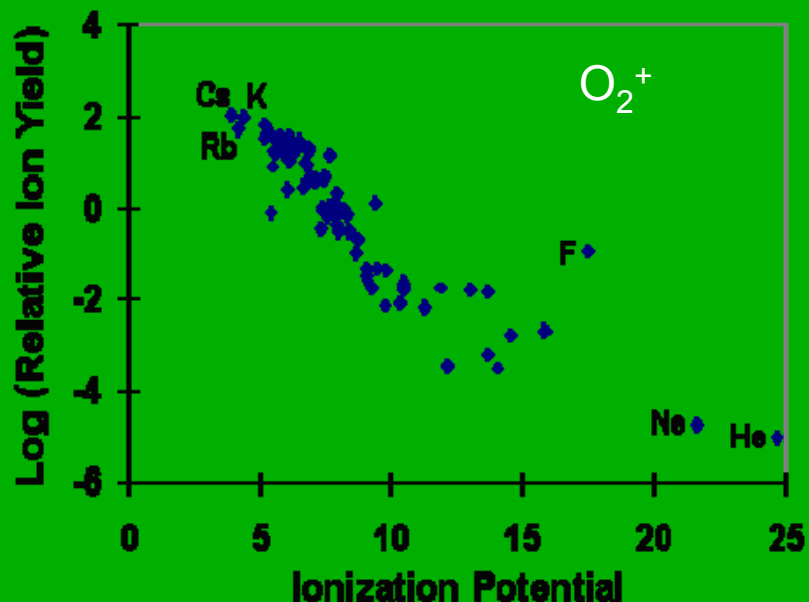
	Au ⁺	Au ₂ ⁺	Au ₃ ⁺	C ₆₀ ⁺
Removed # of H ₂ O	100	575	1190	2510
Equivalents				

$$Y = \frac{3\alpha}{4\pi^2} \frac{4M_1 M_2 E}{(M_1 + M_2) U_o}$$

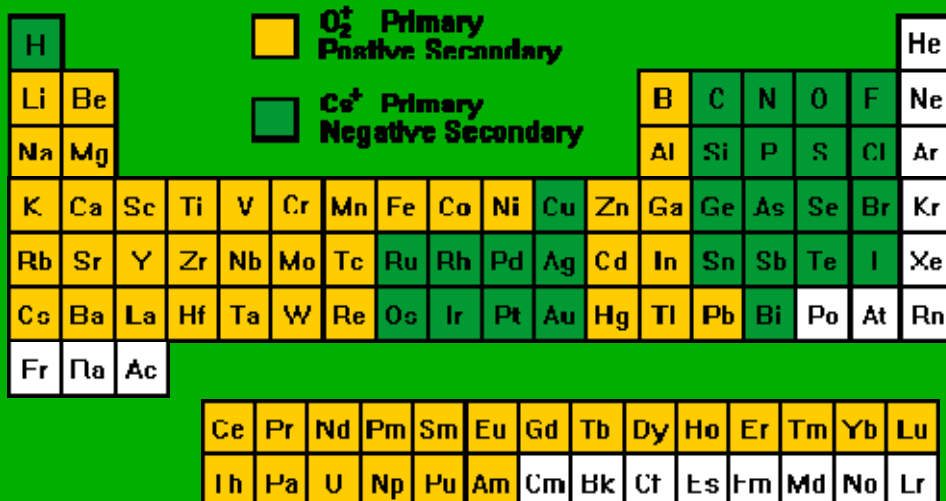
Jonski prinos

Ar⁺, Cs⁺, Ga⁺, O₂⁺, O⁻, SF₅⁺, Au_n⁺, Bi_n⁺, Ar₂₅₀₀⁺, C₆₀⁺

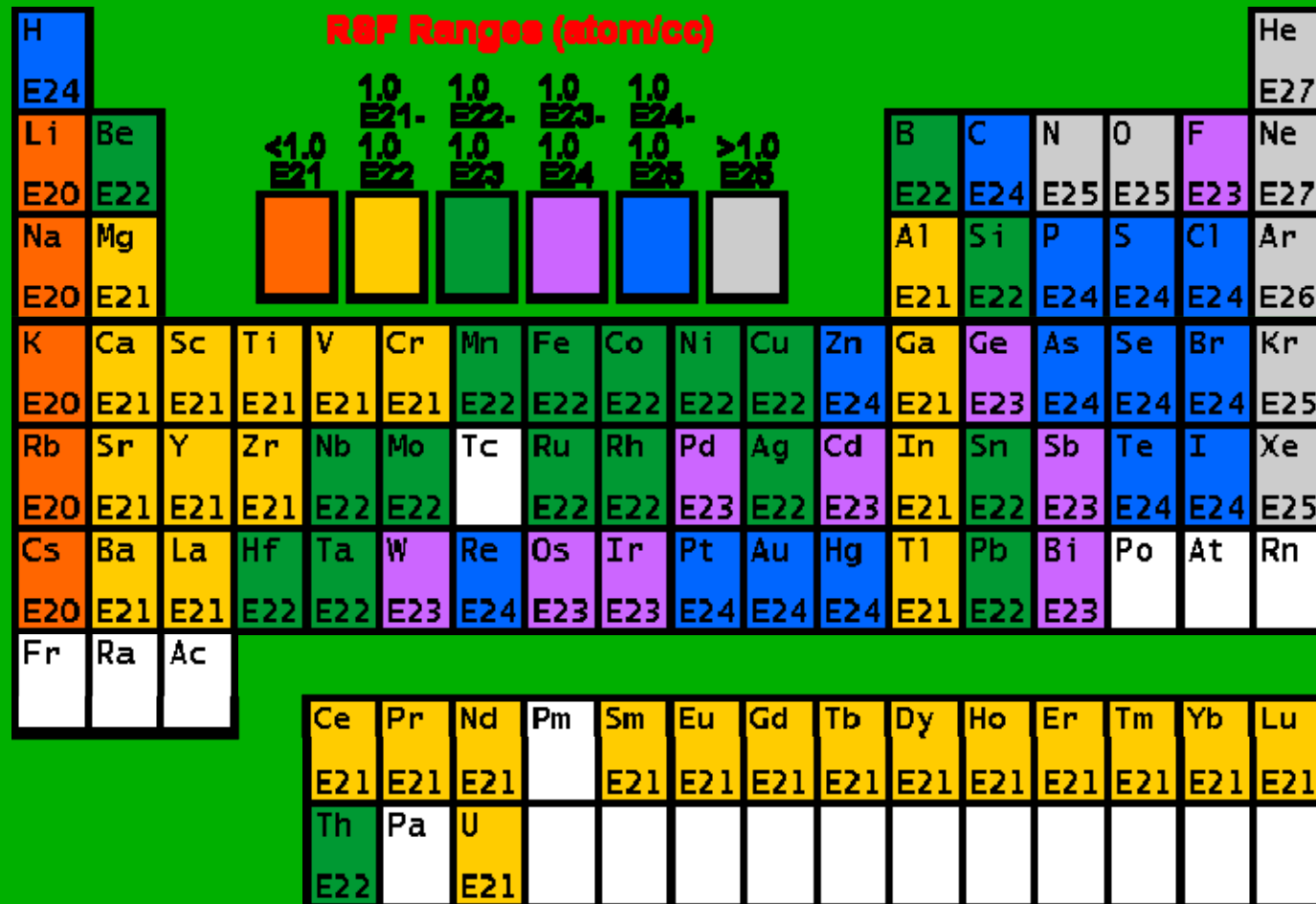
Prinos sekundarnih jona-uticaj prirode elementa



Prinos sekundarnih jona-uticaj primarnog snopa

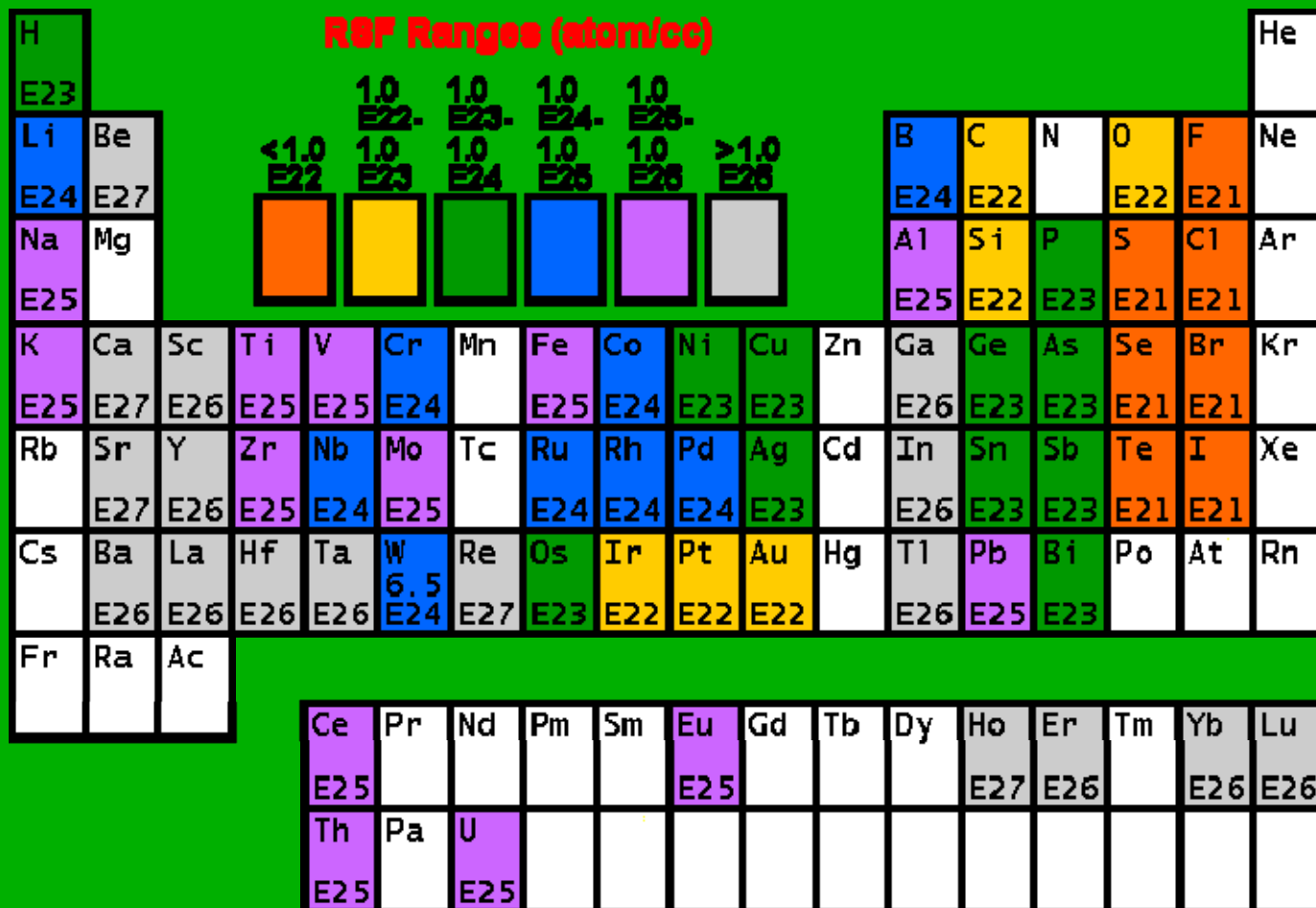


Faktori relativne osetljivosti u pozitivnom modu sa O⁻ primarnim jonijma (osnova Si)

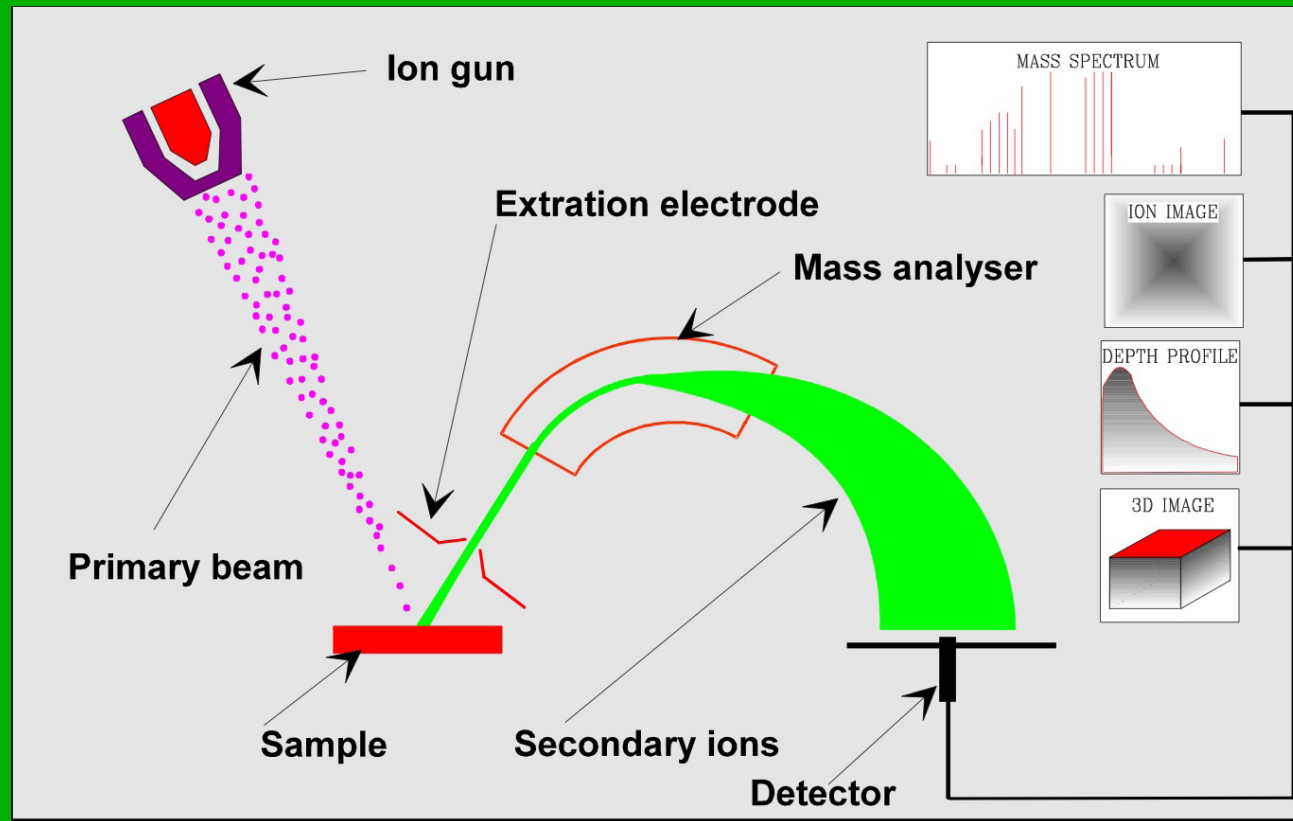


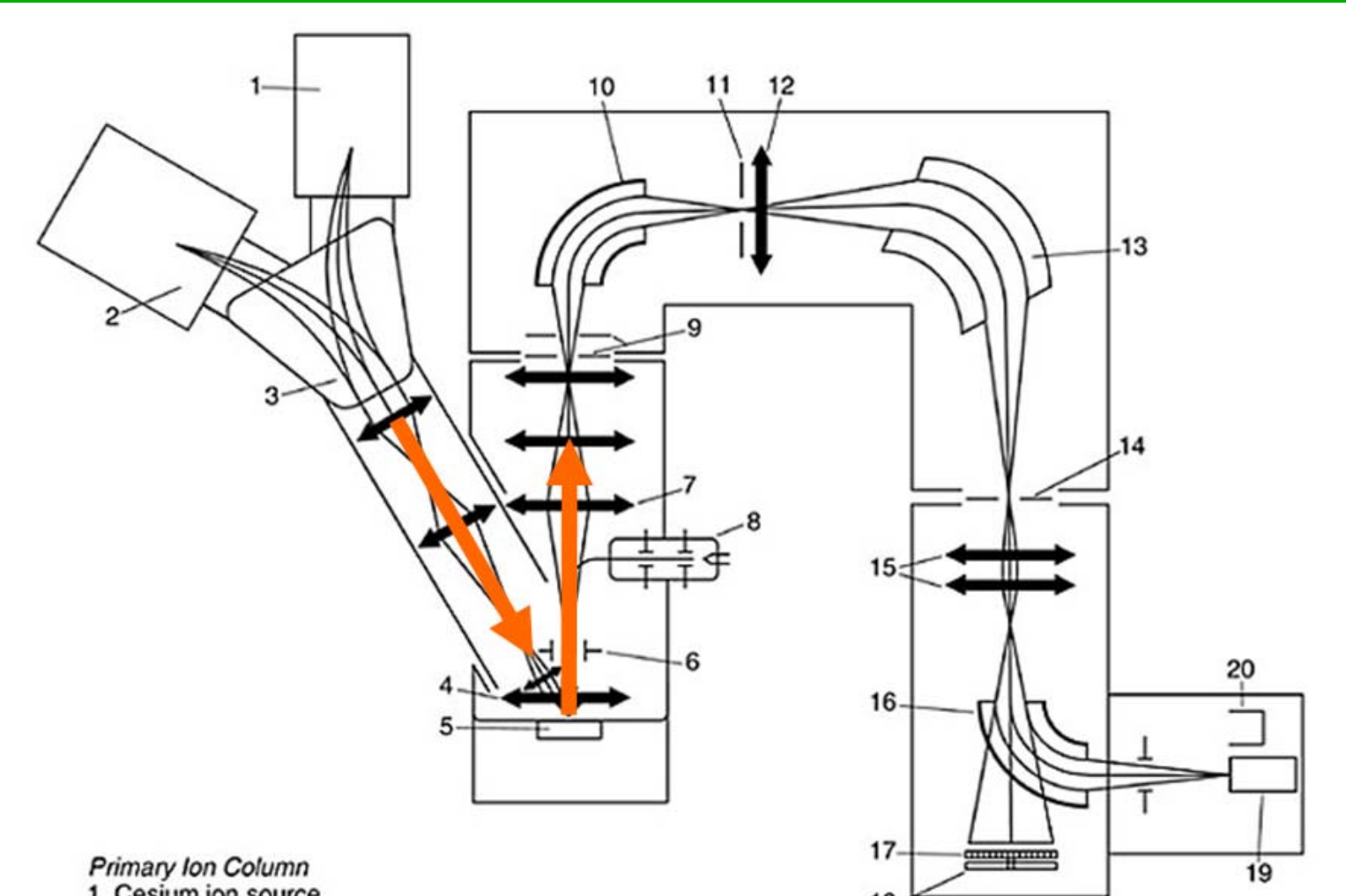
$$C_E = RSF \frac{I_E}{I_M}$$

Faktori relativne osetljivosti u negativnom modu sa Cs^+ primarnim jonijma (osnova Si)



Shematski prikaz glavnih komponenti SIMS tehnike





Primary Ion Column

- 1. Cesium ion source
- 2. Duoplasmatron ion source
- 3. Primary beam mass filter
- 4. Immersion lens

Secondary Ion Extraction System

- 5. Specimen
- 6. Dynamic transfer system
- 7. Transfer optical system
- 8. Electron flood gun

Mass Spectrometer

- 9. Entrance slit, Field aperture
- 10. Electrostatic analyzer
- 11. Energy slit
- 12. Spectrometer lens
- 13. Electromagnet
- 14. Exit slit

Detection System

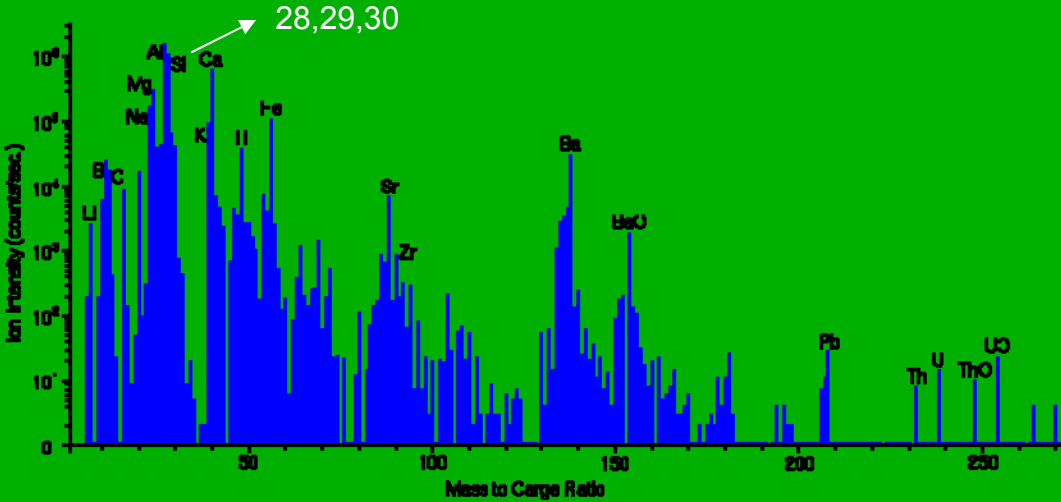
- 15. Projection lenses
- 16. Electrostatic sector
- 17. Channel-plate
- 18. Fluorescent screen
- 19. Electron multiplier
- 20. Faraday cup

Prema energiji i struji primarnih jona SIMS metoda može biti u dva moda:

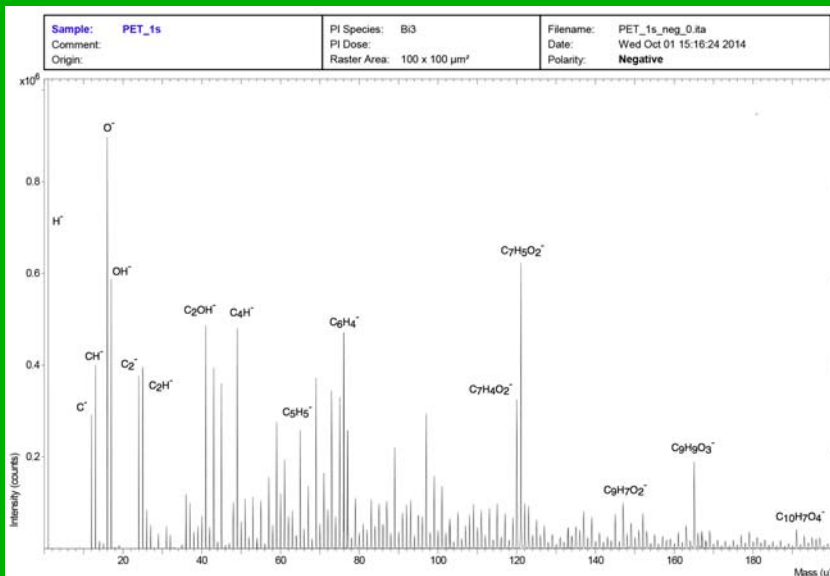
Statički SIMS: primenjuju se primarni joni energije od 0,1 do 10 keV sa površinskom gustinom struje od nA/cm^2 . Za potpunu eroziju prvog mono sloja su potrebni sati. Pri takvim uslovima verovatnoća za stvaranje molekulskih i kvazi molekulskih jona je velika, a fragmentacija krajnje ograničena.

Dinamički SIMS: energije od 10 do 30 keV sa površinskom gustinom reda μA do mA/cm^2 . Pri takvim uslovima uzorak kontinualno erodira i može se vršiti profilisanje po dubini.

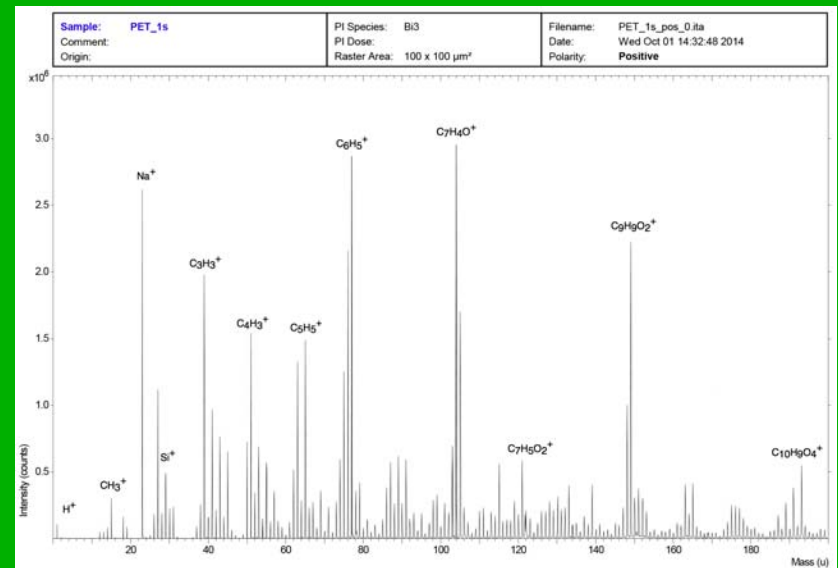
Maseni spektri



Maseni spektar pepela uglja



SIMS spektar PET ($(\text{C}_{10}\text{O}_4\text{H}_8)_n$ u negativnom modu



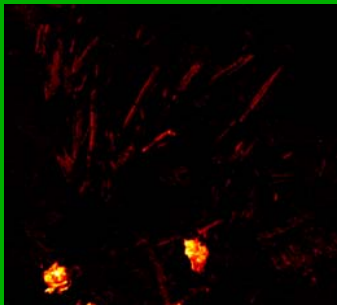
SIMS spektar PET u pozitivnom modu

Imidžing-mapiranje

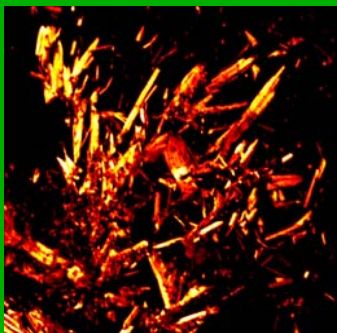
Oblast posmatranja: $284 \times 284 \mu\text{m}^2$



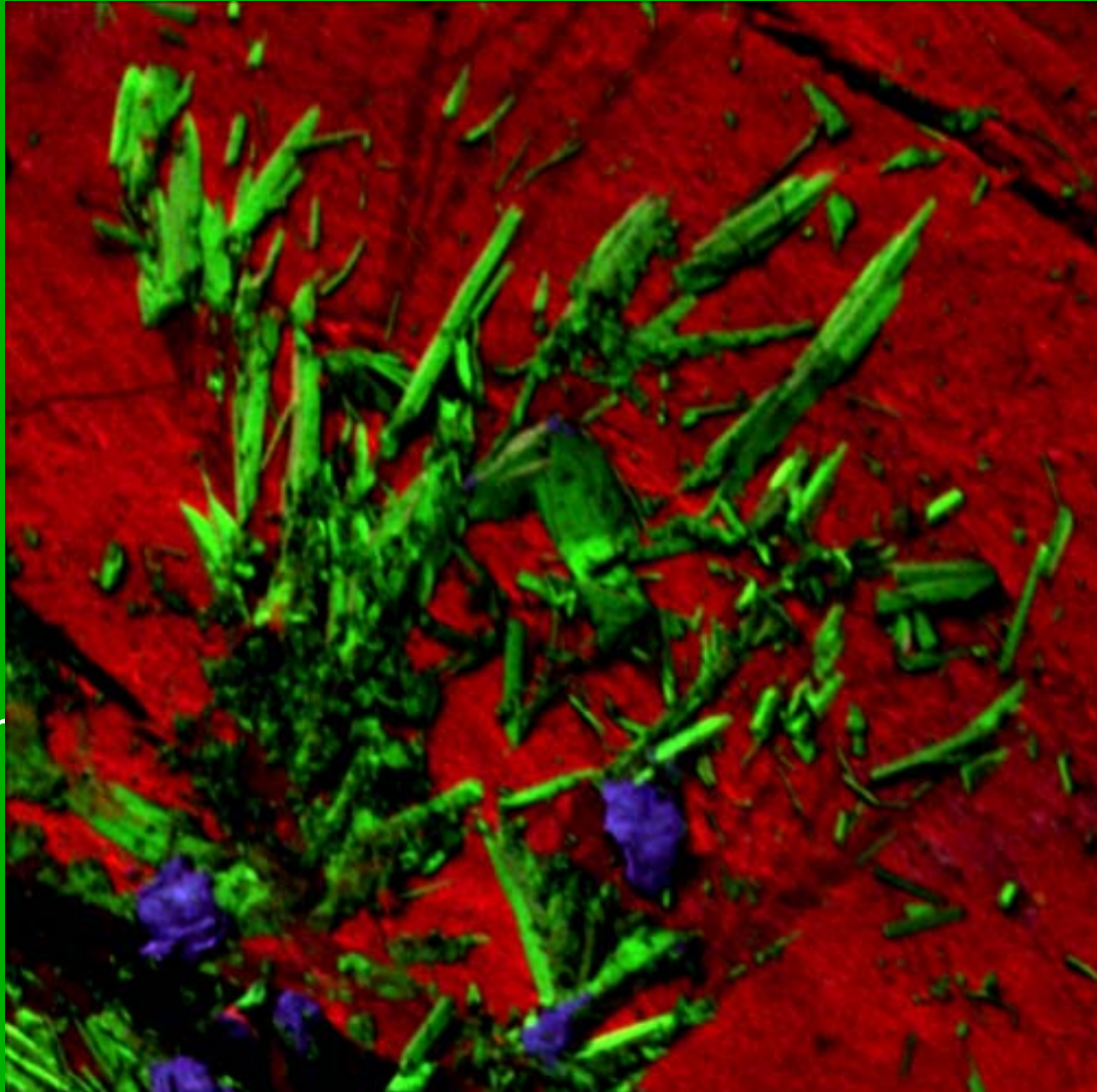
Polimer (PP)



Stabilizator topljer



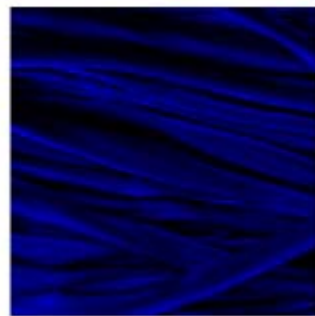
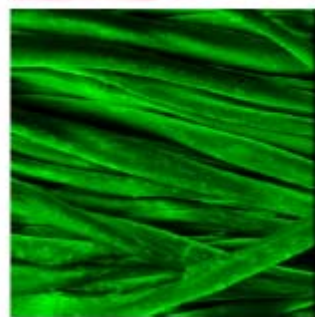
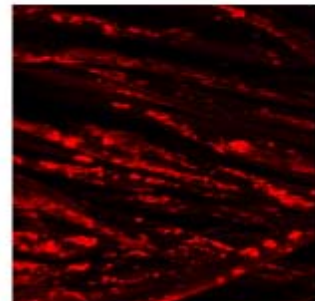
Antioksidant



Polimer, Stabilizator, Antioksidant

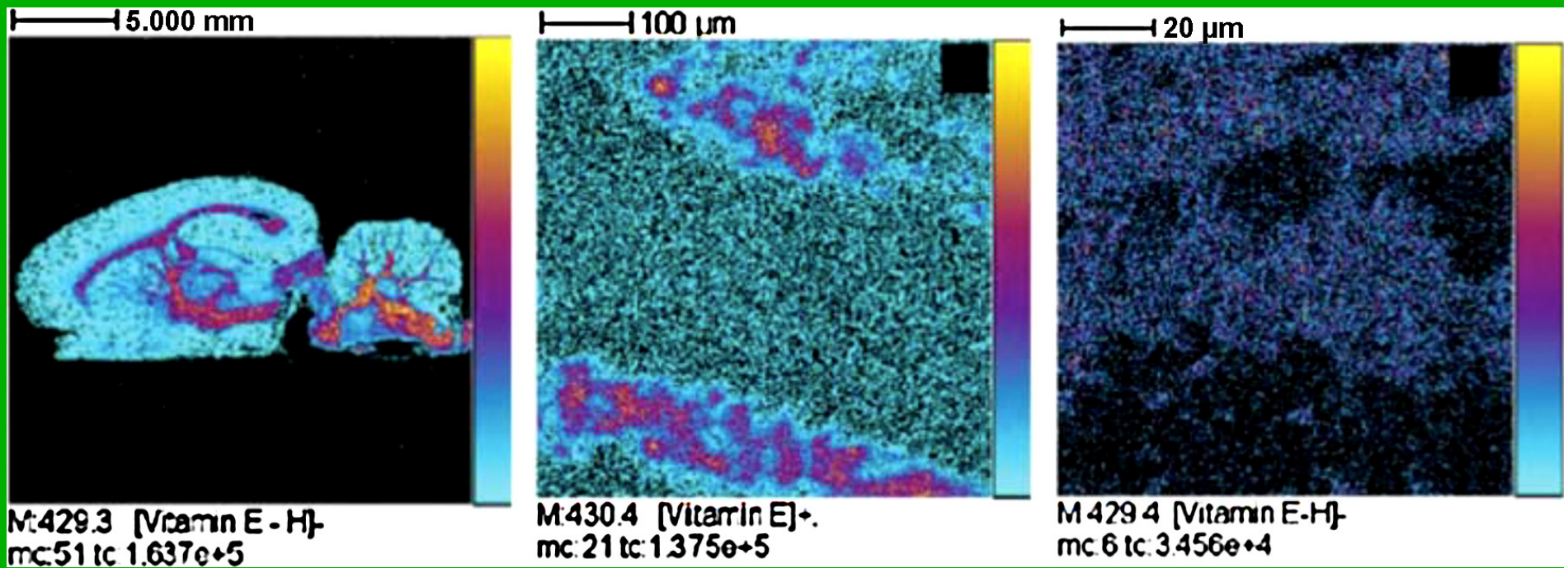
field of view: 150 x 150 μm^2

Si_xO_y



TOF-SIMS dobijen sa pamučnih vlakana tretiranih fluoroalkilsilanom. 25 keV Bi^{3+}

Sagitalni isečak mozga pacova pri različitim prostornim rezolucijama na m/z=430,4-vitamin E



Određivanje m/e odnosa

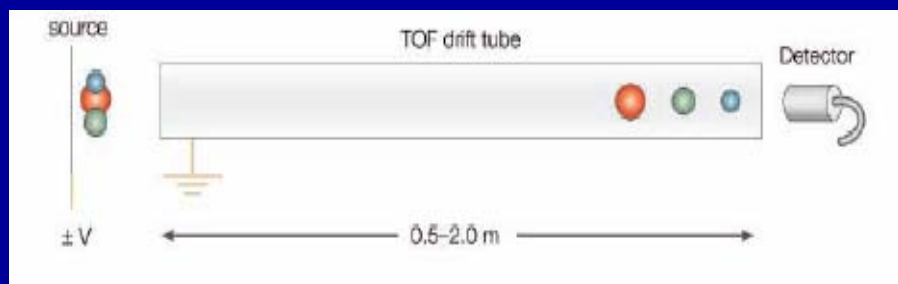
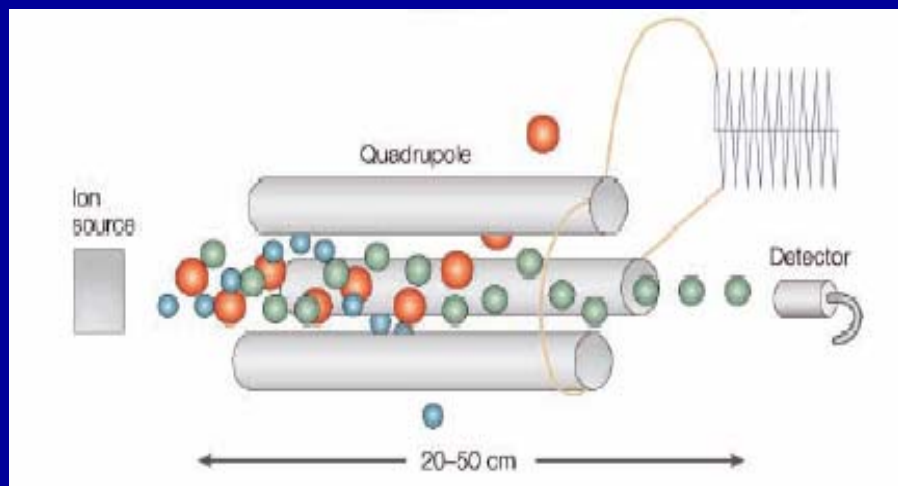
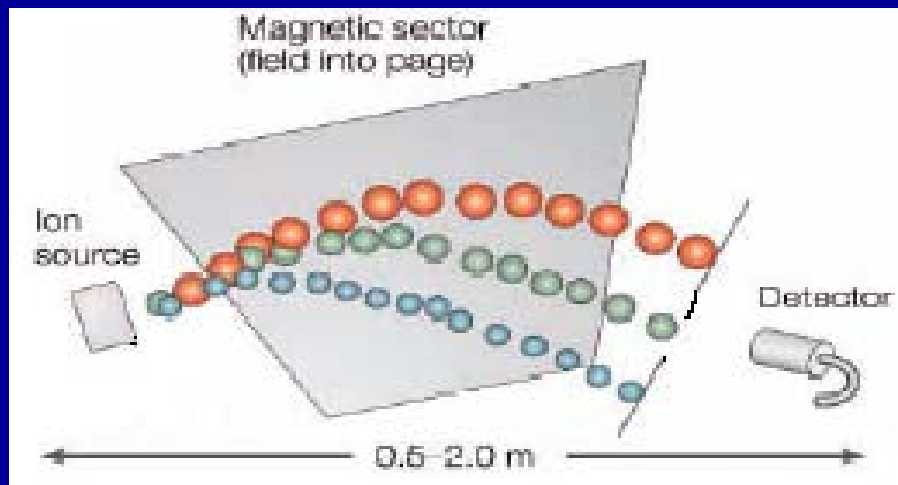
Merenjem:

- Momenta u magnetnim sektorima
- Kinetičke energije u elektrostatičkim sektorima
- Putanje stabilnosti u linearnim kvadrupolima
- Kružne frekvencije u jon ciklotronskoj rezonanciji i jonskom trapu
- Brzine u analizatorima na bazi vremena preleta (TOF)

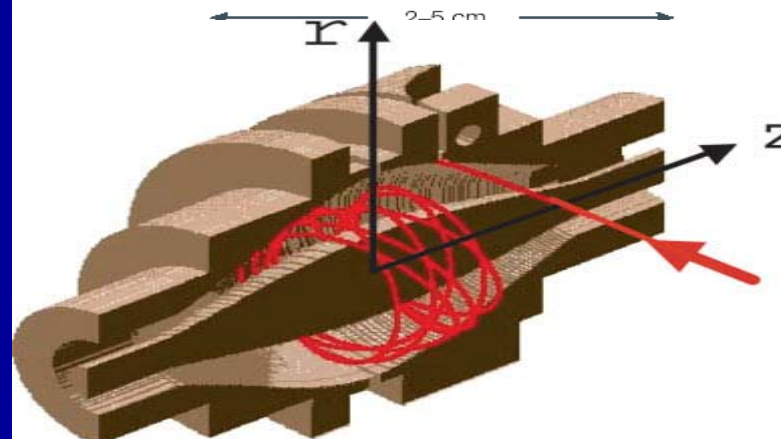
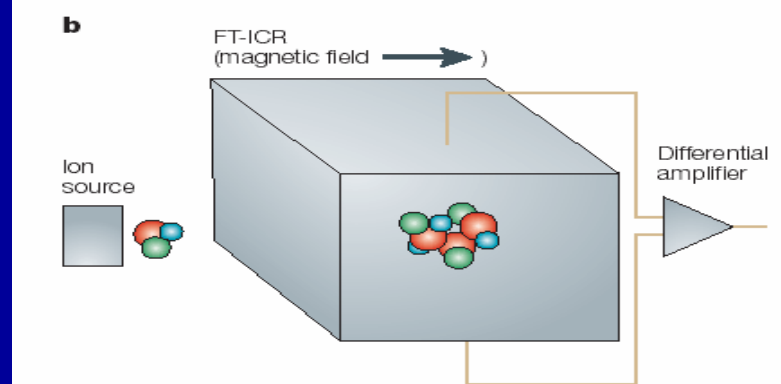
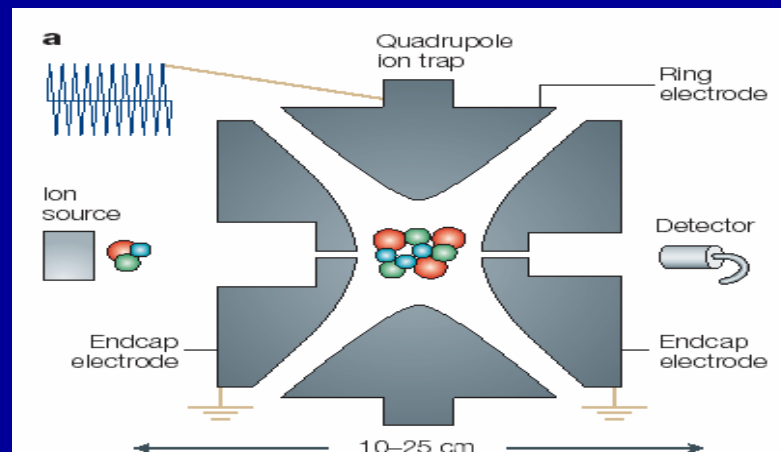
Maseni analizatori

- Magnetski sektor i dvostruko fokusirajući analizator
- Kvadrupolni analizatori
- Linearni Time-of-Flight (TOF)
- Reflektorski TOF
- **Kvadrupolni jonski trap**
- **Fourje Transform Jon Ciklotron Rezonanca (FT-ICR-MS)**
- **Orbitrap**

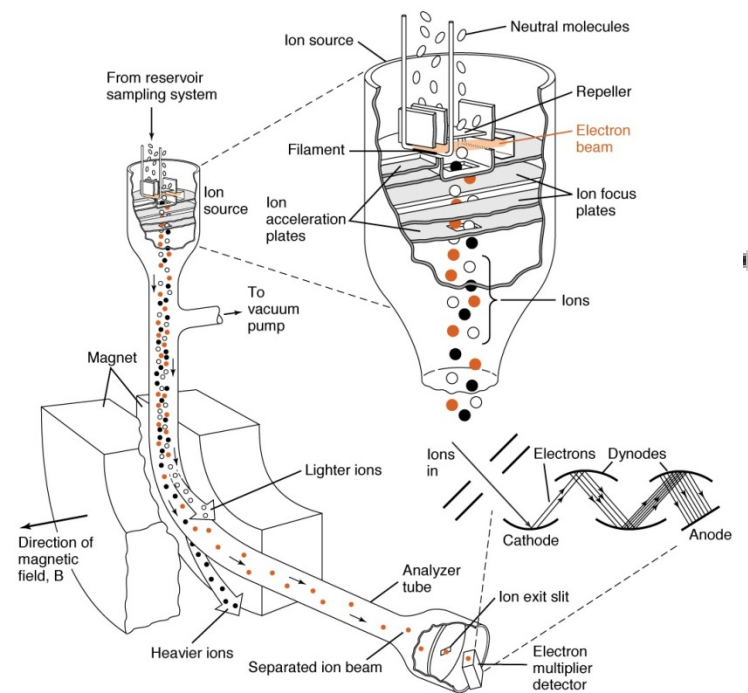
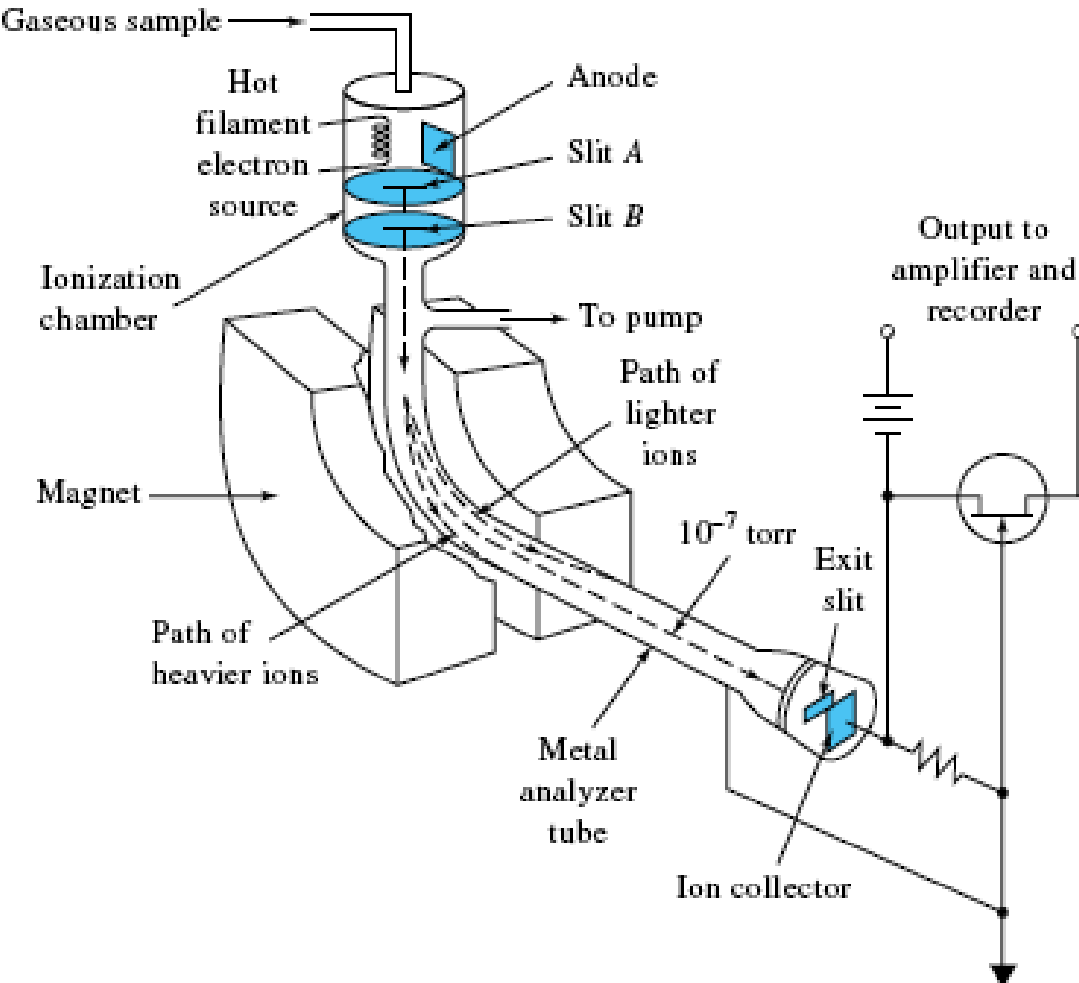
Instrumenti sa snopom



Trap instrumenti



Magnetni sektor



$$Bzev = \frac{mv^2}{r} \quad \Rightarrow \quad v = \frac{Bzer}{m}$$

$$E_k = zeV = \frac{1}{2}mv^2 = \frac{1}{2}m\left(\frac{Bzer}{m}\right)^2 \quad \Rightarrow \quad \frac{m}{z} = \frac{B^2 r^2 e}{2V}$$

Dvostruko fokusirajući analizator

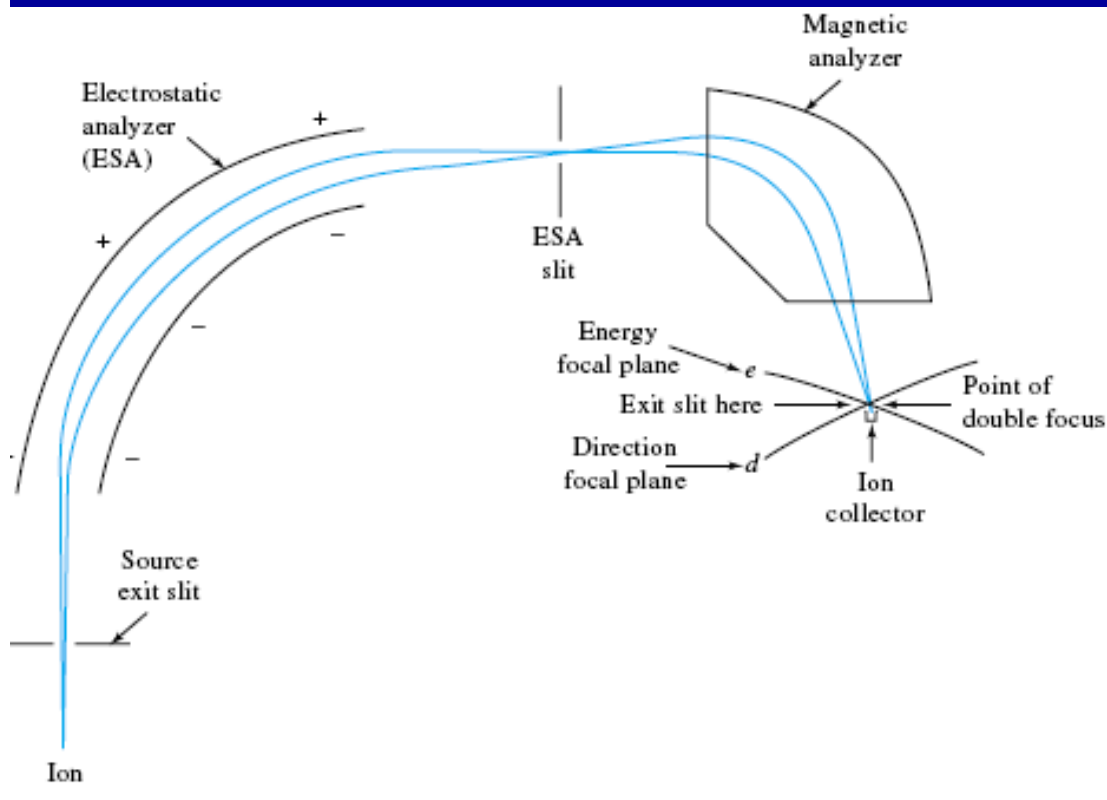
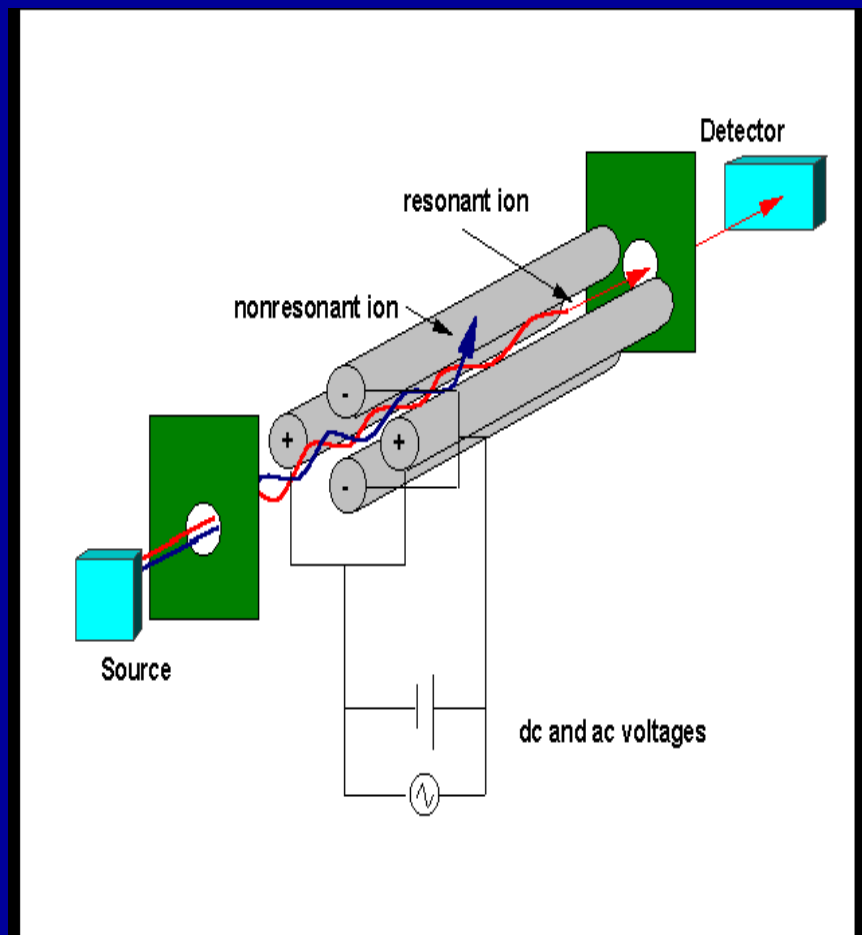


FIGURE 20-14 Nier-Johnson design of a double-focusing mass spectrometer.

- Visoka rezolucija (10^5)
- velika preciznost
- oblast masa 10000
- skup
- ne povezuje se sa ESI

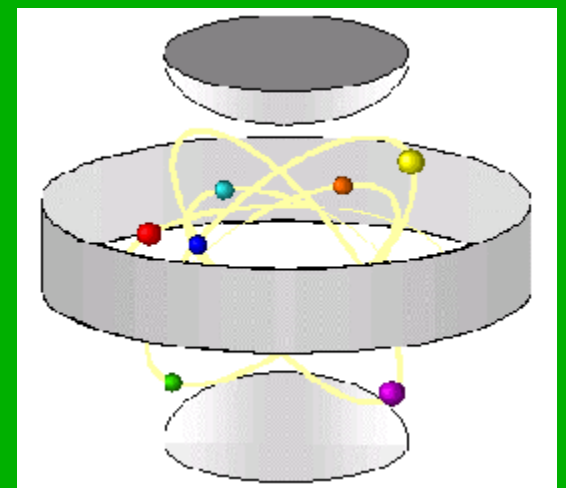
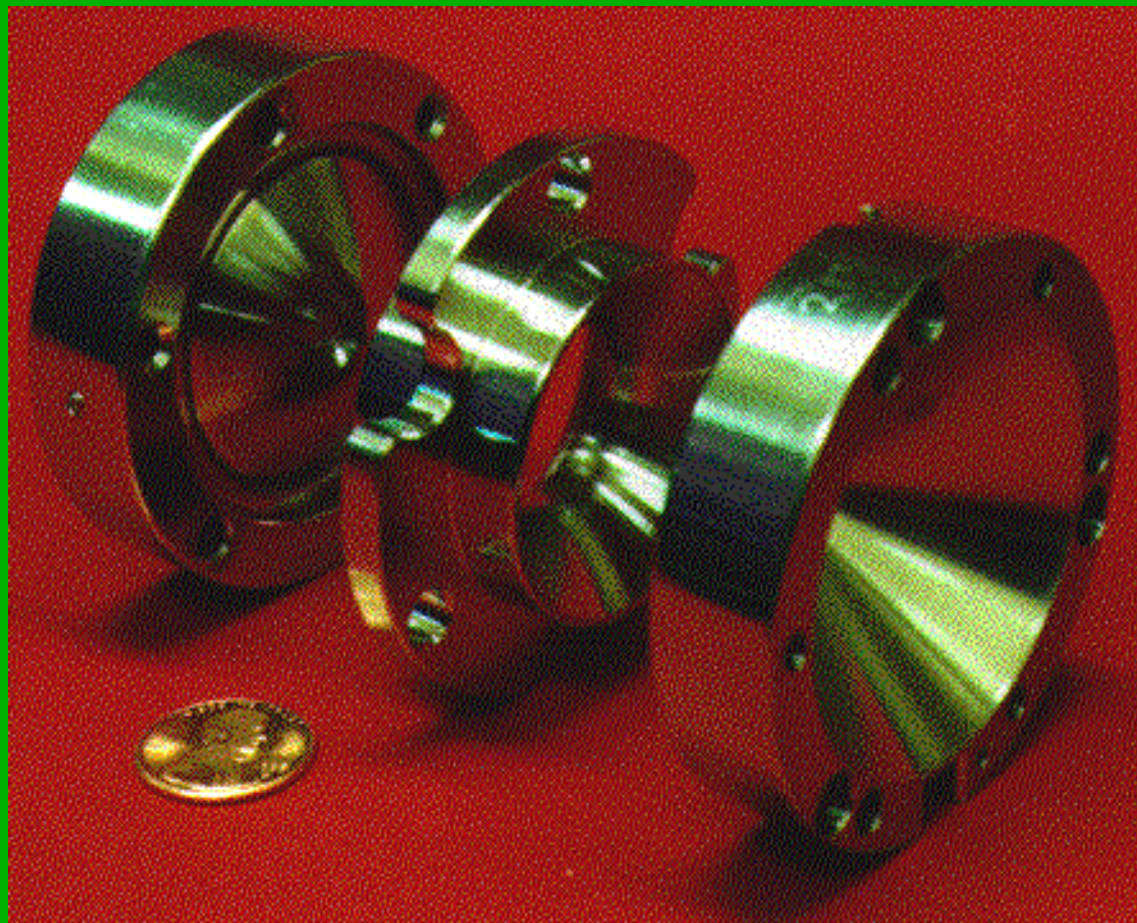
Kvadrupolni maseni analizator

- koristi se od 1950-tih
- • danas najčešće korišćen
- naziva se i "maseni filter" jer propušta samo jone jone jednog odnosa m/z
- sastoji se od 4 paralelne metalne šipke ili elektrode
- set suprotnih elektroda ima potencijal $[U+V\cos(\omega t)]$
- drugi set ima potencijal - $[U+V\cos \omega t]$
- U = DC napon (500-2000V), V =AC napon (0 do 3000V), ω = ugaona brzina naizmeničnog napona

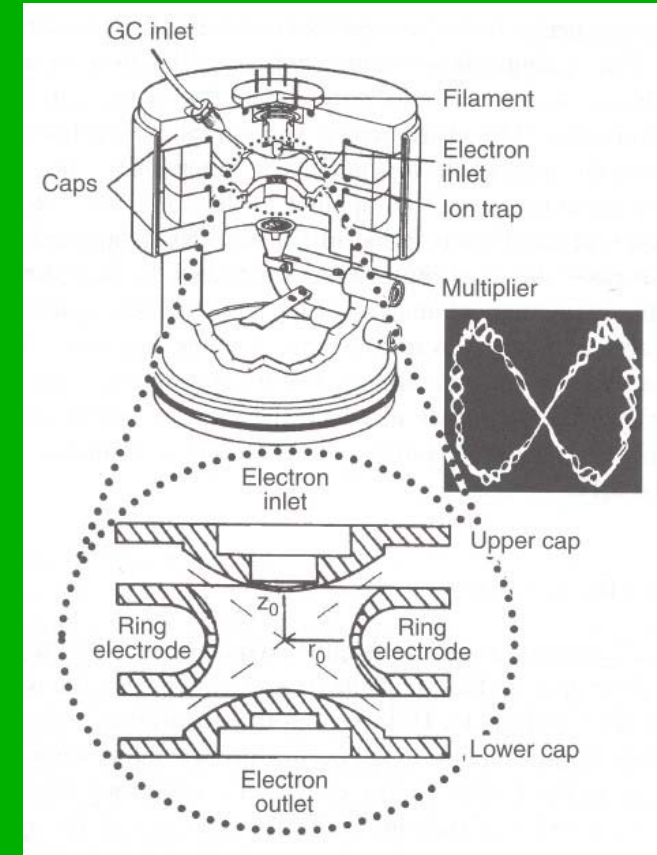
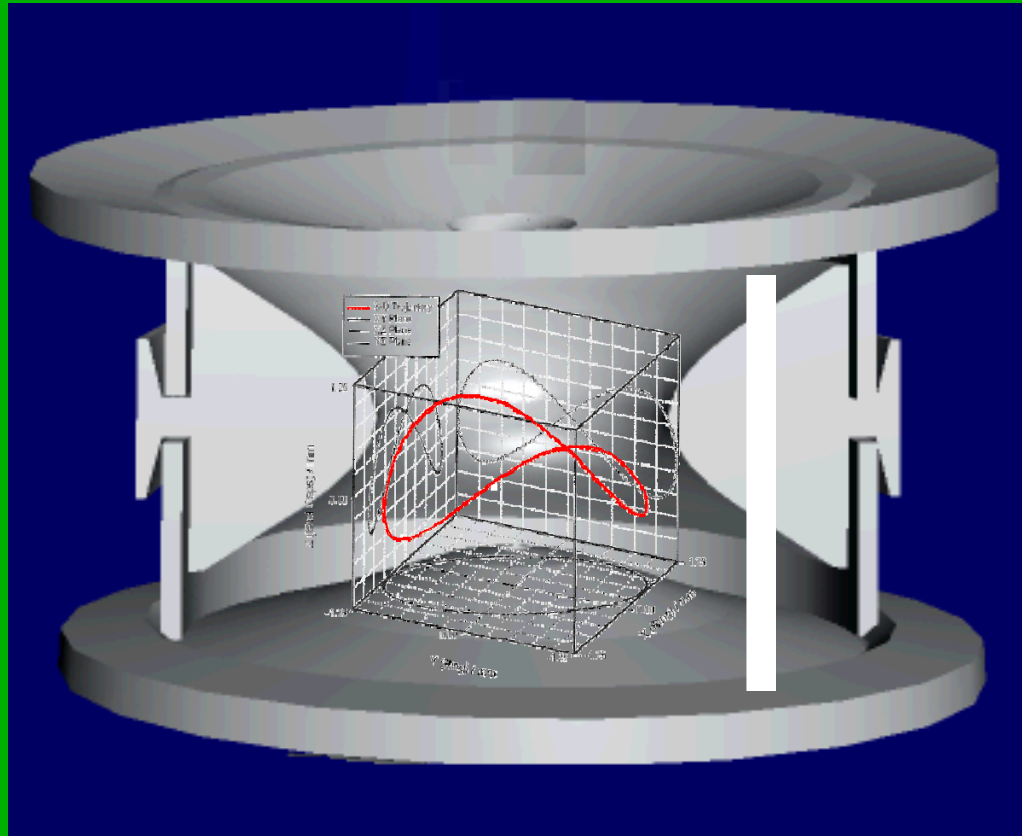


JONSKI TRAP-kvistor

- prstenasta elektroda
- dve kupaste elektrode-poklopci



Jonska putanja u trapu



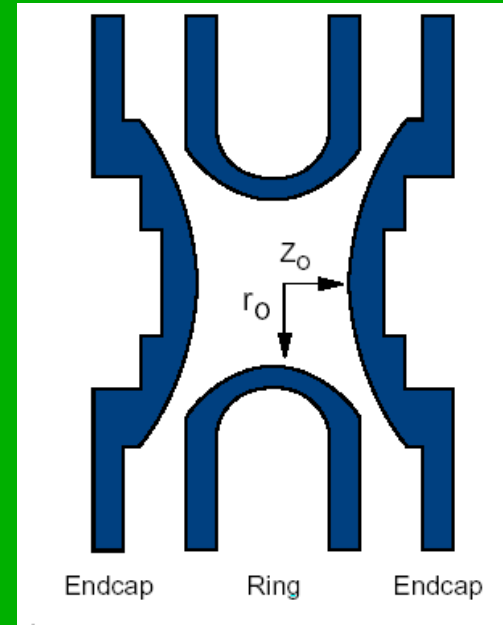
He se dodaje kao puferski
gas (10^{-3} torr)

Teorija

Kretanje jona u kvadrupolnom polju može da se opiše Metjuovom jednačinom (**Mathieu 1869**).

$$a_z = \frac{-16zeU}{m(r_0 + 2z_0)\omega^2}$$

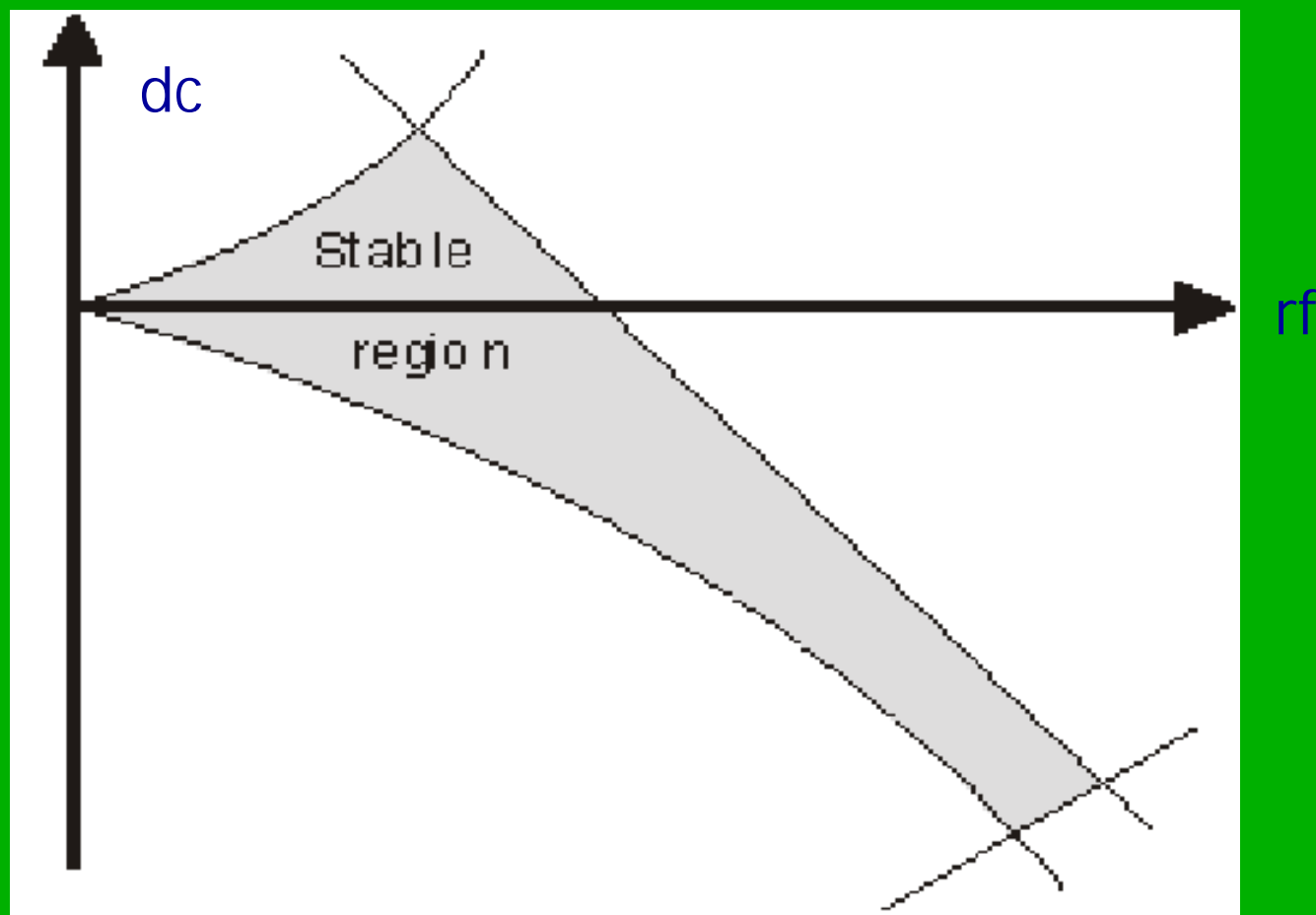
$$q_z = \frac{8zeV}{m(r_0^2 + 2z_0^2)\omega^2}$$

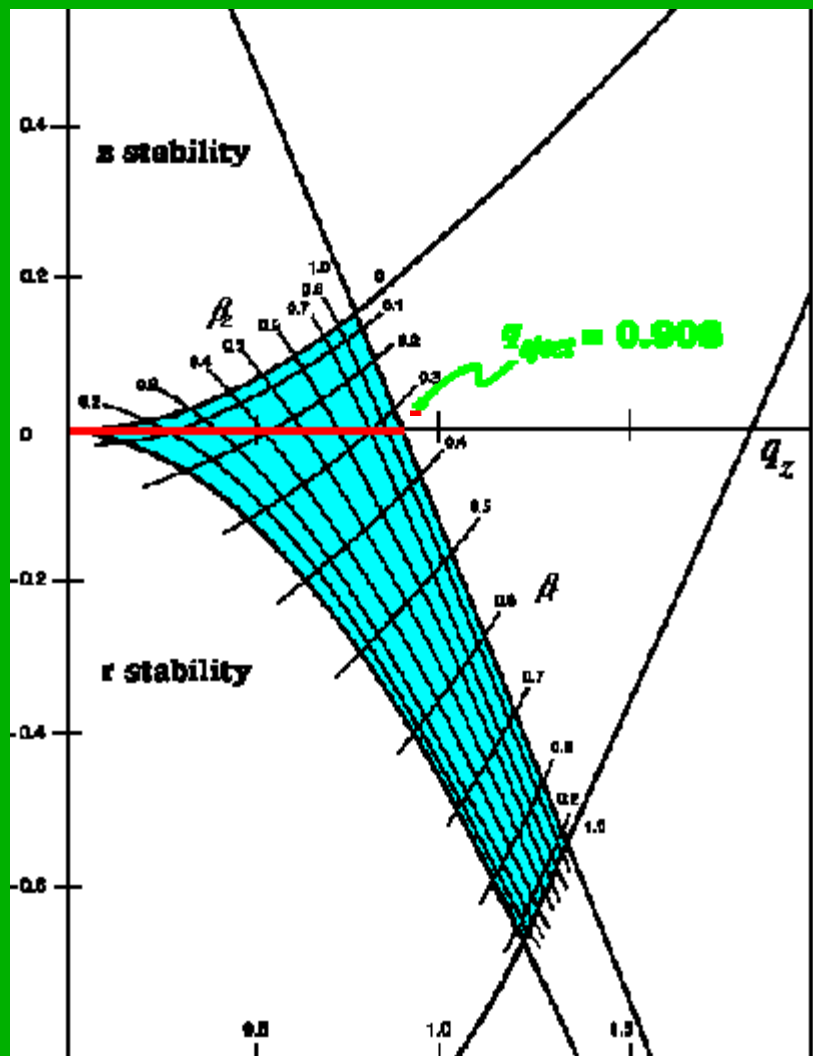


a_z i q_z – Metjuove koordinate
 U – primjenjen **dc** potencijal
 V – primjenjen **rf** potencijal
 ω – ugaona frkfenca **rf**
 r_0 i z_0 – dimenzije jonskog trapa

Dijagram stabilnosti jona

povezuje primjenjen **dc** napon (U) i primjenjen **rf** napon (V) i **rf** frekfencu (ω) sa stabilnim i nestabilnim putanjama jona





MSIS

"Mass Selective Instability Scan"

$$a_z = \frac{-16zeU}{m(r_0 + 2z_0)\omega^2} = 0$$

$$q_z = \frac{8zeV}{m(r_0^2 + 2z_0^2)\omega^2}$$

$$\frac{m}{z} = \frac{8eV}{(r_0^2 + 2z_0^2)\omega^2 q_z}$$

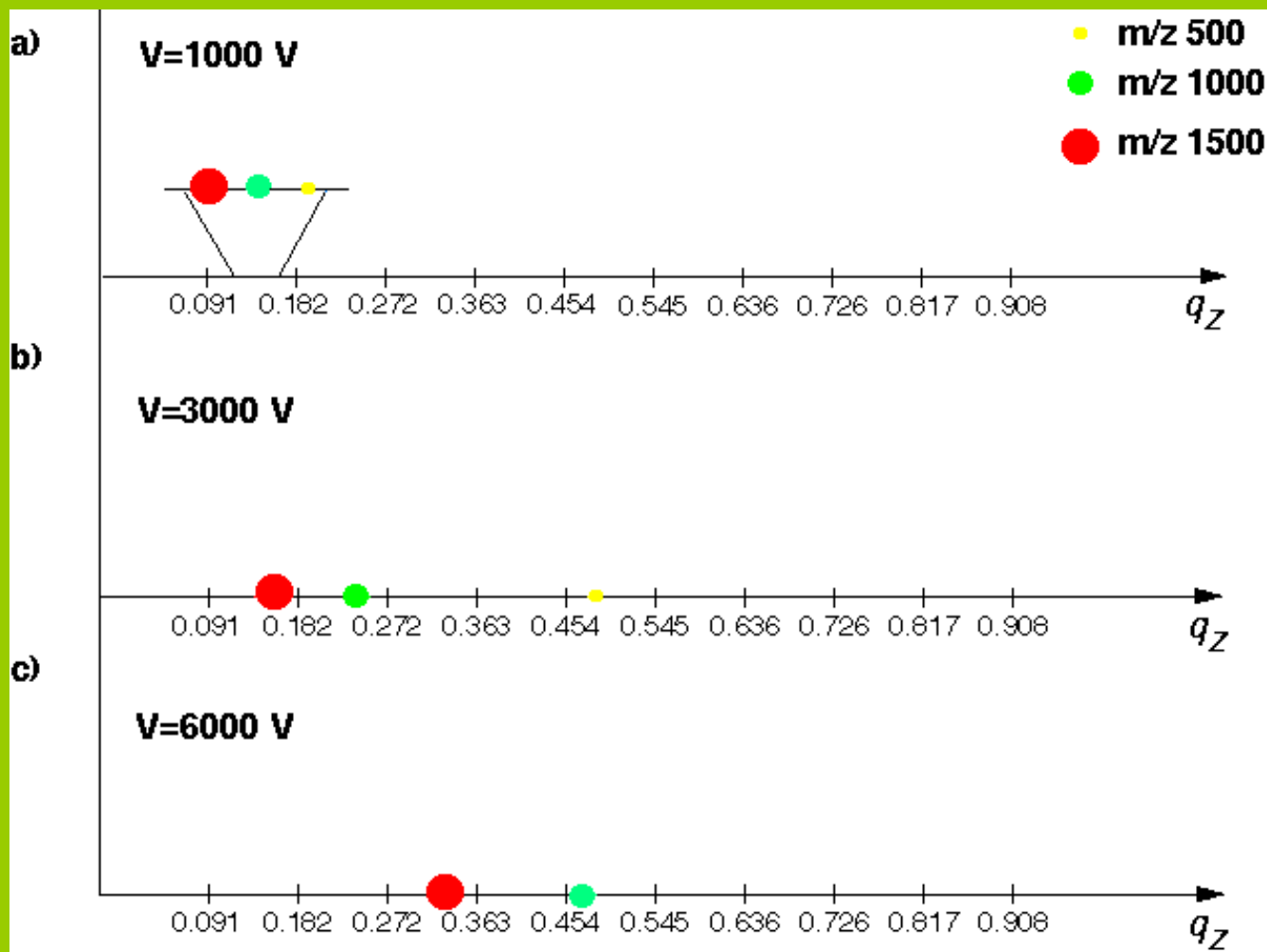
Povećanje opsega m/z

$$\frac{m}{z} = \frac{8eV}{(r_0^2 + 2z_0^2)\omega^2 q_z}$$

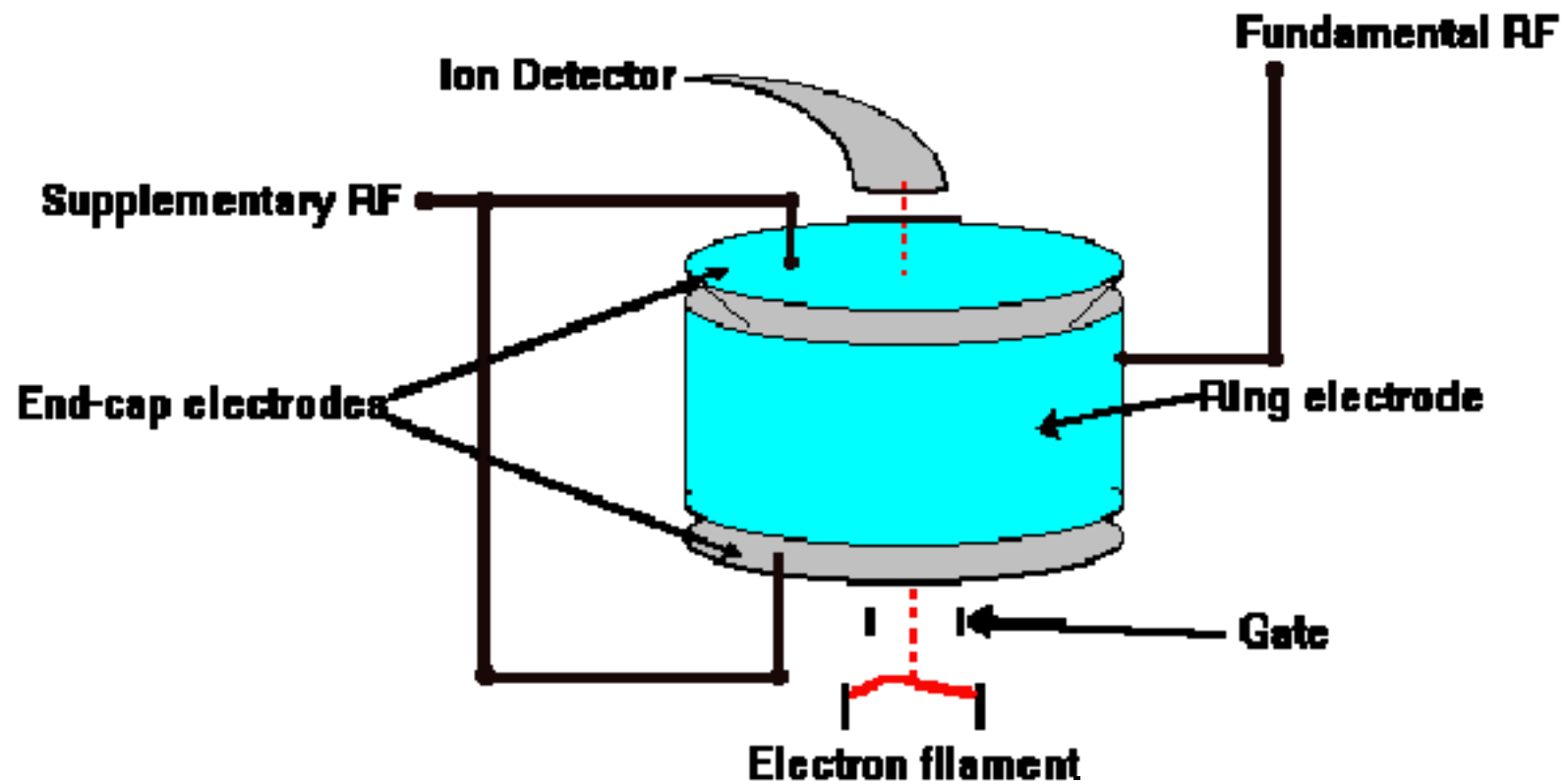
- Rad na višem *rf* naponu ($V_{max}=15$ keV)
- Primena niže ω ($\omega=1.1$ MHz)
- Korišćenje manjih trapova ($r_0=1$ cm)
- Nestabilnost jona na nižim q_z ($q_z=0.908$)

Za $r_0=7$ mm, $\omega=600$ kHz, $V_{max}=8000$ V $m/z=3269$ Th.

Pozicija tri jona sa različitim m/z na $a_z = 0$.
Uticaj promene amplitude rf signala

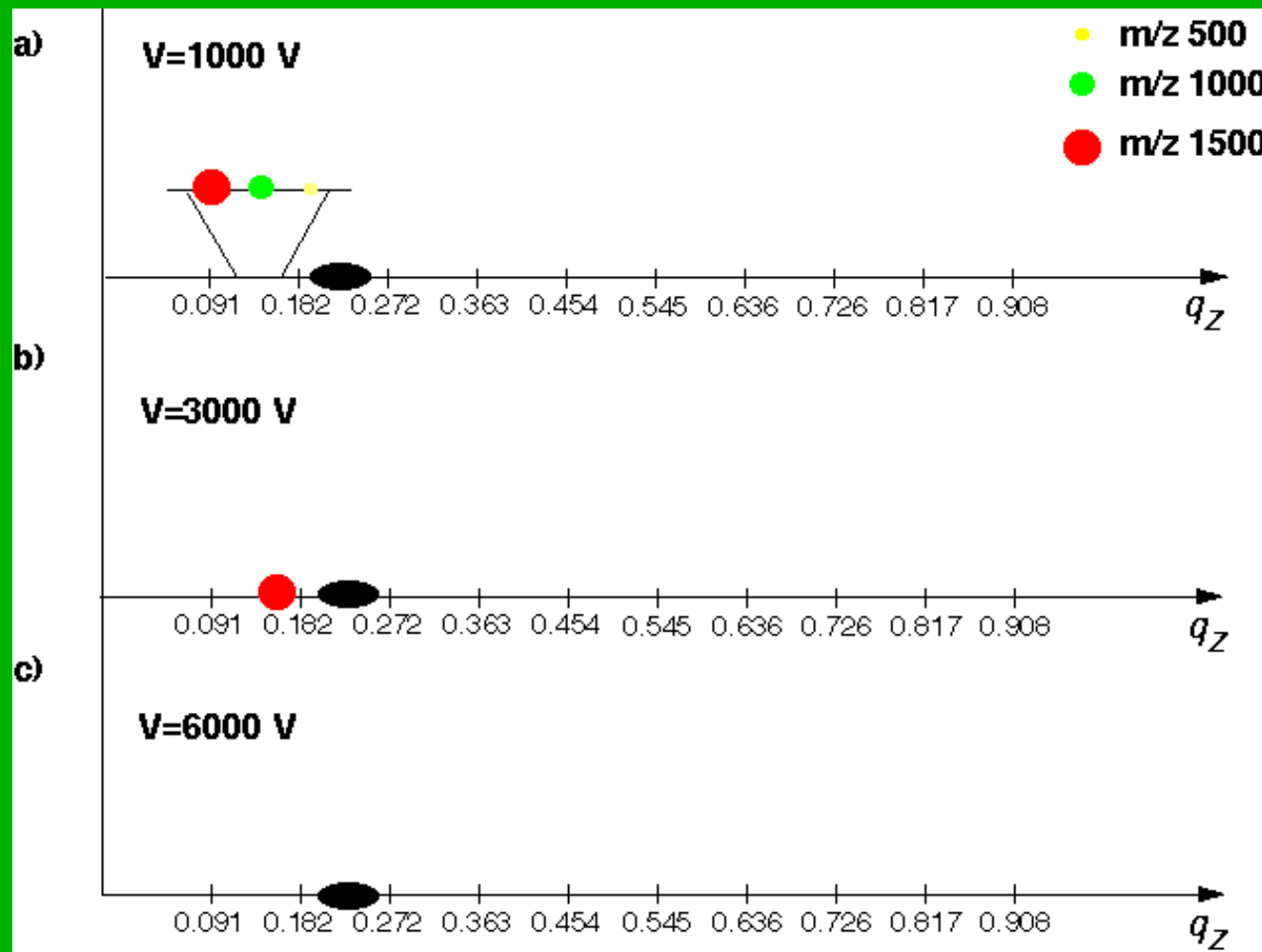


Jonski trap-kvistor



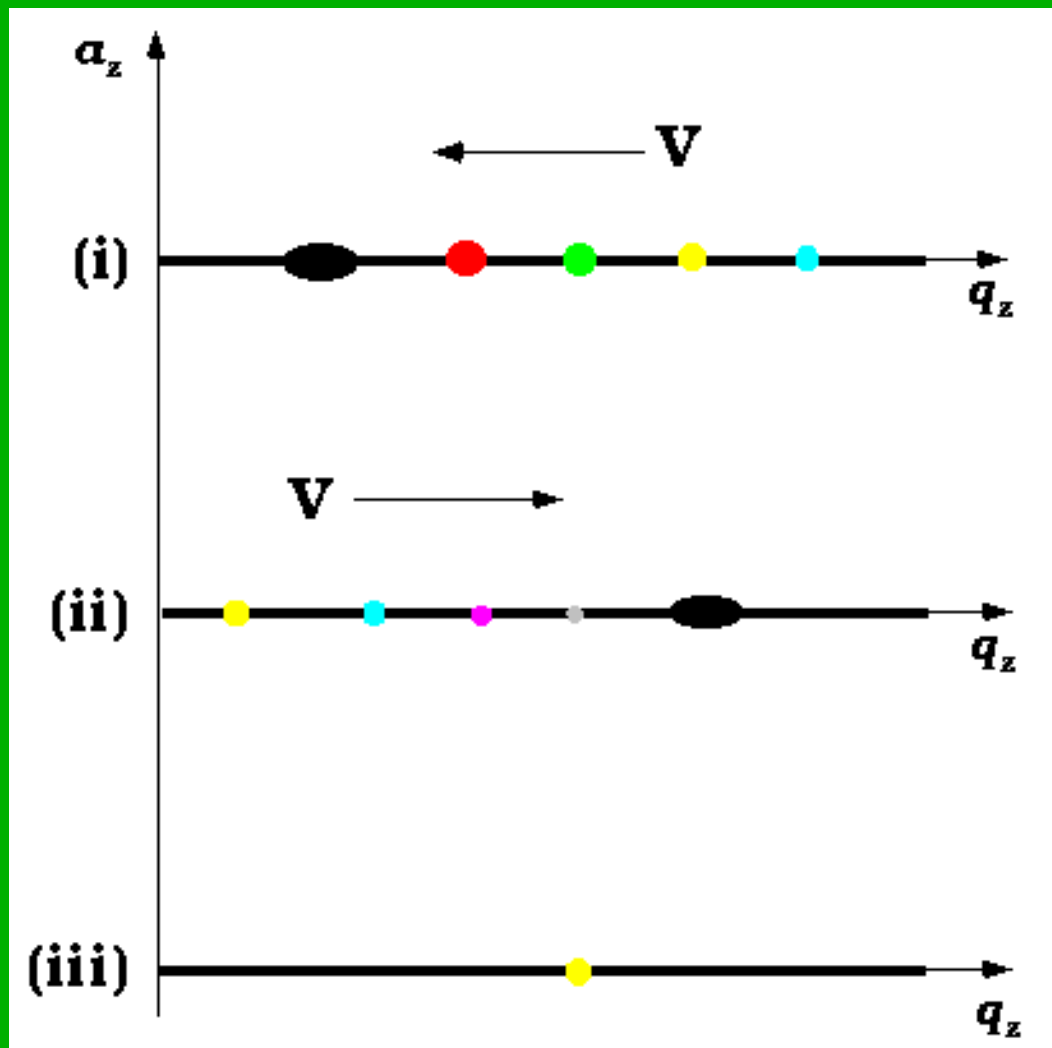
Rezonantno izbacivanje jona “Resonant ejection”

Formira se područje nestabilnosti jona ($q_Z = 0.227$) što omogućava izbacivanje jona pri nižem naponu (opseg masa $4X$ veći)

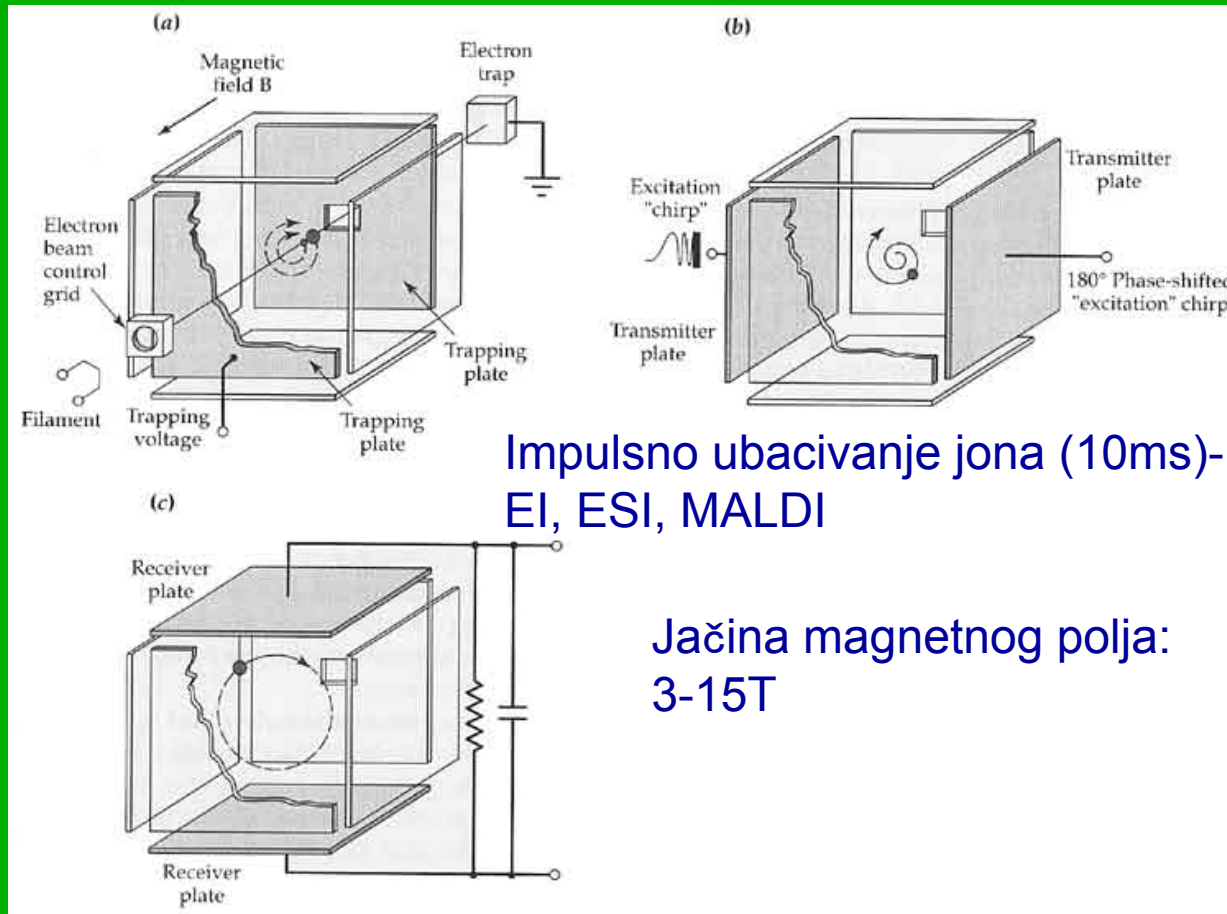


Čuvanje odabralih jona

- (i) Smanjenjem napona izbacuju se joni visoke m/z .
- (ii) Povećanjem napona izbacuju se joni niske mase m/z .
- (iii) Rezultat je izolacija jona određene mase m/z .



FT-jon rezonantna ciklotronska masena spektrometrija FT-ICR-MS

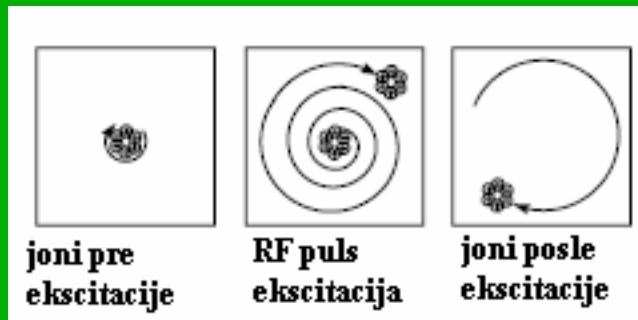


Dve bočne ploče služe za pobuđivanje, dve za zarobljavanje jona i treći par za prikupljanje i detekciju jona.

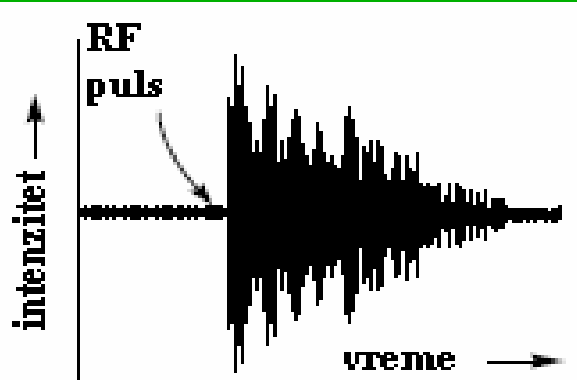
Bez spoljašnjeg električnog polja, joni male energije putuju malim kružnim putanjama (oko 0,1 mm dijametra) zbog sila magnetskog polja (3-15 T).

$$\omega = \frac{v}{r} = \frac{zB}{m}$$

Kada se primeni odgovarajući napon na elektrode za pobuđivanje (ploče sa strane), joni će se naći pod dejstvom oscilujućeg, prostorno usaglašenog (koherentnog) električnog polja.



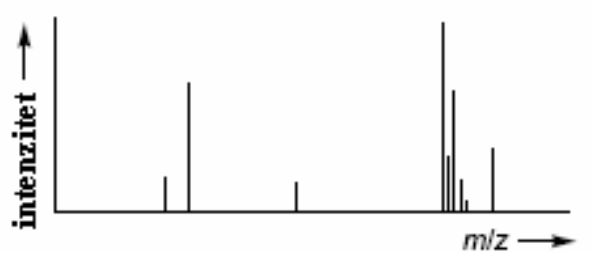
10^{-5}Pa



Umesto ekscitacije impulsom jedne frekvencije, primenjuje se brzo skanirajući impuls (1 do 2 ms) frekvencija, ekscitujući sve jone koji imaju ciklotronske frekvencije u oblasti skanirajućih frekvencija na istoj putanji.

$$r = \frac{V_o T_{exc}}{B_o}$$

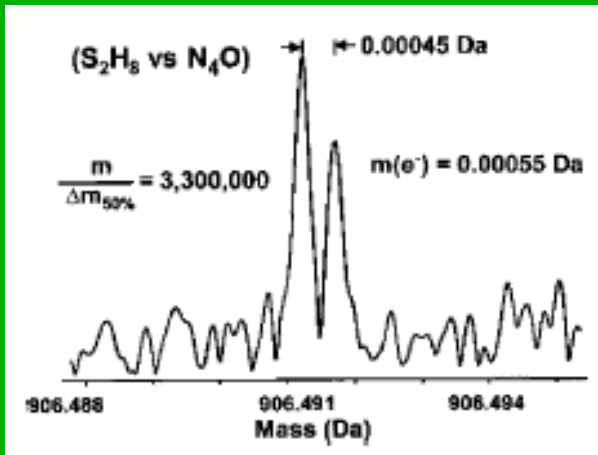
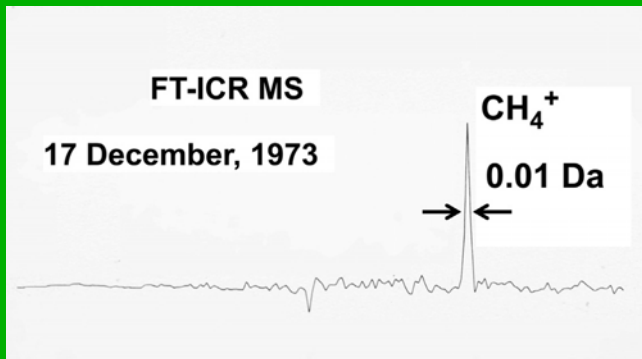
↓
Furijeova transformacija



Ukupni signal koji izlazi iz ćelije je superpozicija ciklotronskih frekvencija svih jona.

Primenom Furijeove transformacije na složeni signal se dobijaju frekvencije koje odgovaraju ukupnom signalu, a odatle i maseni spektar.

FT-ICR-MS-ogromna rezolucija



Razdvajanje peptida
nom.
mase 906, razlika od
0,00045 Da

Anal. Chem. 73(2001)647

Prednost

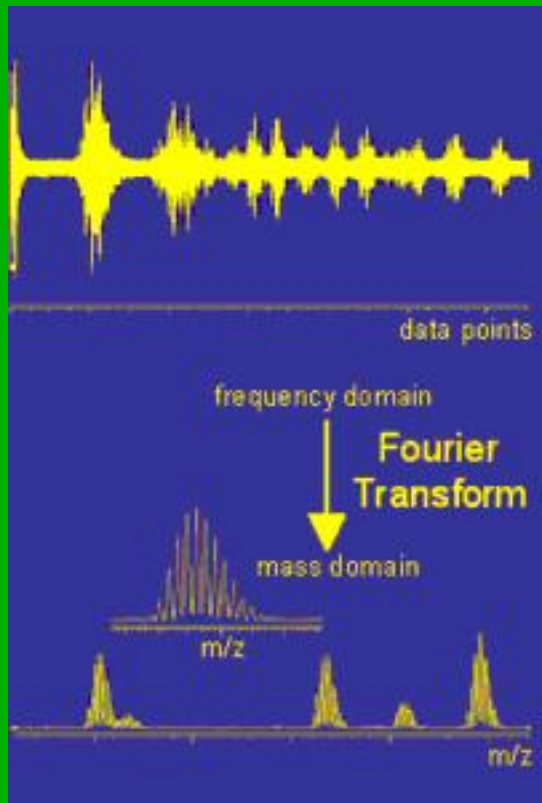
- Ekstremno visoka rezolucija
- Veoma dobra osetljivost (<1 ppm)
- MS/MS

Nedostaci

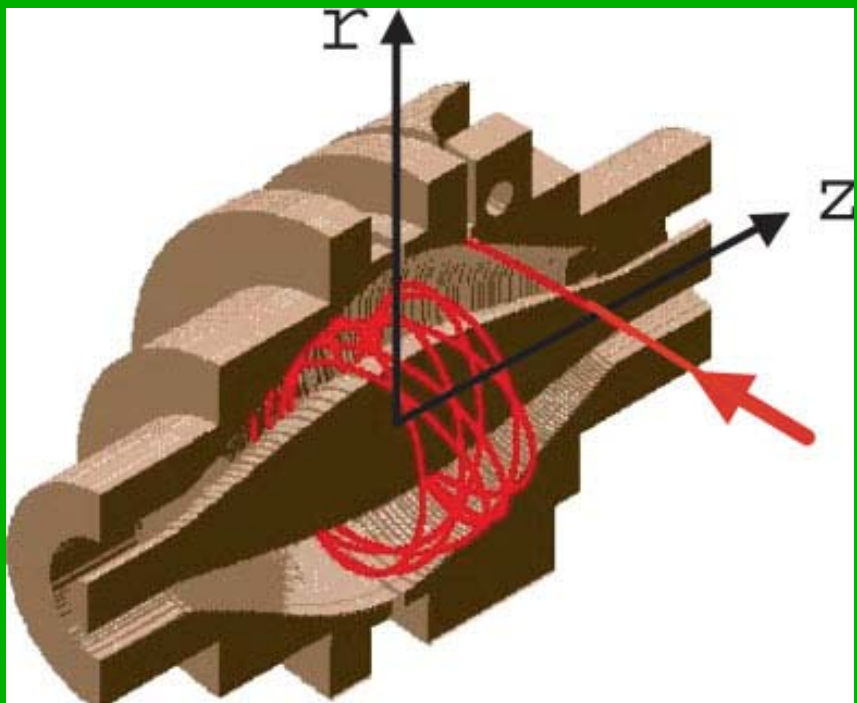
- Skupa
- Potrebni superprovodni magneti
- Spora MS/MS

International Journal of Mass Spectrometry 377 (2015) 410–420
(40 godina FTICR-MS)

FT-jon ciklotron analizator



Orbitrap maseni analizator



Kingdon 1923
Makarov 1999

Aksijalno simetrične elektrode orbitrapa formiraju kombinovani kvadro-logaritamski elektrostatički potencijal:

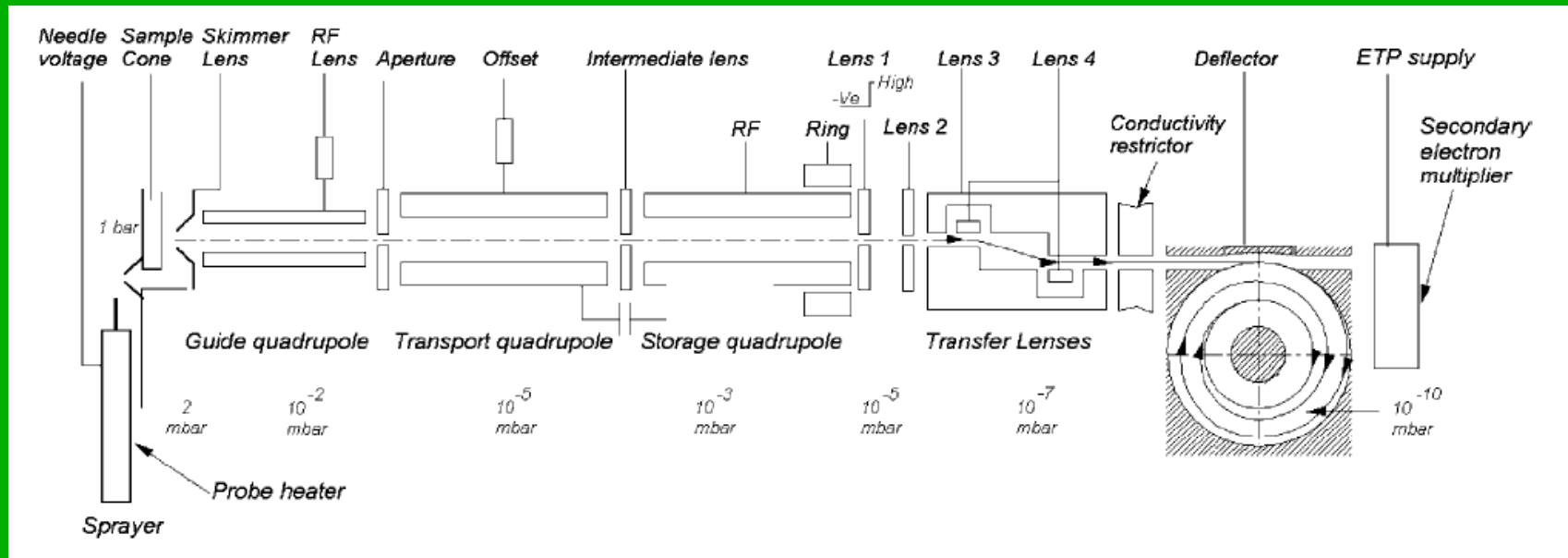
$$U(r, z) = \frac{k}{2} \left\{ z^2 - \frac{r^2}{2} + R_m^2 \ln\left(\frac{r}{R_m}\right) \right\} + C$$

Stabilne trajektorije jona uključuju i orbitalno kretanje oko centralne elektrode (r , φ -kretanje) i *simultane* oscilacije u z -pravcu.

Kretanje jona duž z -ose može da se opiše harmonijskim oscilacijama i potpuno je nezavisno od r i φ . Odnos m/z zavisi samo od frekvencije oscilacija jona duž z ose.

$$\omega = \sqrt{\frac{k}{m/z}}$$

Primenom Furijeove transformacije iz individualnih frekvencija jona se dobijaju njihovi m/z odnosi.



Masena rezolucija 150 000
 Visoka masena tačnost (2-5ppm)
 Povećan kapacitet jona većih masa
 Odnos m/z bar 6000
 Dinamička oblast veća od 10³
 Relativno mala cena

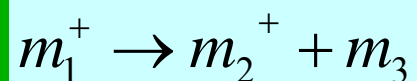
Detektori jona u MS

- Faradejev kavez
- Elektronski multiplikatori
- Mikrokanalske ploče
- Scintilacioni brojači
- Visoko pojačanje
- Brz odgovor
- Nizak šum
- Visoka efikasnost prikupljanja
- Niska cena
- Mala širina signala (odgovora)
- Isti odgovori za sve mase
- Velika dinamička oblast
- Duga stabilnost i vek trajanja
- Mogućnost smeštanja van vakuma

Tandem Masena Spektrometrija (MS/MS ili MSⁿ)

- Meke ionizacione metode kao npr. ESI ili HI daju samo roditeljske jone iz kojih se ne mogu dobiti strukturne informacije
- Tvrde metode daju mnoge fragmente ali obično nema roditeljskog jona
- Potrebno je izolovati i roditeljski jon i fragmente

Metastabilni joni

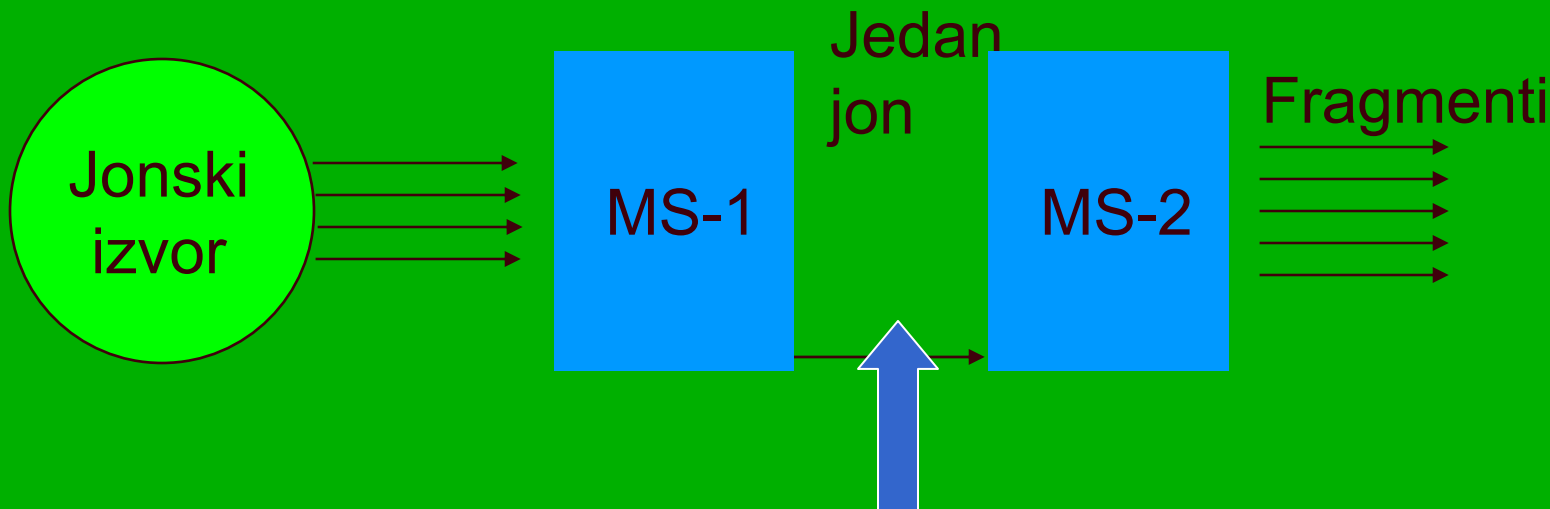


$$\text{metastabilna fragmentacija : } m^* = \frac{m_2^2}{m_1}$$

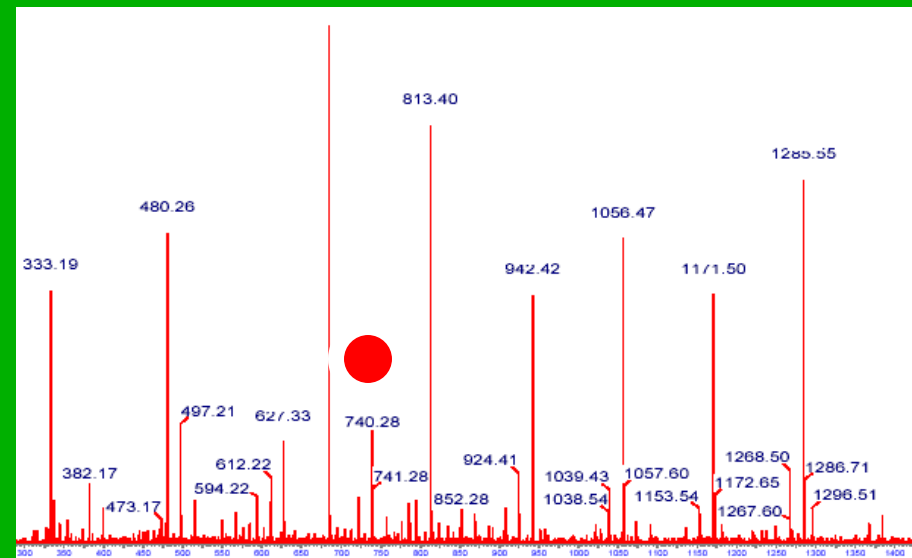
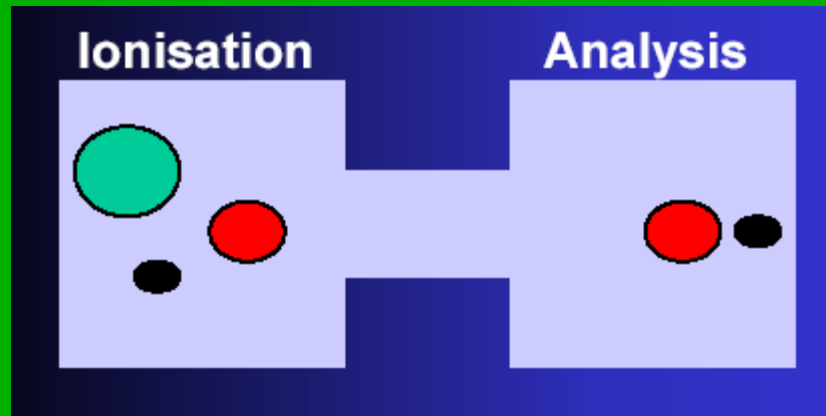
Šta je MS/MS-tandem maseni spektrometar?

MS/MS znači korišćenje dva masena analizatora (kombinovana u jednom instrumentu) da bi se izdvojio jedan analit (jon) iz smeše, onda se stvaraju fragmenti odakle se dobijaju informacije o strukturi.

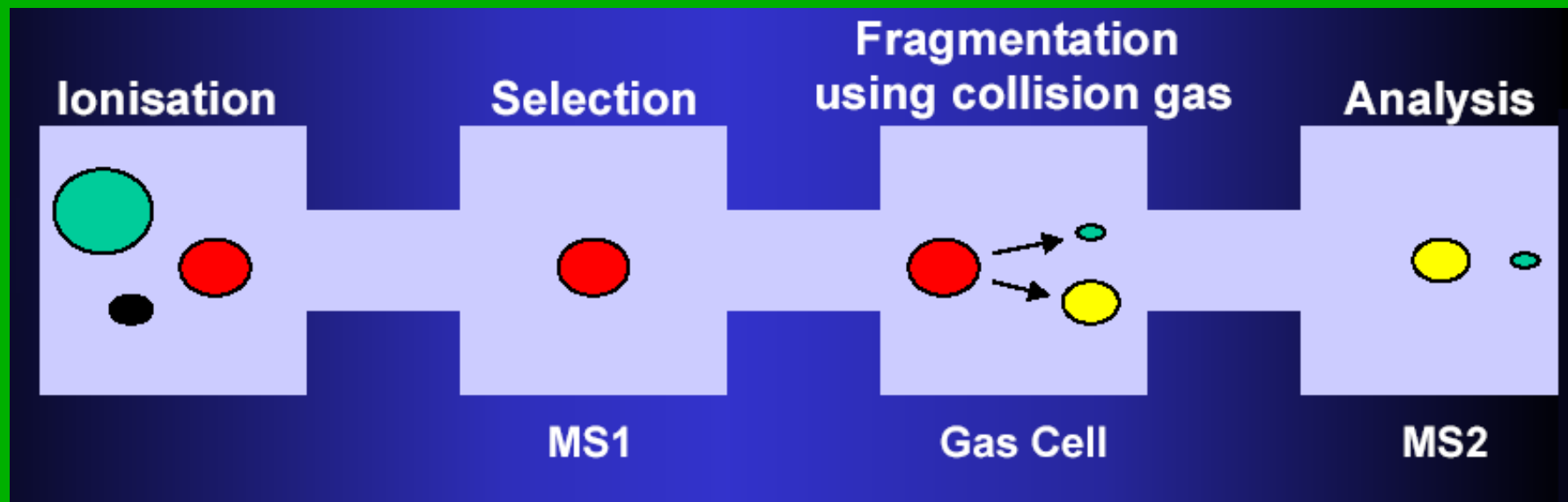
Smeša jona



MS

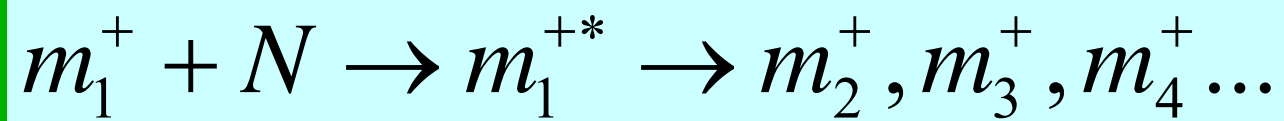
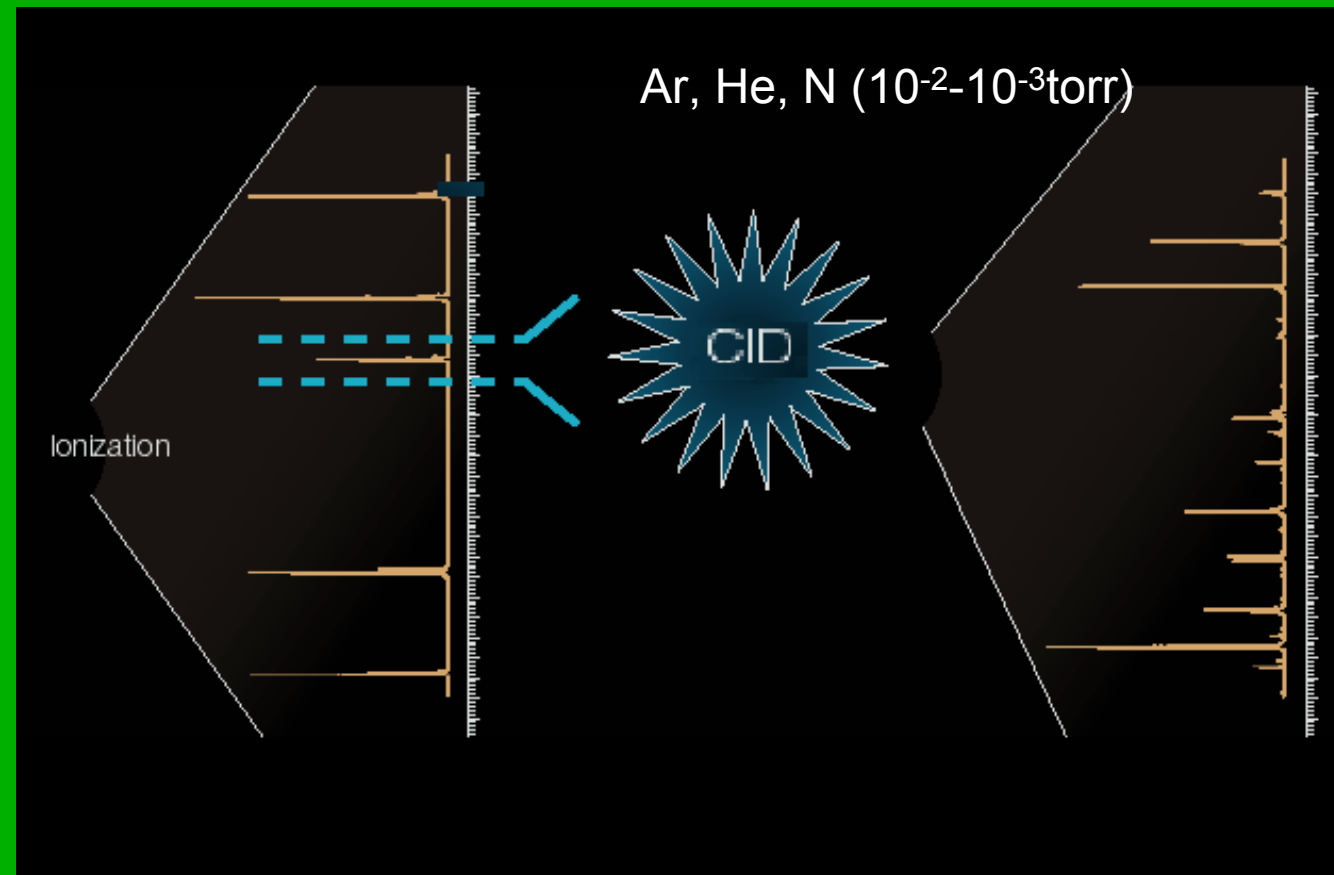


MS/MS



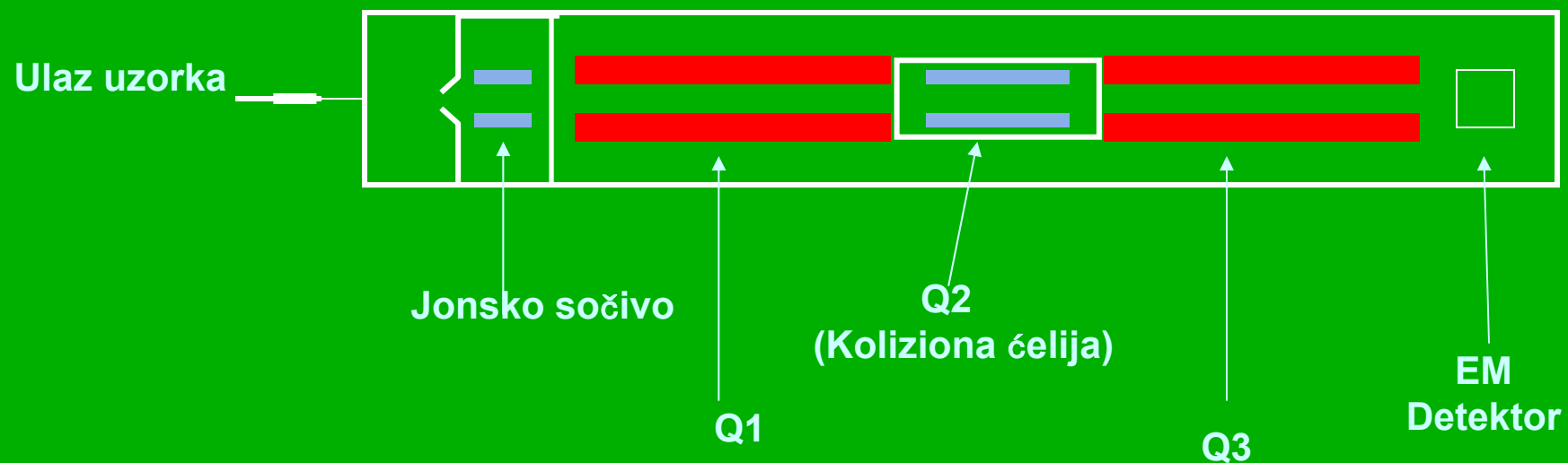
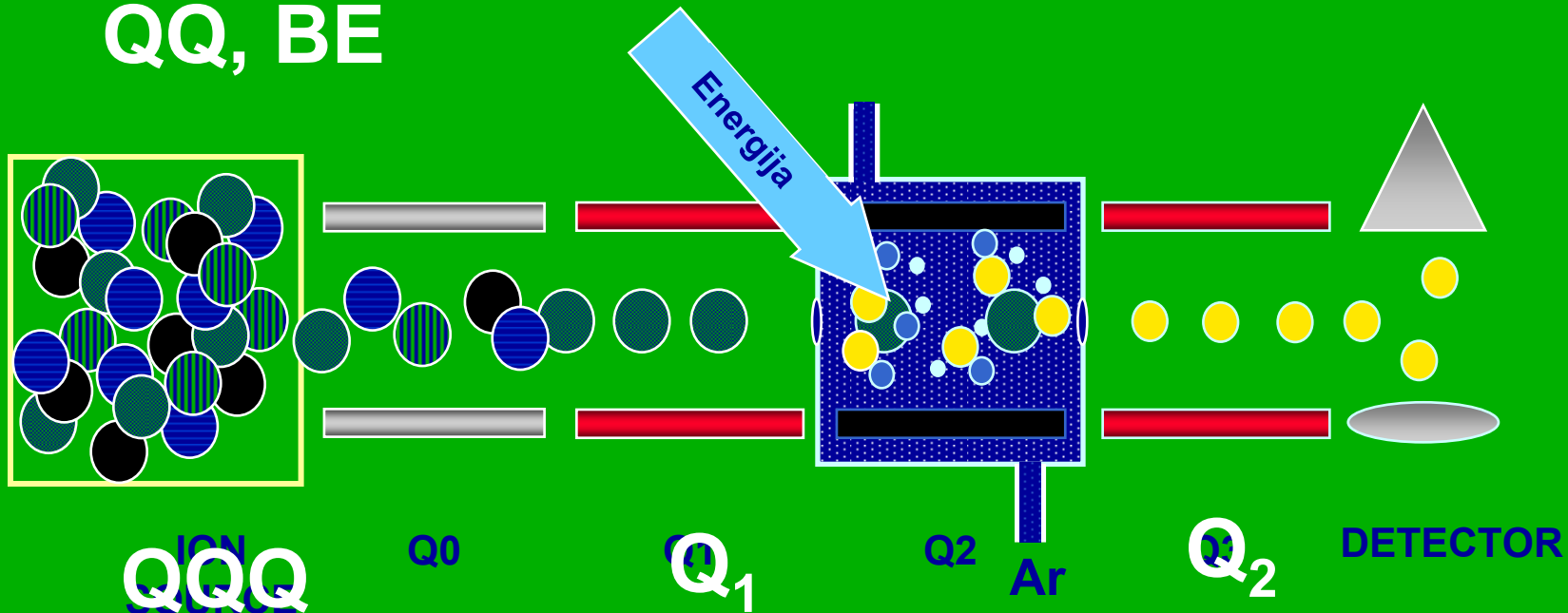
MS/MS-CID

(Collision Induced Dissociation)

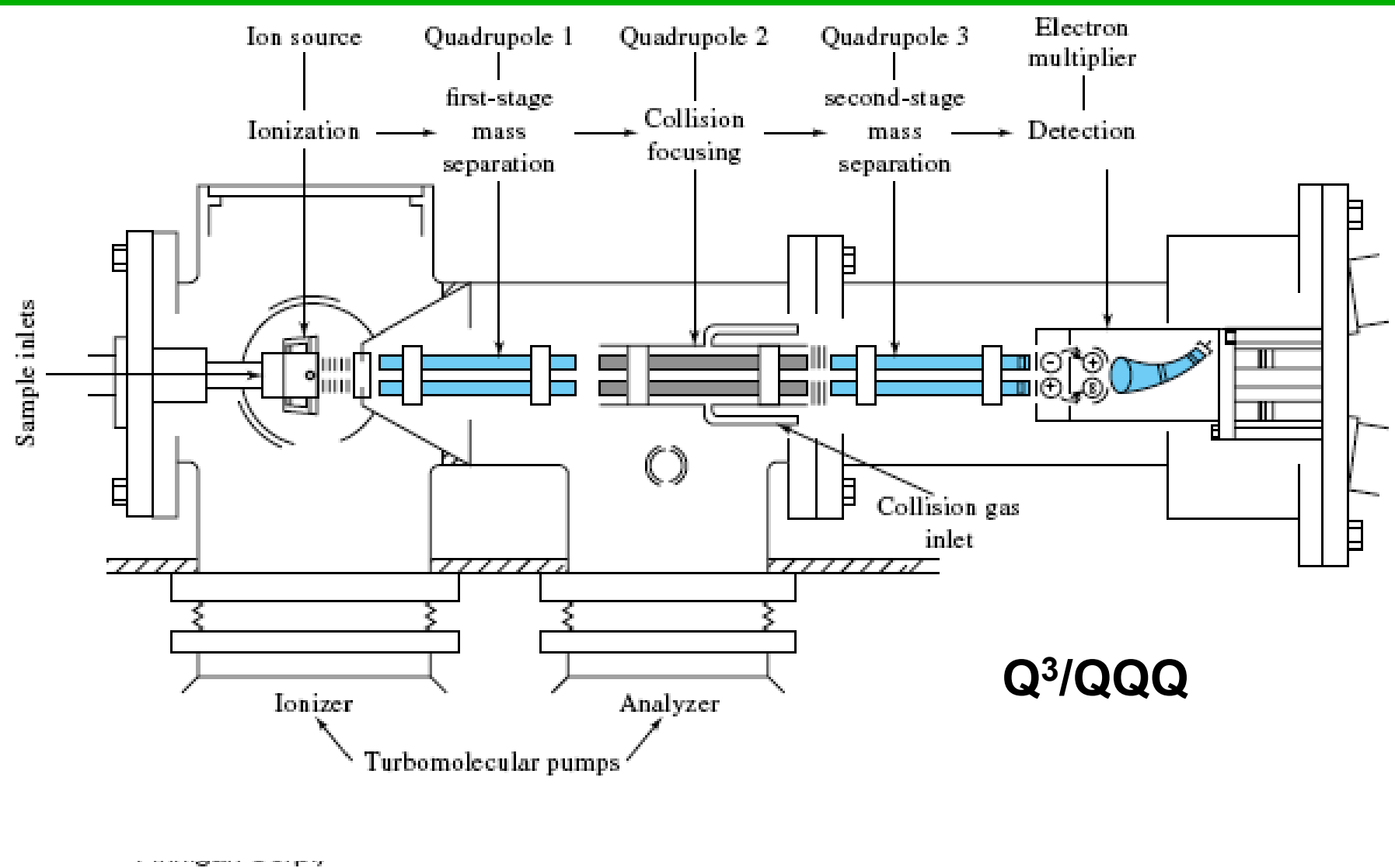


KVADRUPOLNI MS/MS (u prostoru):

QQ, BE

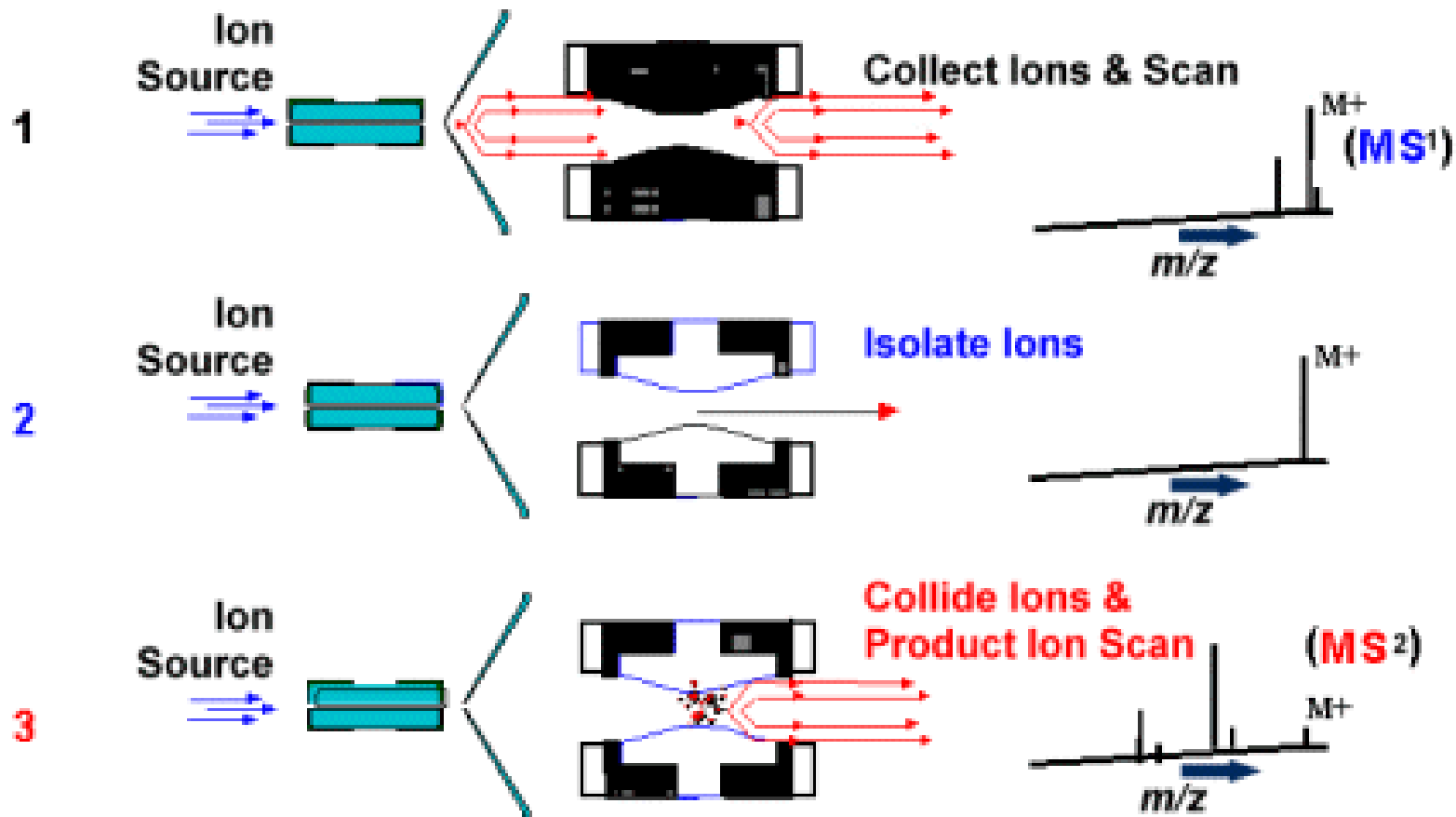


Tandem MS/MS u prostoru najčešće koriste magnetne(B), elektrostatičke(E) ili kvadrupolne (Q) analizatore



Tandem MS/MS u vremenu

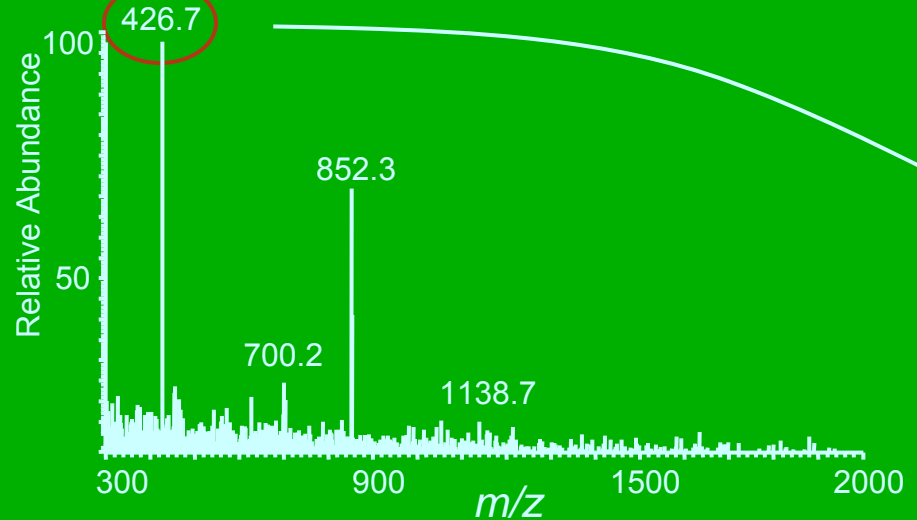
Ion Trap MS



do MS^{10}

Tandem Masena spektrometrija sa jonskim trapom

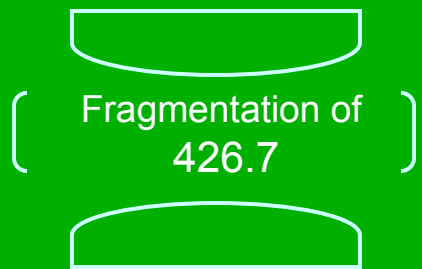
1) Meri se čitav spektar



2) Izoluje se roditeljski ion:
tj., prekursor $m/z 426.7 \pm 1.5$

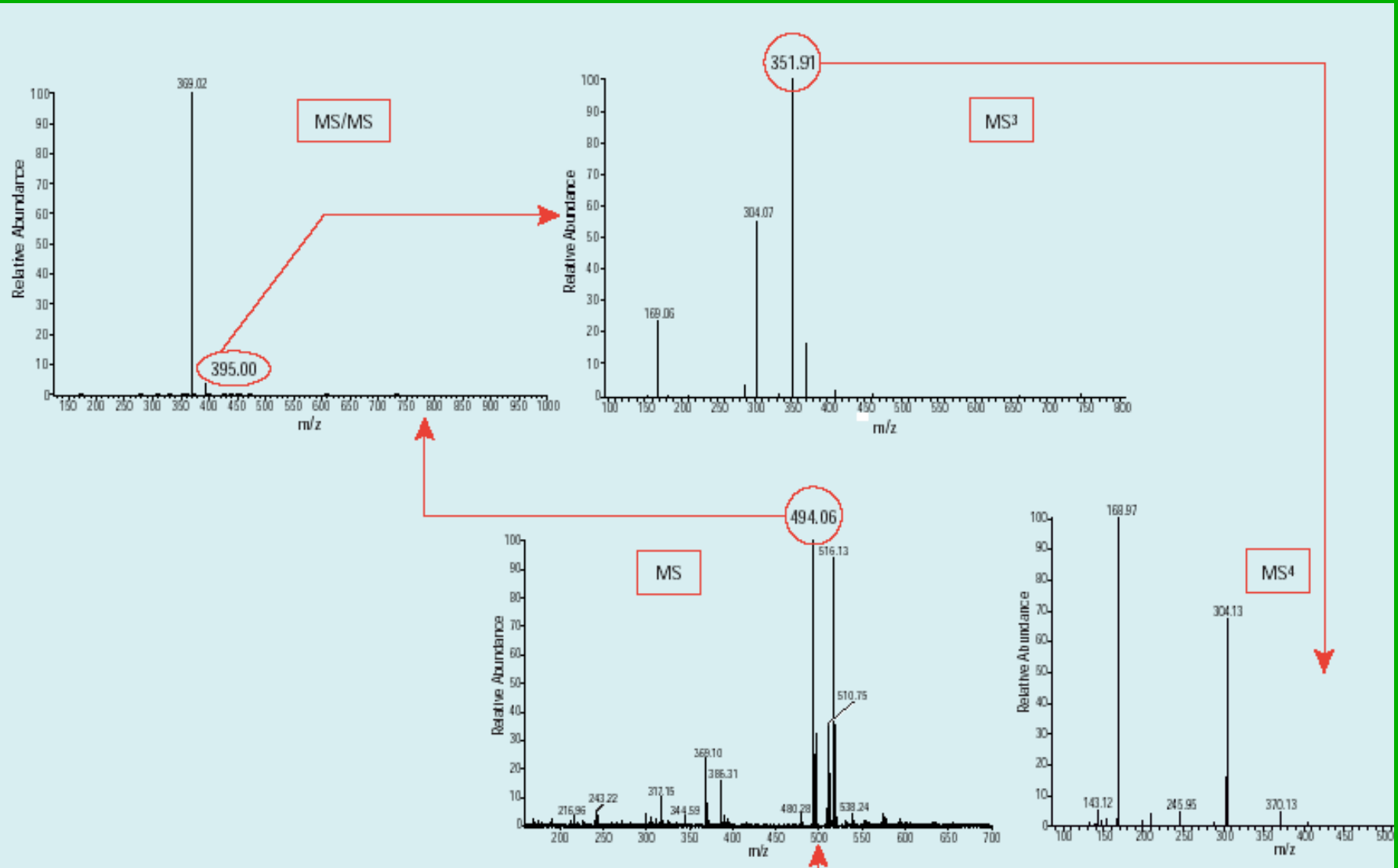


3) Dodaje mu se energija u sudarima



4) Meri se m/z of fragmentnih jona
[za peptide SLNVALR]

SLNVAL	R
SLNVA	LR
SLNV	ALR
SLN	VALR
SL	NVALR
S	LNVALR



Načini aktivacije jona

- **Disocijacija izazvana sudarima (CID/CAD)**
- Disocijacija izazvana sudarima sa površinom (SID)
- Disocijacija izazvana zahvatom elektrona (ECD, $<0,2\text{eV}$)
- Infracrvena multifotonska disocijacija (IRMPD)
- Disocijacija izazvana IR zračenjem crnog tela (BIRD)
- Disocijacija prenosom elektrona (ETD)

MS 1

COLLISION
CELL

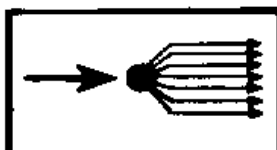
MS 2

PRODUCT ION SCAN

1



SELECTED
 m/z



CID



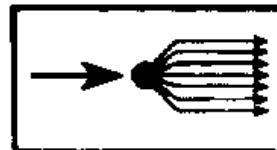
SCANNED

PRECURSOR ION SCAN

2



SCANNED



CID



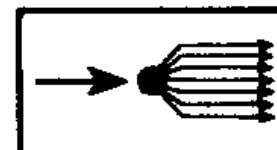
SELECTED
 m/z

NEUTRAL LOSS SCAN

3



SCANNED
 $m/z = x$



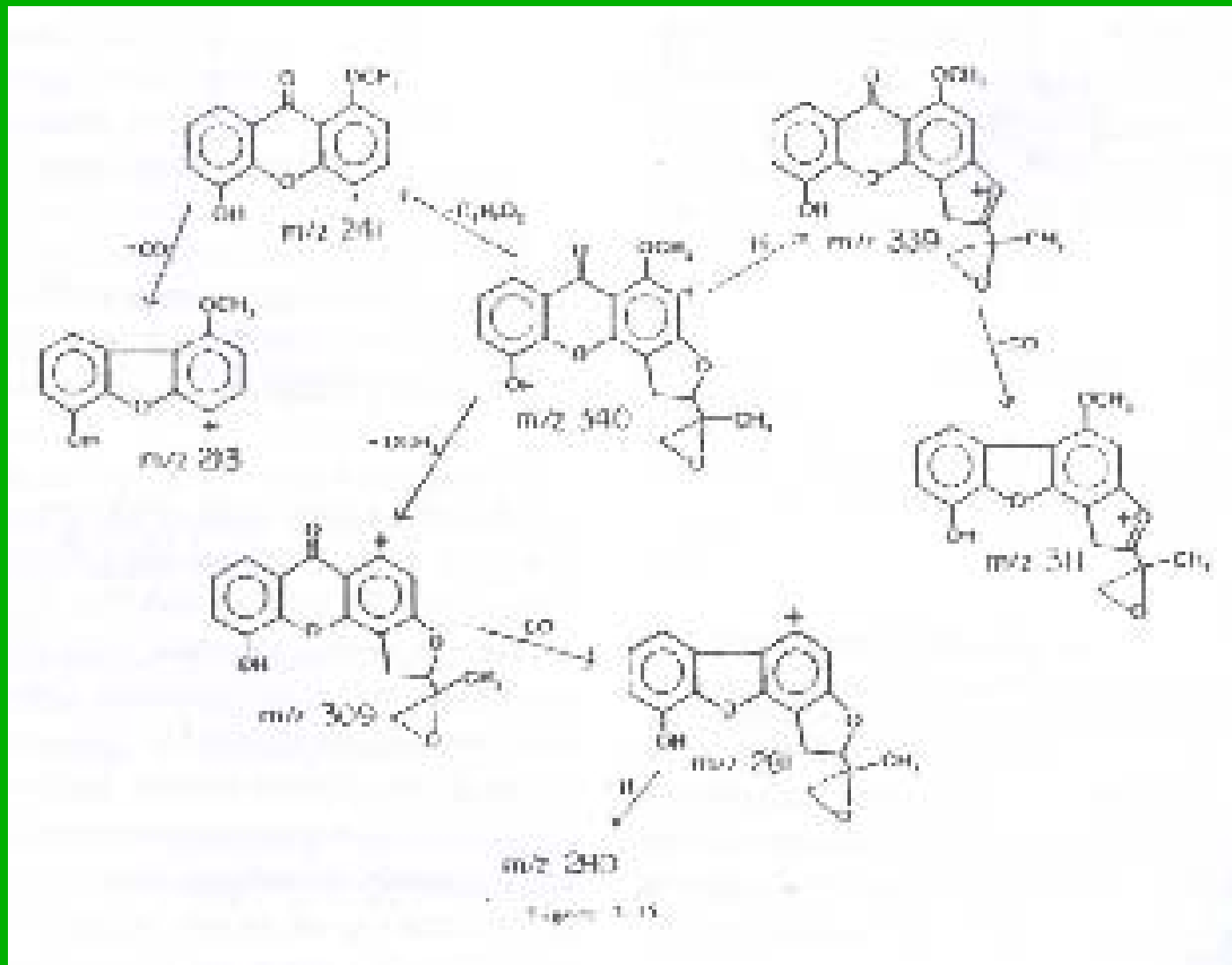
CID



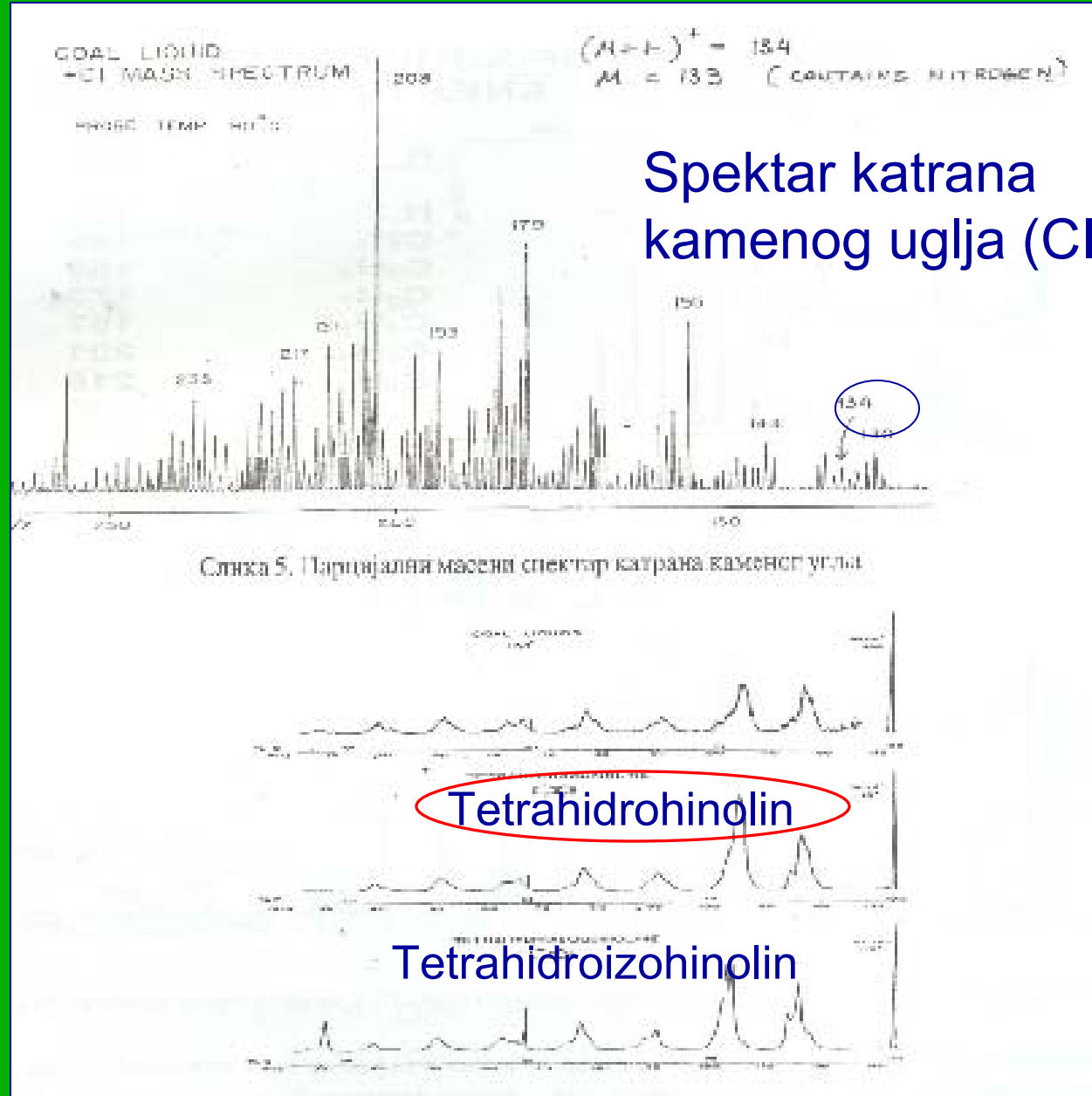
SCANNED
 $m/z = x-a$

Načini rada
u tandem MS
uključuje
fiksiranje ili
skeniranje
jednog ili
oba analizatora

1. Product ion scan-analiza fragmenata odabranog jona



Shema fragmentacije jona psorospermina, m/z 340 je razjašnjena na osnovu spektra fragmentnih jona

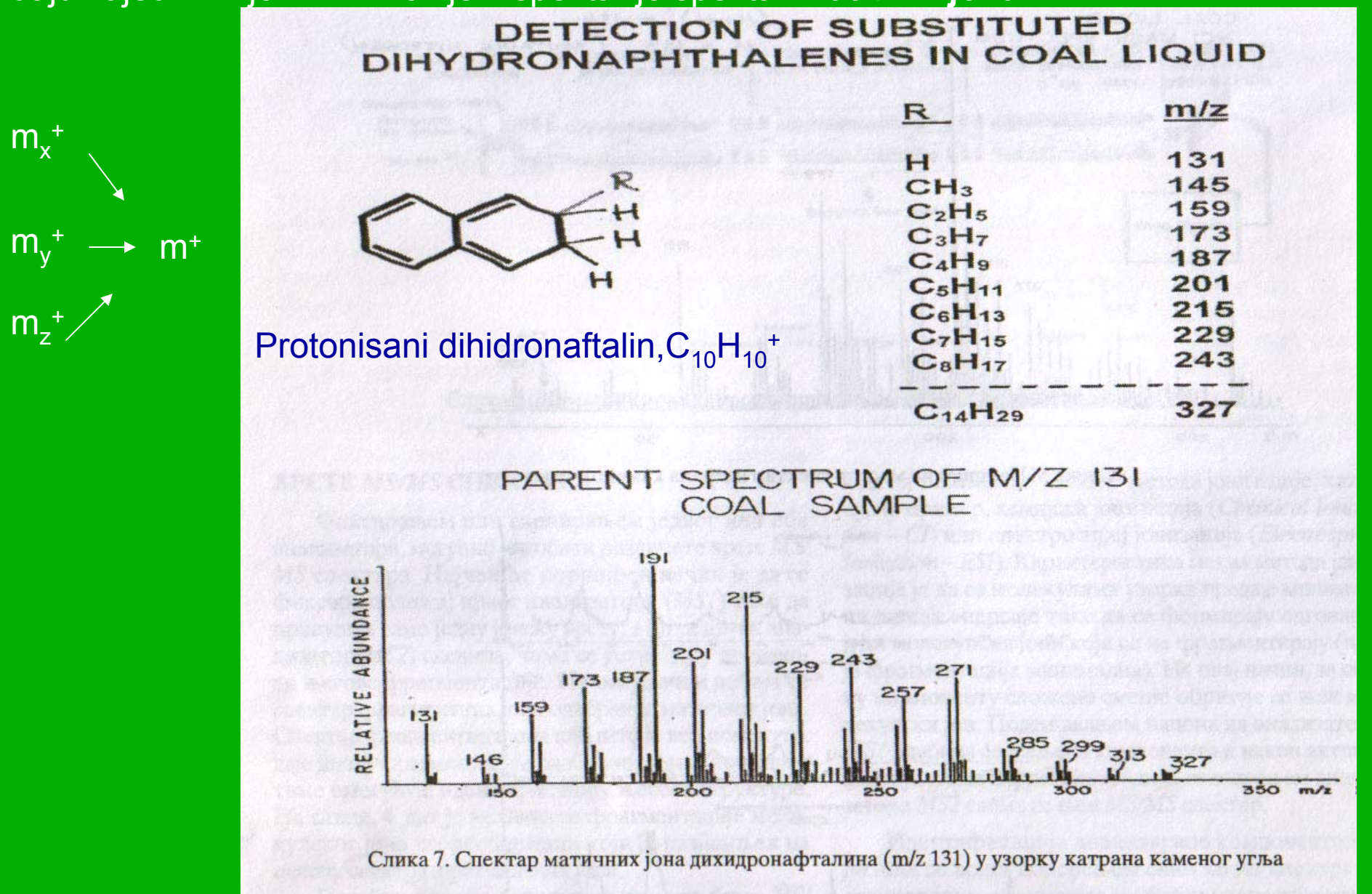


Spektar katrana kamenog uglja (CI)

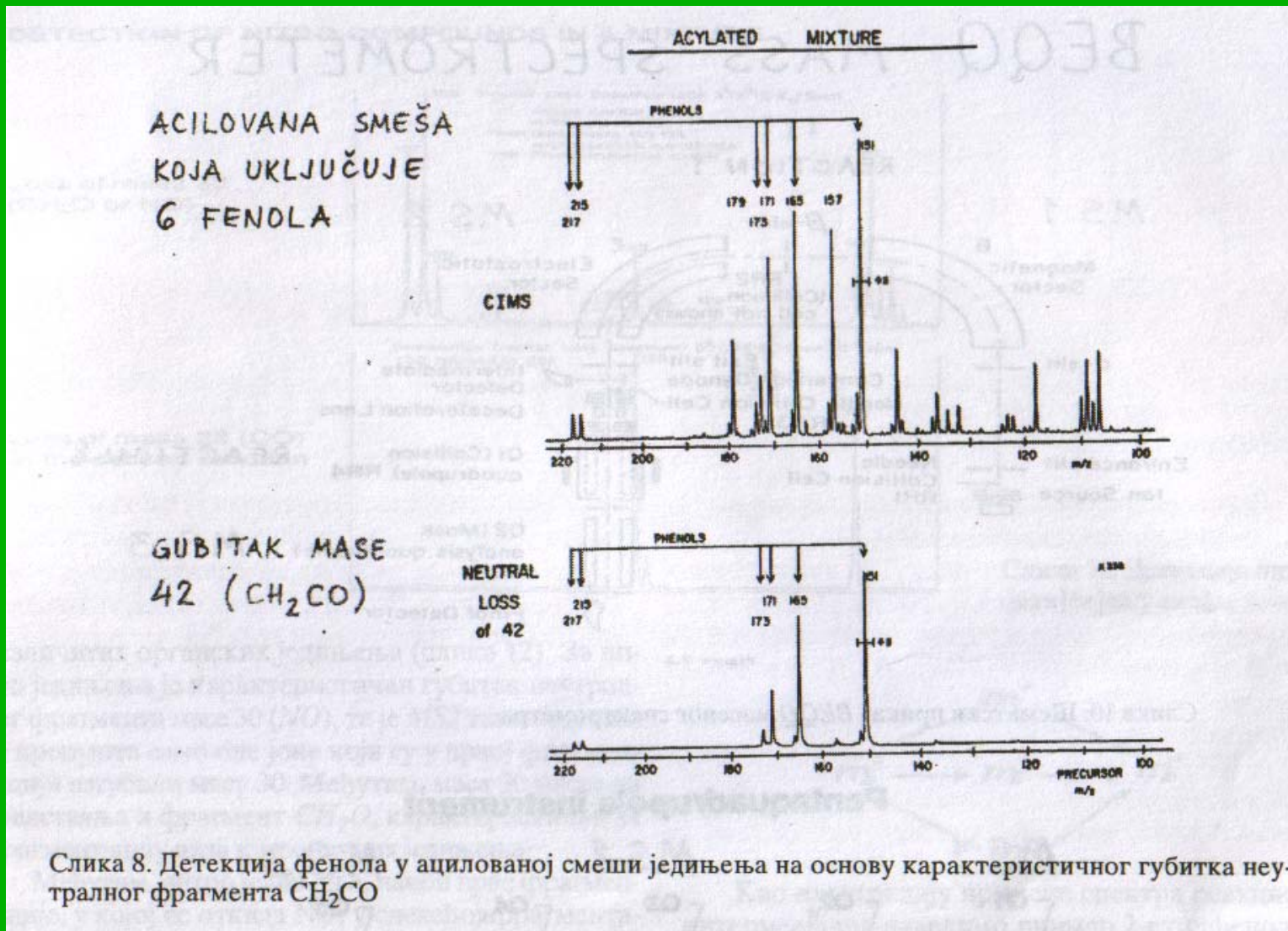
Analiza složenih smeša

Uzorak se ionizuje nekom od mekih metoda i podešavanjem napona na M1 odabira željena komponenta koja se dalje fragmentira i analizira u M2. Identifikacija poređenjem sa spektrima iz biblioteke

2. Spektar matičnih (prekursorskih) jona se dobija fiksiranjem mase jona m^+ koju propušta M2, a skenira se analizator M1 tako da spektar prikazuje matične jone koji frahmentacijom daju zajednički jon m^+ . Donijeni spektar je spektar **matičnih jona**.



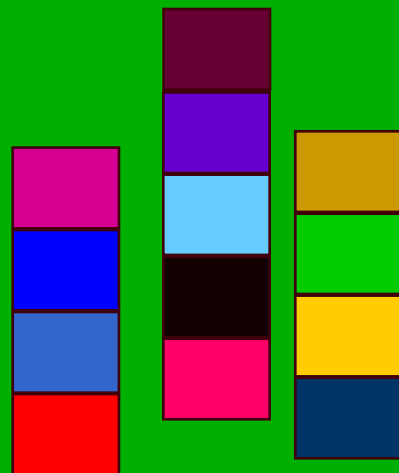
3. Skeniranjem oba analizatora ali tako da prvi propušta masu m_x^+ a drugi masu m_y^+ pri čemu je razlika između njih konstantna, može se izvršiti skrining na O, N ili sumpor u komponentama smeše.



Слика 8. Детекција фенола у ацилованој смеши једињења на основу карактеристичног губитка неутралног фрагмента CH₂CO

Šta je MS/MS?

Smeša peptida

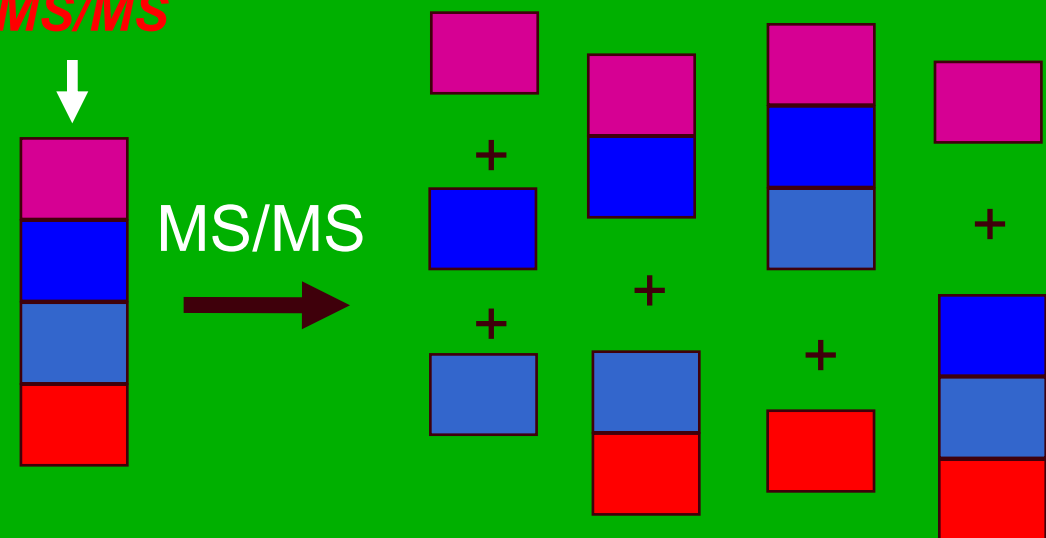


Imamo samo mase
za početak

1 peptide
izdvojen za
MS/MS



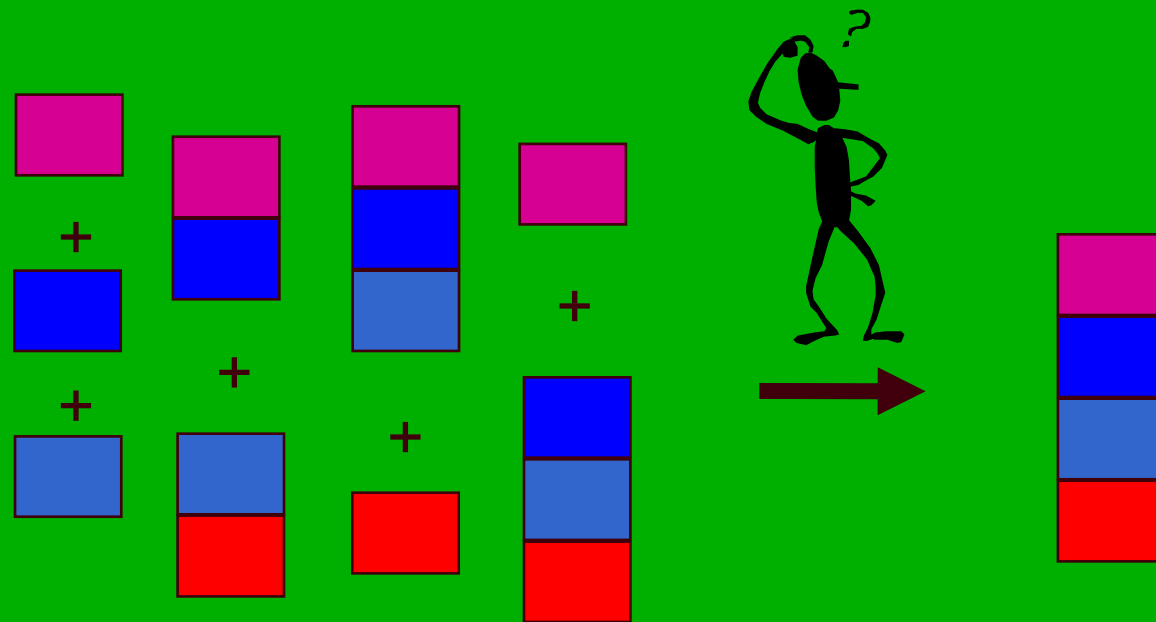
MS/MS



Mase svih
fragmenata daju
jedan MS/MS
spektar

Interpretacija jednog MS/MS spektra

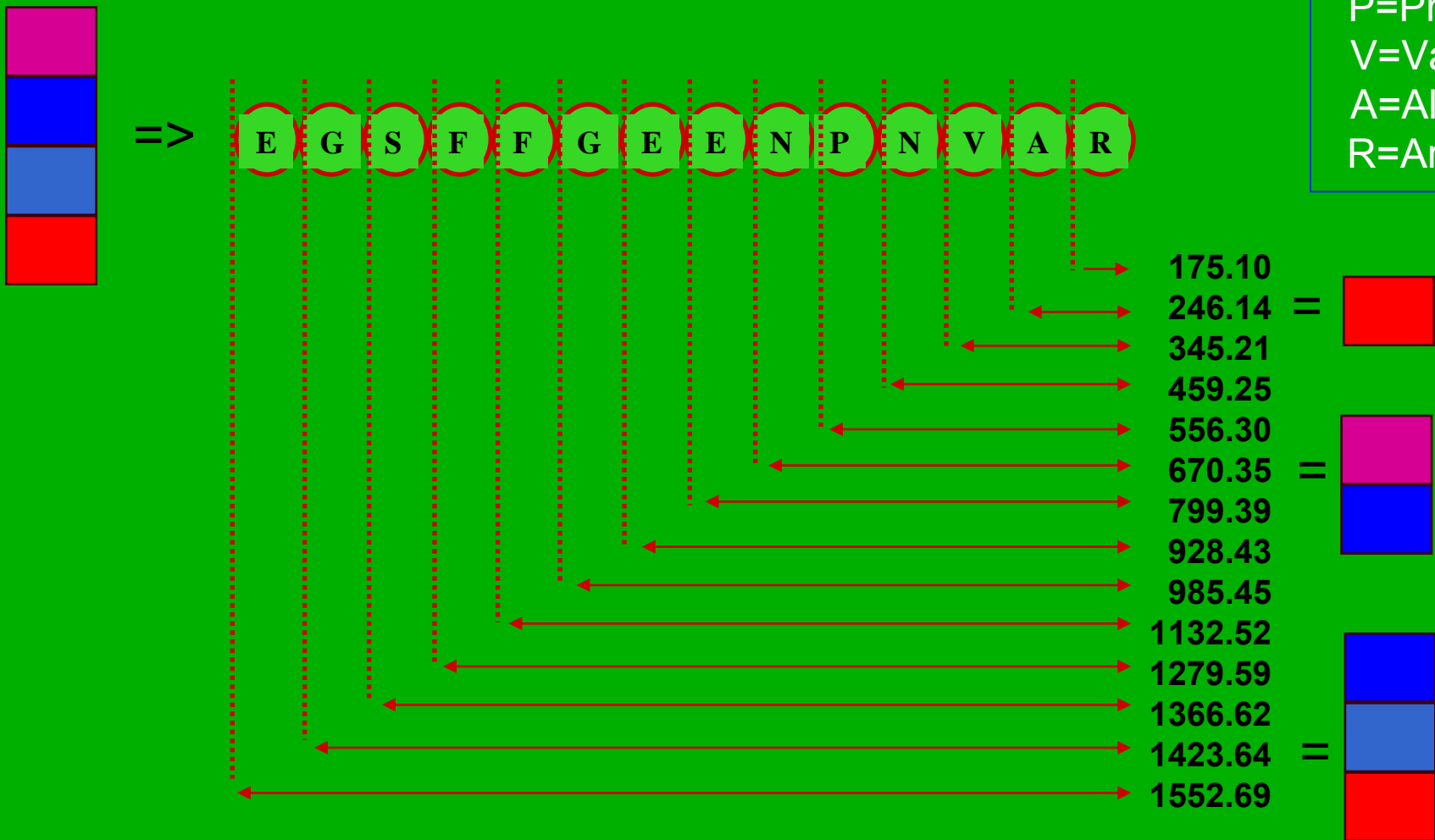
Dobijanje informacije o strukturi je analogno rešavanju pazla



Koriste se mase fragmentnih jona kao delovi slagalice da bi se ponovo dobio roditeljski jon

Fragmentacija peptida

E=Glu
G=Gly
S=Ser
F=Phe
N=Asn
P=Pro
V=Val
A=Ala
R=Arg



Bioworks, Excalibur, SEQUEST, Mascot, In-house

Primena MS/MS

- Određivanje strukture molekulskog i fragmentnih jona
- Proučavanje mehanizma fragmentacije jona
- Direktna analiza smeša
- Skrining kompleksnih smeša na specifične sastojke
- Određivanje redosleda amino kiselina u peptidima

Omiks tehnologija i MS-rana dijagnostika kancera

- Veliki broj „**omiks**“ tehnika je razvijen imajući u vidu jedna cilj: otkrivanje biomarkera i rana dijagnostika kancera.
- **Proteomiks** tehnologija je identifikacija proteina ili proteinski fragmenta produkovanih od strane ćelije kancera ili njenog mikrookruženja koji mogu difundovati u cirkulaciju, a njihove koncentracije su merljive sa MS
- **Peptidomiks** se može definisati kao vizualizacija i identifikacija svih peptida ćelije ili tkiva
- **Metabolomiks** predstavlja krajnje stanje svih molekulske događaja u određenom tkivu: varijacija gena (genomiks), ekspresija i modifikacija proteina (proteomiks) i međusobne interakcije.

Primene masene spektrometrije

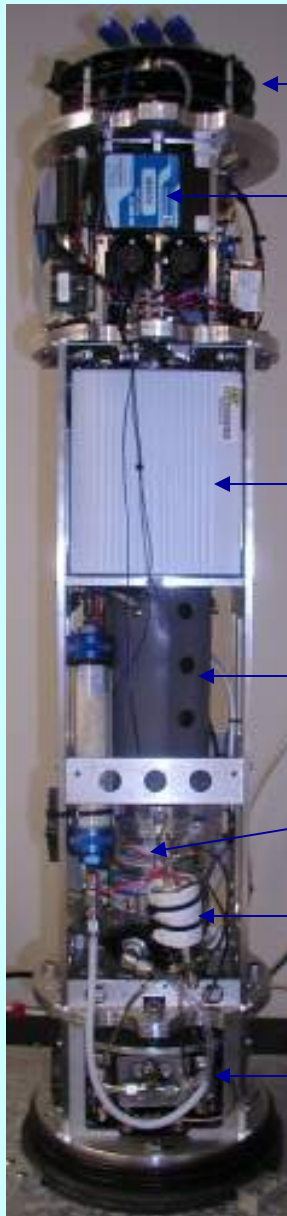
- Analiza u organskoj, neorganskoj i bioorganskoj hemiji
- Analiza geoloških uzoraka
- Kontrola u naftnoj, hemijskoj i farmaceutskoj industriji
- Analiza površina
- Zaštita okoline
 - Pesticidi u hrani
 - Zagadženje zemljišta, vazduha i voda
- Forenzička analiza/klinička
- Nauka o materijalima
- Analiza u farmaciji
- Ispitivanje biološke aktivnosti
 - Metabolizam lekova, farmakokinetika
 - Karakterizacija potencijalnih lekova
 - Analiza produkata degradacije lekova
 - Praćenje kandidata za lekove
 - Identifikacija mesta i mehanizma delovanja lekova
- Biomolekulska karakteritacija
 - Proteini i peptidi
 - Oligonukleotidi

Glavne karakteristike UMS



Type	Linear quadrupole mass filter
Mass range	200 amu
Inlet System	Membrane introduction system
Power consumption	85-90 Watts
Voltage of operation	24 VDC or 110 VAC
Deployment time	Configuration dependent
Dimensions	Ø 19 cm (7.5")
	L 105 cm (41")
Weight	33 kg (72.7 Lb)
Depth	>1000 m
DSL tether range	~1600 m (1 mile)

Novi 200 *In Situ* Maseni Spektrometar



Microcontroller

Embedded PC

MS electronics box

200 amu linear quadrupole in
vacuum housing/heating jacket

Turbo pump

MIMS probe

Roughing pump

Služi za određivanje:

Rastvorenih gasova (N_2, O_2, CO_2 ,

Ar, $CH_4, H_2S, CHCl_3$,

Isp. org.jed.(toluen, benzen, dimetil sulfid)

Jedinjenja većih MW (PCB,
pesticidi, lekovi, toksini

The Rosetta Mission – Evropska svemirska agencija

- Approved in Nov 1993
- Hardware design was frozen in 2000
- Launched Mar 2004 on Ariane 5G+ in Kourou, French Guyana
- Designed to meet up with comet Churyumov – Gerasimenko ('67P') in May 2014
- First project ever to attempt *in-situ* analysis of comet !!
- 3000kg launched (100kg lander, 165kg scientific instruments)
- Fly-by several other comets until the landing on 30 September 2016
- Fully automatic landing after determining a suitable landing site
- Total cost: \$ 970-980 million



Ariane - launch

Rosetta ‘Orbiter’

- 11 experimental probes
- ALICE – ultraviolet imaging spectrometer
- CONSERT – radio wave transmission/reflection by nucleus
- COSIMA – ToF MS (up to 2000Th) of dust particles (organic??)
- GIADA – number, mass, momentum and velocity distribution
- MIDAS – dust environment: population, size, volume and shape
- MIRO – microwave to determine abundances of gases
- OSIRIS – optical, spectroscopic and infrared imaging system
- ROSINA – ion and neutral spectrometer
- RPC – physical properties of nucleus, structure of inner coma etc.
- RSI – radio signal shift to measure mass, density and gravity to determine orbit
- VIRTIS – visible and infrared spectrometer to map temperature, identify gases, examine physical conditions on the nucleus and determine landing site

The Lander – ‘Philae’

- Extreme surrounding conditions:
 - “warm” environment: -40 - +50° C
 - “cold” environment: -140 - -50° C
- 9 experimental components:
- APXS – alpha proton X-ray spectrometer
- CIVA/ROLIS – Rosetta Lander imaging system
- CONSERT – probing nucleus using radio waves
- COSAC – complementary sampling and composition (chromatography/ TOF MS)
- MODULUS Ptolemy – gas chromatograph ion trap MS
- MUPUS – density and mechanical/thermal property testing
- ROMAP – local magnetic field and comet/solar wind interaction
- SD2 – sample drilling below 20cm for other components
- SESAME – electrical, seismic and acoustical testing